

การศึกษาลักษณะการขยายสัญญาณแสงโดยใช้ใยแก้วนำแสง เออร์เบียมโดป  
และการประยุกต์

A STUDY OF ERBIUM-DOPED FIBER AMPLIFIER CHARACTERISTICS  
AND APPLICATIONS

วันชัย ชันนาม  
WANCHAI KHUNNAM

วิทยานิพนธ์นี้เป็นส่วนหนึ่งของการศึกษาตามหลักสูตรปริญญาวิทยาศาสตรมหาบัณฑิต  
สาขาวิชาฟิสิกส์ประยุกต์  
บัณฑิตวิทยาลัย

สถาบันเทคโนโลยีพระจอมเกล้าเจ้าคุณทหารลาดกระบัง

พ.ศ. 2546

ISBN 974-324-247-3

สำนักหอสมุดกลาง พระจอมเกล้าลาดกระบัง

การศึกษาลักษณะการขยายสัญญาณแสงโดยใช้ใยแก้วนำแสง เออร์เบียมโดป  
และการประยุกต์

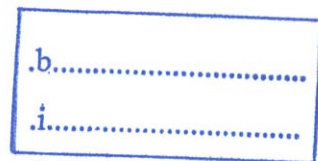
A STUDY OF ERBIUM-DOPED FIBER AMPLIFIER CHARACTERISTICS  
AND APPLICATIONS



วันชัย ขันนาม

WANCHAI KHUNNAM

เลขหมู่.....  
เลขทะเบียน 49618  
วัน, เดือน, ปี 25 ก.พ. 2547



วิทยานิพนธ์นี้เป็นส่วนหนึ่งของการศึกษาตามหลักสูตรปริญญาวิทยาศาสตรมหาบัณฑิต

สาขาวิชาฟิสิกส์ประยุกต์

บัณฑิตวิทยาลัย

สถาบันเทคโนโลยีพระจอมเกล้าเจ้าคุณทหารลาดกระบัง

พ.ศ. 2546

ISBN 974-324-247-3

**A STUDY OF ERBIUM-DOPED FIBER AMPLIFIER CHARACTERISTICS  
AND APPLICATIONS**

**WANCHAI KHUNNAM**

**A THESIS SUBMITTED IN PARTIAL FULFILLMENT  
OF THE REQUIREMENT FOR THE DEGREE OF  
MASTER OF SCIENCE IN APPLIED PHYSICS  
SCHOOL OF GRADUATE STUDIES  
KING MONGKUT'S INSTITUTE OF TECHNOLOGY LADKRABANG**

**2003**

**ISBN 974-324-247-3**

**บัณฑิตวิทยาลัย**  
**สถาบันเทคโนโลยีพระจอมเกล้าเจ้าคุณทหารลาดกระบัง**  
**ใบรับรองวิทยานิพนธ์**

-----

**หัวข้อวิทยานิพนธ์** การศึกษาลักษณะการขยายสัญญาณแสงโดยใช้ใยแก้วนำแสงเออร์เบียมโดปและการประยุกต์  
A STUDY OF ERBIUM-DOPED FIBER AMPLIFIER CHARACTERISTICS AND APPLICATIONS

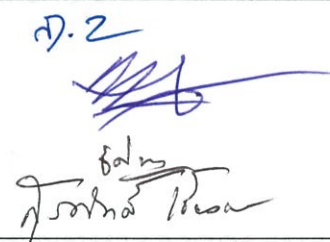
**ชื่อนักศึกษา** นายวันชัย จันนาม

**รหัสประจำตัว** 43065001

**ปริญญา** วิทยาศาสตร์มหาบัณฑิต

**สาขาวิชา** ฟิสิกส์ประยุกต์

**อาจารย์ผู้ควบคุมวิทยานิพนธ์** รศ.ดร.ปรีชา ยูพาพิน

คณะกรรมการสอบวิทยานิพนธ์		ลายมือชื่อ
รศ.สุวรรณ	กุสุมาลาญ	
รศ.ดร.ปรีชา	ยูพาพิน	
รศ.ดร.ฐิตินัย	แก้วแดง	
ดร.สุรศักดิ์	เชียงกา	

วัน/เดือน/ปี ที่สอบ 22 มกราคม 2546 เวลา 9.00-12.00 น.

สถานที่สอบ ณ อาคารจุฬาภรณ์วลัยลักษณ์ 1 ชั้น 3 ห้อง 307

บัณฑิตวิทยาลัยรับรองแล้ว  
  
(รศ.ดร.บุญจันน์ อิตชู)  
คณบดีบัณฑิตวิทยาลัย

วันที่ 20 เดือน 12 พ.ศ. 2546

หัวข้อวิทยานิพนธ์	การศึกษาลักษณะการขยายสัญญาณแสงโดยใช้ใยแก้วนำแสงเออร์เบียมโดปและการประยุกต์
นักศึกษา	นายวันชัย ชันนาม
รหัสประจำตัว	43065001
ปริญญา	วิทยาศาสตรมหาบัณฑิต
สาขาวิชา	ฟิสิกส์ประยุกต์
อาจารย์ผู้ควบคุมวิทยานิพนธ์	รศ.ดร.ปรีชา ยูพาพิน

### บทคัดย่อ

งานวิจัยนี้เป็นการศึกษาการขยายสัญญาณแสงโดยใช้ระบบการขยายด้วยใยแก้วนำแสงเออร์เบียมโดป สัญญาณแสงที่ต้องการขยายความยาวคลื่นตรงกลาง 1550 นาโนเมตร ซึ่งจะป้อนเข้าไปในคู่ควบใยแก้วนำแสงโหมคเดียว 2x1 ตรงปลายจะเชื่อมต่อกับใยแก้วนำแสงเออร์เบียมโดปยาว 10 เมตร และป้อนด้วยเลเซอร์จากภายนอกที่ความยาวคลื่นตรงกลาง 980 นาโนเมตร ที่กำลัง 100 mW ที่ปลายอีกข้างของใยแก้วนำแสงเออร์เบียมโดปเชื่อมต่อกับใยแก้วนำแสงไอโซเลเตอร์ก่อนที่จะไปถึงโฟโตดีเท็คเตอร์ ผลจากการศึกษาคูณลักษณะของระบบในการขยายสัญญาณแสงพบว่าได้อัตรากขยายสูงสุด 20 dB ซึ่งการเชื่อมต่อกับออปติคัลไอโซเลเตอร์สามารถตัดสัญญาณแสงย้อนกลับได้เป็นการเพิ่มประสิทธิภาพในการขยายสัญญาณแสง ระบบมีอัตราขยายมีแนวโน้มคงที่อยู่ในช่วงความยาวคลื่น 1540-1565 นาโนเมตร นอกจากนี้ยังได้ศึกษาการขยายสัญญาณแสงอินพุตที่มีการมอดูเลต พบว่าสัญญาณเอาต์พุตที่ได้มีความถี่เท่ากับสัญญาณอินพุตและมีขนาดเพิ่มขึ้น เราสามารถนำเทคนิคในการขยายสัญญาณระบบนี้ ไปเป็นอุปกรณ์ในการขยายสัญญาณในงานด้านการสื่อสารด้วยแสงได้

<b>Thesis Title</b>	A Study of Erbium-Doped Fiber Amplifier Characteristics and Applications.
<b>Student</b>	Wanchai Khunnam
<b>Student ID</b>	43065001
<b>Degree</b>	Master of Science
<b>Programme</b>	Applied Physics
<b>Thesis Advisor</b>	Assoc.Prof.Dr.Preecha Yupapin

## **ABSTRACT**

This research is the study of an optical amplifier characteristic using Erbium-Doped Fiber Amplifier (EDFA) system. The input laser source with a center wavelength at 1550 nm is launched into a 2x1 single mode fiber coupler connecting to 10 meters erbium doped fiber. Then it is pumped by an external laser source with pumping power and center wavelength at 100 mw and 980 nm respectively. The output erbium doped fiber end is connected to a single mode fiber isolator before launching into a photo-detector. Results have shown such a system can be used to utilize the optical amplifier characteristic study, where the amplifier maximum gain of 20 dB is observed, and also can be increased by connecting the optical isolator. The optical feedback can be neglected by using the optical isolators along transmission line, where the amplifier gain flatness occurs from the output wavelength 1540 to 1565 nm. The frequency stabilized can also be obtained when modulated input signal is injected into base-band signal, then this principle and technique can be used to characterize the optical devices for optical communication.

## กิตติกรรมประกาศ

วิทยานิพนธ์นี้สำเร็จสมบูรณ์ได้ด้วยดี เนื่องจากได้รับความอุปการะคุณเป็นอย่างดีจาก รศ.ดร.ปรีชา บุพาพิน อาจารย์ประจำภาควิชาฟิสิกส์ประยุกต์ คณะวิทยาศาสตร์ สถาบันเทคโนโลยีพระจอมเกล้าเจ้าคุณทหารลาดกระบัง เป็นอาจารย์ที่ปรึกษาวิทยานิพนธ์ ซึ่งให้คำปรึกษา ให้ความรู้ และแนะนำแนวทางในการดำเนินงานวิจัยเป็นอย่างดี รวมทั้งให้ความอนุเคราะห์จัดหาอุปกรณ์และงบประมาณในการดำเนินงานวิจัย ข้าพเจ้ารู้สึกซาบซึ้งในความกรุณาของท่านเป็นที่สุด ขอกราบขอบพระคุณท่านเป็นอย่างสูง

ขอขอบพระคุณ พี่ๆ เพื่อน ๆ และน้องๆ ภาควิชาฟิสิกส์ประยุกต์ทุกคน และสมาชิกทุกคน ใน ศูนย์วิจัยเทคโนโลยีคลื่นและแสง ที่ให้คำแนะนำ ช่วยเหลือ และกำลังใจ ในสิ่งต่างๆ มากมายเกินกว่าที่จะกล่าวได้

ขอขอบพระคุณ อาจารย์ทุกท่านที่ได้ประสิทธิ์ประสาทความรู้ให้แก่ข้าพเจ้า

สุดท้ายนี้ขอขอบพระคุณ บิดา มารดา ญาติ พี่ น้อง ที่ให้การสนับสนุน รวมทั้งทุกท่าน ที่มีความปรารถนาดีมอบให้ข้าพเจ้าคอยให้กำลังใจและคำชี้แนะที่ดีในชีวิตแก่ข้าพเจ้าตลอดมา คุณค่า และประโยชน์อันพึงมีจากวิทยานิพนธ์เล่มนี้ ข้าพเจ้าขอมอบให้แก่ผู้มีพระคุณทุกท่าน

วันชัย ชันนาม

# สารบัญ

	หน้า
บทคัดย่อภาษาไทย.....	I
บทคัดย่อภาษาอังกฤษ.....	II
กิตติกรรมประกาศ.....	III
สารบัญ.....	IV
สารบัญตาราง.....	VIII
สารบัญรูป.....	IX
บทที่ 1 บทนำ.....	1
1.1 ความสำคัญและที่มาของงานวิจัย.....	1
1.2 วัตถุประสงค์ของงานวิจัย.....	2
1.3 ขอบเขตของงานวิจัย.....	2
1.4 ประโยชน์ที่คาดว่าจะได้รับ.....	3
1.5 การดำเนินงานวิจัย.....	3
บทที่ 2 ทฤษฎีและหลักการที่เกี่ยวข้อง.....	4
2.1 โยแก้วนำแสง (Fiber optics).....	4
2.1.1 ส่วนประกอบพื้นฐานของใยแก้วนำแสง.....	4
2.1.2 มุมรองรับแสง (Acceptance angle).....	5
2.1.3 ลักษณะของแสงที่แพร่กระจายในใยแก้วนำแสง.....	6
(Light Propagation in Fiber Optic)	
2.2 การเดินทางของแสงในใยแก้วนำแสง.....	7
2.2.1 อินเดกซ์โปรไฟล์.....	7
2.2.2 นัวมอร์คัลลอเปอร์เจอร์.....	10
2.2.3 ความถี่นอร์มัลไลซ์.....	11
2.3 การกระเจิงของแสง.....	12
2.3.1 การกระเจิงแบบเรย์ลี (Rayleigh Scattering).....	12
2.3.2 การกระเจิงแบบบริลลูอิน ( Brillouin Scattering ).....	13
2.4 หลักการกำเนิดแสงของเลเซอร์.....	13
2.5 อัตราการขยายแสง.....	15
2.6 การขยายสัญญาณแสงโดยใช้ใยแก้วนำแสง.....	17

## สารบัญ(ต่อ)

หน้า

2.6.1 การขยายสัญญาณแบบรามาน.....	17
2.6.2 การขยายสัญญาณโดยใช้ใยแก้วนำแสงเออร์เบียมโคป.....	20
2.7 การขยายสัญญาณแบบ 3 ระดับพลังงานของใยแก้วนำแสงเออร์เบียมโคป.....	22
2.7.1 อัตราขยายสัญญาณน้อยสุด.....	26
2.7.2 ขอบเขตของการอิมพัลส์.....	28
2.7.3 ความยาวของใยแก้วที่ทำให้ได้อัตราขยายสูงสุด.....	29
2.8 การขยายสัญญาณแบบ 2 ระดับพลังงานของใยแก้วนำแสงเออร์เบียมโคป.....	30
2.9 การกระจายในใยแก้วนำแสง.....	32
2.9.1 การกระจายเชิงวัสดุ.....	32
2.9.2 การกระจายที่อ่อนไหว.....	35
2.10 การลดทอน.....	36
2.10.1 การดูดกลืนของวัสดุ.....	37
2.10.2 การดูดกลืนจากภายนอก.....	37
2.10.3 การสูญเสียจากการโค้งงอ.....	38
2.10.4 การลดทอนรวม.....	40
2.10.5 การลดทอนและวัสดุใยแก้วนำแสง.....	40
2.11 เลเซอร์ไดโอด.....	41
2.11.1 เลเซอร์ชนิดสารกึ่งตัวนำ.....	41
2.11.2 เลเซอร์ไดโอดชนิดควอนตัมเวลล์.....	43
บทที่ 3 วิธีการดำเนินงานวิจัย.....	45
3.1 อุปกรณ์ในการดำเนินงานวิจัย.....	45
3.1.1 ออปติคัลไอโซเลเตอร์ (Optical Isolator ).....	45
3.1.2 ใยแก้วนำแสงเออร์เบียมโคป.....	46
3.1.3 คู่ควบใยแก้วนำแสง ( Fiber Optic Coupler ).....	47
3.1.4 เครื่องเชื่อมต่อใยแก้วนำแสง(Fusion Splicer).....	48
3.1.5 เลเซอร์ 980 nm.....	48
3.1.6 โมโนโครมาเตอร์(Monochromator).....	50
3.1.7 มิเตอร์วัดกำลังแสง.....	51
3.1.8 โฟโตดีเท็คเตอร์.....	52

## สารบัญ(ต่อ)

	หน้า
3.1.9 อุปกรณ์อื่นๆ.....	53
3.2 วิธีการเชื่อมต่อใยแก้วนำแสง.....	54
3.2.1 วิธีการเชื่อมต่อแบบหลอมรวม.....	54
3.2.2 การเชื่อมต่อด้วยหัวเชื่อมต่อ(Connector).....	57
3.3 การออกแบบและการสร้างระบบ.....	58
3.3.1 การเตรียมเส้นใยแก้วนำแสงเออร์เบียม โดป.....	59
3.3.1 วิธีการในการติดตั้งระบบ.....	59
บทที่ 4 ผลการดำเนินงานวิจัยและวิเคราะห์ผล.....	63
4.1 ระบบการขยายสัญญาณแสงโดยใช้ใยแก้วนำแสงเออร์เบียม โดป.....	63
4.2 ผลการวัดและการคำนวณค่าคุณลักษณะของระบบการขยายสัญญาณแสง.....	64
4.2.1 ผลการวัดกำลังของสัญญาณแสงเอาต์พุตเทียบกับกำลังของ สัญญาณแสงอินพุต.....	65
4.2.2 ผลของอัตราขยายสัญญาณ(Gain) เทียบกับกำลังของสัญญาณแสงอินพุต.....	66
4.2.3 ผลการวัดกำลังของสัญญาณแสงเอาต์พุตเทียบกับกำลังของเลเซอร์ป้อน.....	69
4.2.4 ผลของอัตราขยายสัญญาณ(Gain) เทียบกับกำลังของเลเซอร์ป้อน.....	71
4.2.5 ผลการวัดกำลังของสัญญาณแสงเอาต์พุตเทียบกับความยาวคลื่น.....	73
4.2.6 ผลของอัตราขยายสัญญาณ(Gain) เทียบกับความยาวคลื่น.....	75
4.2.7 การคำนวณค่าประสิทธิภาพในการแปลงกำลัง.....	77
(Power Conversion Efficiency, PCE)	
4.2.8 การคำนวณค่าประสิทธิภาพในการแปลงทางควอนตัม.....	79
(Quantum Conversion Efficiency, QCE)	
4.2.9 ผลการขยายสัญญาณแสงที่มีการมอดูเลต.....	81
บทที่ 5 สรุปผลการดำเนินงานวิจัยและข้อเสนอแนะ.....	82
5.1 สรุปผลการดำเนินงานวิจัย.....	82
5.2 ข้อเสนอแนะ.....	83
5.3 แนวทางการวิจัยและพัฒนา.....	84

## สารบัญ(ต่อ)

	หน้า
เอกสารอ้างอิง.....	85
ภาคผนวก.....	86
ประวัติผู้เขียน.....	96

## สารบัญตาราง

ตารางที่	หน้า
2.1 แสดงการเปรียบเทียบการสัญญาณแสงแบบรามาและแบบใช้ใยแก้วนำแสงเออร์เบียมโดป..	19
2.2 การสูญเสียจากการดูดกลืนและความยาวคลื่นต่างๆของสารเจือปน.....	38
3.1 แสดงรายละเอียดของกลุ่มควมใยแก้วนำแสง.....	48
3.2 แสดงรายละเอียดของเลเซอร์ 980 nm.....	49
3.3 แสดงรายละเอียดของมิเตอร์วัดกำลังแสง.....	51
4.1 แสดงกำลังของสัญญาณแสงเอาต์พุตเทียบกับกำลังของสัญญาณแสงอินพุต.....	64
4.2 แสดงอัตราขยายสัญญาณ(Gain) เทียบกับกำลังของสัญญาณแสงอินพุต.....	67
4.3 แสดงกำลังของสัญญาณแสงเอาต์พุตเทียบกับกำลังของเลเซอร์ปั๊ม.....	69
4.4 แสดงอัตราขยายสัญญาณ(Gain) เทียบกับกำลังของเลเซอร์ปั๊ม.....	71
4.5 แสดงกำลังของสัญญาณแสงเอาต์พุตเทียบกับความยาวคลื่น.....	73
4.6 แสดงอัตราขยายสัญญาณ(Gain) เทียบกับความยาวคลื่น.....	75
4.7 แสดงค่าประสิทธิภาพในการแปลงกำลัง (PCE).....	77
4.8 ค่าประสิทธิภาพในการแปลงทางควอนตัม (QCE).....	79

# สารบัญรูป

รูปที่	หน้า
2.1 แสดงส่วนประกอบของใยแก้วนำแสงคือ แกน แคลดคิง และส่วนห่อหุ้มชั้นนอก.....	5
2.2 แสดงมุมรองรับแสงและกรวยรองรับแสงของใยแก้วนำแสง.....	5
2.3 แสดงลักษณะของแสงที่แพร่กระจายในใยแก้วนำแสง.....	6
2.4 แสดงโหมดของการแพร่กระจายของแสงในใยแก้วนำแสง.....	7
2.5 แสดงอินเดกซ์โพรไฟล์ของแกนใยแก้วนำแสง.....	8
2.6 ใยแก้วนำแสงชนิดโหมดเดียวชั้นบันได.....	9
2.7 ใยแก้วนำแสงชนิดหลายโหมดสเตปอินเดกซ์.....	10
2.8 ใยแก้วนำแสงชนิดหลายโหมดเกรดอินเดกซ์.....	10
2.9 แสดงการกระเจิงของแสงแบบเรย์ลี.....	12
2.10 แสดงตัวอย่างการกระเจิงแบบบริวอิ.....	13
2.11 แสดงการเกิดอันตรกิริยาของแสงกับวัตถุเมื่อมีการดูดกลืนแสงและการแผ่แสง.....	14
2.12 แสดงการป้อนแบบหลายระดับ.....	14
2.13 การลดทอนของแสงเนื่องจากกฎวัสดุดูดกลืน.....	15
2.14 การขยายขนาดของสัญญาณแสงในวัสดุตัวกลางกำเนิดเลเซอร์.....	16
2.15 วิธีการพิจารณาหาค่าอัตราการขยายแสง.....	16
2.16 แสดงไดอะแกรมระดับพลังงานที่เกิดในแกนของใยแก้วนำแสง.....	17
2.17 แสดงการขยายสัญญาณทางแสง.....	20
2.18 แสดงอุปกรณ์ในการขยายสัญญาณแสงลักษณะต่างๆ.....	21
2.19 แสดงระดับพลังงานของเออร์เบียม.....	22
2.20 แสดงระดับพลังงานของการขยายแบบ 3 ระดับ.....	22
2.21 แสดงสัดส่วนของประชากรผกผัน $((N_2 - N_1)/N)$ .....	25
2.22 แสดงเกณฑ์ขยายที่ความยาวคลื่น 1550 nm สัญญาณอินพุต -40 dBm.....	29
2.23 แสดงความยาวของใยแก้วที่ได้เกณฑ์ขยายสูงสุด ความยาวคลื่น 1550 nm สัญญาณอินพุต... -40 dBm และ -15 dBm ได้จากการจำลองโดยใช้วิธีนิวเมอริคอลลใช้ป้อนความยาวคลื่น 980 nm	30
2.24 แสดงระดับพลังงานที่มีระดับพลังงานข้างเคียง ( Multiplet System ) แบบ 2 ระดับ.....	30
2.25 แสดงการเกิดการกระจายของพัลส์สัญญาณแบบต่างๆ.....	33
2.26 แสดงสเปกตรัมของแหล่งกำเนิดแสง.....	33
2.27 แสดงการเกิดกระจายของพัลส์.....	34

## สารบัญรูป(ต่อ)

รูปที่	หน้า
2.28 แสดงการเกิดการกระจายเชิงวัสดุ.....	35
2.29 แสดงลักษณะการกระจายในนำคลื่น.....	35
2.30 แสดงมุมตกกระทบและทางเดินของแสง.....	36
2.31 แสดงการลดทอนของแสงในใยแก้วนำแสงสัมพันธ์กับความยาวคลื่น.....	37
2.32 แสดงการคูดคลื่นจากไฮดรอกซิล.....	38
2.33 แสดงทางเดินของแสงในใยแก้วนำแสงที่โค้งงอ.....	39
2.34 ลักษณะแถบพลังงานของสารกึ่งตัวนำที่โคปสารเจือปนด้วยความเข้มข้นสูงมาก.....	42
2.35 รอยต่อพีเอ็นที่โคปสารเจือปนด้วยความเข้มข้นสูงมาก.....	42
2.36 รอยต่อพีเอ็นที่กำเนิดแสงเลเซอร์ในเลเซอร์ไดโอด.....	42
2.37 ลักษณะสมบัติของความสัมพันธ์ของความเข้มแสงและกระแสไฟฟ้าในเลเซอร์ไดโอด.....	43
2.38 แสดงแถบพลังงานของเลเซอร์ไดโอดที่มีชั้นแอกทิฟเป็นควันตัมเวลล์แบบต่างๆ.....	44
3.1 แสดงโครงสร้างของไอโซเลเตอร์.....	45
3.2 แสดงใยแก้วนำแสงไอโซเลเตอร์.....	46
3.3 แสดงใยแก้วนำแสงเออร์เบียมโคป.....	47
3.4 แสดงคู่ควบใยแก้วนำแสง 1x2 .....	47
3.5 แสดงเครื่องเชื่อมต่อใยแก้วนำแสง(Fusion Splicer).....	48
3.6 แสดงเลเซอร์ ปีม โมดูลความยาวคลื่น 980 nm และชุดใยแก้วนำแสง(Fiber optic pigtail).....	49
3.7 แสดงไดอะแกรมของโมนโครมาเตอร์.....	50
3.8 แสดงโมนโครมาเตอร์.....	50
3.9 แสดงมิเตอร์วัดกำลังแสง.....	52
3.10 แสดงโพโตดีเท็คเตอร์รุ่น 818-SL(Newport).....	52
3.11 แสดงโพโตดีเท็คเตอร์รุ่น MA9723A (Anrisu).....	53
3.12 แสดงการปอกใยแก้วนำแสง.....	54
3.13 แสดงการตัดใยแก้วนำแสง.....	54
3.14 แสดงการสวมสลีฟเข้าไปที่ใยแก้วนำแสง.....	55
3.15 แสดงการติดตั้งใยแก้วนำแสงบนเครื่องเชื่อมต่อ.....	55
3.16 แสดงการกดปุ่ม ARC และการหลอมรวมของใยแก้วนำแสง.....	56
3.17 แสดงการให้ความร้อนกับสลีฟให้ติดกับใยแก้วนำแสง.....	56

## สารบัญรูป(ต่อ)

รูปที่	หน้า
3.18 แสดงใยแก้วนำแสงที่ได้หลังจากการเชื่อมต่อแบบหลอมรวม.....	57
3.19 แสดงการวางตัวของใยแก้วนำแสงของหัวเชื่อมต่อ.....	57
3.20 แสดงไคอะแกรมของระบบการขยายสัญญาณแสงโดยใช้ใยแก้วนำแสงเออร์เบียมโดป.....	58
3.21 แสดงการติดตั้งเลเซอร์ 1550 nm บนชุดไมโครบล็อก.....	59
3.22 แสดงการเชื่อมต่อระหว่างไอโซเลเตอร์กับคู่ควบใยแก้วนำแสง.....	60
3.23 แสดงการเชื่อมต่อเลเซอร์บีมความยาวคลื่น 980 นาโนเมตรกับคู่ควบใยแก้วนำแสง.....	60
2.24 แสดงการเชื่อมต่อระหว่างคู่ควบกับ EDF และ ระหว่าง EDF กับ ไอโซเลเตอร์.....	61
3.25 แสดงการติดตั้งไฟโตดีเท็คเตอร์.....	61
2.26 แสดงการติดตั้งโมนโครมาเตอร์.....	62
4.1 แสดงระบบขยายสัญญาณแสงโดยใช้ใยแก้วนำแสงเออร์เบียมโดป.....	63
4.2 แสดงกราฟกำลังของสัญญาณแสงเอาต์พุตเทียบกับกำลังของสัญญาณแสงอินพุต.....	65
4.3 แสดงกราฟอัตราขยายสัญญาณ(Gain) เทียบกับกำลังของสัญญาณแสงอินพุต.....	68
4.4 แสดงกราฟกำลังของสัญญาณแสงเอาต์พุตเทียบกับกำลังของเลเซอร์บีม.....	70
4.5 แสดงกราฟระหว่างอัตราขยายสัญญาณ(Gain) เทียบกับกำลังของเลเซอร์บีม.....	72
4.6 แสดงกราฟระหว่างกำลังของสัญญาณแสงเอาต์พุตเทียบกับความยาวคลื่น.....	74
4.7 แสดงกราฟระหว่างอัตราขยายสัญญาณ(Gain) เทียบกับความยาวคลื่น.....	76
4.8 แสดงกราฟระหว่างค่า PCE และกำลังแสงเอาต์พุต.....	78
4.9 แสดงกราฟระหว่างค่าประสิทธิภาพการแปลงทางควอนตัมกับกำลังของสัญญาณแสงอินพุต.....	80
4.10 แสดงสัญญาณแสงอินพุตที่มีการมอดูเลต.....	81
4.11 แสดงสัญญาณแสงเอาต์พุตที่มีการมอดูเลต.....	81

# บทที่ 1

## บทนำ

ในบทนี้จะกล่าวถึงความสำคัญและที่มาของงานวิจัย วัตถุประสงค์ของงานวิจัย ขอบเขตของงานวิจัย ประโยชน์ที่คาดว่าจะได้รับจากการดำเนินงานวิจัย และขั้นตอนในการดำเนินงานวิจัย ซึ่งจะกล่าวเรียงตามลำดับหัวข้อดังนี้

### 1.1 ความสำคัญและที่มาของงานวิจัย

ในปัจจุบันเทคโนโลยีทางการสื่อสารได้พัฒนาไปอย่างรวดเร็ว การสื่อสารด้วยแสงก็ได้มีการใช้งานกันอย่างแพร่หลายเนื่องจากผลดีและความเหมาะสมกับการใช้งาน และราคาอุปกรณ์สื่อสารทางแสงก็ถูกลง เมื่อกล่าวถึงอุปกรณ์ในการสื่อสารในระยะใกล้ๆ สิ่งที่เราไม่ได้คืออุปกรณ์ในการทวนสัญญาณ การส่งสัญญาณแสงไปในใยแก้วนำแสงในระยะทางไกลๆ สัญญาณแสงจะมีขนาดลดลง เพื่อให้สามารถส่งสัญญาณไปได้จึงต้องมีระบบขยายสัญญาณ การขยายสัญญาณทางแสงจะสามารถแบ่งได้สองประเภทคือแบบที่เป็นวงจรอิเล็กทรอนิกส์ และแบบที่เป็น การขยายเชิงแสง การขยายโดยใช้วงจรอิเล็กทรอนิกส์ [1] ซึ่งกระบวนการในการขยายคือจะมีการแปลงสัญญาณแสงไปเป็นสัญญาณไฟฟ้าแล้วทำการขยายสัญญาณไฟฟ้าด้วยวงจรอิเล็กทรอนิกส์ จากนั้นก็จะแปลงสัญญาณไฟฟ้าที่ขยายได้เป็นสัญญาณแสงแล้วส่งกลับเข้าไปยังใยแก้วนำแสง ปัญหาของการขยายสัญญาณแบบนี้คือมีข้อจำกัดทางด้านแบนด์วิดท์ และมีการสูญเสียกำลังแสงเนื่องจากการเชื่อมต่อที่สูง การขยายสัญญาณที่เป็นเชิงแสงโดยตรงนั้นเป็นที่นิยมใช้ในระบบสื่อสารทางแสงนั้นมีอยู่สองแบบคือ การขยายแบบรามาน (Raman Amplifier) และการขยายโดยใช้ใยแก้วนำแสงเออร์เบียมโคป (Erbium-Doped Fiber Amplifier; EDFA) การขยายแบบรามาน [2,3] เป็นการขยายสัญญาณแสงโดยใช้ใยแก้วนำแสงซึ่งใช้หลักการในการทำให้เกิดการกระเจิงแบบเรลีย์ (Rayleigh Scattering) ของอิเล็กตรอนในใยแก้วนำแสง ซึ่งจะต้องมีการปั๊มด้วยเลเซอร์ที่มีความยาวคลื่นที่เหมาะสมแล้วทำให้เกิดการกระเจิงของอิเล็กตรอน จะเป็นการทำให้เกิดประชากรผกผันขึ้นในระบบ การขยายก็จะเกิดขึ้นเมื่อมีสัญญาณแสงเข้ามาในระบบ จะทำให้เกิดกำลังแสงเพิ่มขึ้นด้วยกระบวนการที่เรียกว่า " Stimulated Raman Scattering " ความยาวคลื่นในการขยายจะขึ้นอยู่กับความยาวคลื่นของเลเซอร์ที่ปั๊ม อัตราการขยายสัญญาณจะต่ำกว่าการขยายโดยใช้ใยแก้วนำแสงเออร์เบียมโคป ในงานวิจัยนี้จะเป็นการศึกษาการขยายสัญญาณแสงโดยใช้ใยแก้วนำแสงเออร์เบียมโคป ในปี ค.ศ. 1983 ที่เบลเทเลโฟนแลป(Bell Telephone Laboratory) โดยนายบอร์ นายชิมซันและนายคาวอร์เกอร์ (Borer, Simpson and Coworker) [4] ได้เริ่มมีการทดลองโคปธาตุกลุ่มแรเอิร์ท(Rare Earth) ในใยแก้วนำแสงแบบโหมคเดียวซึ่งได้ศึกษาคุณสมบัติพื้นฐานการทางกายภาพนำมาสู่การพัฒนาเป็นใยแก้วนำแสงเออร์เบียมโคปเพื่อใช้ในการขยายสัญญาณแสงเกิดขึ้นในปี

ค.ศ. 1987 ทีมมหาวิทยาลัยเซาท์แทมตัน สหรัฐอเมริกาและ AT&T ซึ่งพบว่าเกิดการขยายสัญญาณแสงที่มีความยาวคลื่น 1550 นาโนเมตร เนื่องมาจากคุณสมบัติของเออร์เบียมที่มีแถบพลังงานตรงกับ ความยาวคลื่นที่ใช้ระบบการสื่อสารทางแสง[5,6] กระบวนการขยายคือการทำให้เกิดเลเซอร์ที่ ความยาวคลื่นของสัญญาณที่ต้องการขยาย ซึ่งต้องมีการปั๊มด้วยเลเซอร์โดยจะสามารถใช้ได้ทั้งสอง ความยาวคลื่นคือ ความยาวคลื่น 980 นาโนเมตร จะทำให้เกิดการขยายแบบสามระดับพลังงาน และ ที่ความยาวคลื่น 1480 นาโนเมตรจะทำให้เกิดการขยายแบบสองระดับพลังงาน ในงานวิจัยนี้จะใช้ ปั๊มด้วยเลเซอร์ที่ความยาวคลื่น 980 นาโนเมตร ซึ่งจะทำให้ระบบเกิดประชากรผกผันคือที่ระดับ พลังงานสูงจะมีจำนวนอิเล็กตรอนมากกว่าที่สถานะพื้น เมื่อมีสัญญาณแสงที่มีความยาวคลื่น 1550 นาโนเมตร เข้ามาในระบบจะทำให้เกิดการกระตุ้นให้อิเล็กตรอนเปลี่ยนระดับพลังงานกลับมาที่ สถานะพื้นแล้วทำให้เกิดการปล่อยคลื่นแสงออกมาทำให้แสงที่มีความยาวคลื่น 1550 นาโนเมตร มีความเข้มแสงมากขึ้น นั่นคือเกิดการขยายสัญญาณแสงขึ้น ซึ่งมีประสิทธิภาพและอัตราขยายดีกว่า แบบรามาน การขยายสัญญาณที่เป็นระบบทางแสงโดยตรงจึงเป็นสิ่งที่ดีกว่าระบบที่เป็นวงจร อิเล็กทรอนิกส์ การขยายสัญญาณโดยใช้ใยแก้วนำแสงเออร์เบียมโดป เป็นวิธีที่มีประสิทธิภาพดี ซึ่ง มีหลักการการทำงานที่น่าสนใจเพื่อให้เข้าใจถึงกระบวนการทำงานที่ลึกซึ้ง เป็นประโยชน์ต่อการพัฒนา เพื่อให้นำไปใช้ในการสร้างอุปกรณ์ในการขยายสัญญาณทางแสงเพื่อนำมาใช้งาน และเป็นผล ในเชิงการวิจัยและพัฒนาเทคโนโลยีใหม่ๆสำหรับประเทศต่อไป

## 1.2 วัตถุประสงค์ของงานวิจัย

- 1.2.1 เพื่อเป็นการศึกษาหลักการทำงานของการขยายสัญญาณแสง โดยใช้ใยแก้วนำแสงเออร์เบียมโดป
- 1.2.2 เพื่อศึกษาเทคนิคและวิธีการในการสร้างระบบการขยายสัญญาณแสงใยแก้วนำแสง
- 1.2.3 เพื่อนำไปประยุกต์ใช้งานในการขยายสัญญาณแสง

## 1.3 ขอบเขตของงานวิจัย

- 1.3.1 ศึกษาหลักการทำงานและทฤษฎีที่เกี่ยวข้องในการขยายสัญญาณแสง โดยใช้ใยแก้วนำแสงเออร์เบียมโดป
- 1.2.2 ศึกษาการออกแบบและทดลองการขยายสัญญาณ โดยใช้ใยแก้วนำแสงเออร์เบียมโดป
- 1.2.3 ศึกษาการประยุกต์ใช้งานการขยายสัญญาณ โดยใช้ใยแก้วนำแสงเออร์เบียมโดปทางด้านการสื่อสาร

## 1.4 ประโยชน์ที่คาดว่าจะได้รับ

- 1.4.1 เข้าใจหลักการทำงานของการขยายสัญญาณแสง โดยใช้ใยแก้วนำแสงเออร์เบียมโดป
- 1.4.2 ได้ทักษะในการใช้อุปกรณ์ทางด้านใยแก้วนำแสง
- 1.4.3 เรียนรู้เทคนิคและวิธีการในการสื่อสารด้วยระบบใยแก้วนำแสง
- 1.4.4 พัฒนาความรู้ความสามารถของผู้วิจัย
- 1.4.5 สามารถนำไปประยุกต์ในการขยายสัญญาณแสงในระบบการสื่อสารทางแสงได้

## 1.5 การดำเนินงานวิจัย

ขั้นตอนการดำเนินการวิจัยเริ่มจากการศึกษาค้นคว้าทฤษฎีในการเกิดเลเซอร์ หลักการต่างๆที่เกี่ยวข้องกับใยแก้วนำแสง ทฤษฎีของกระบวนการที่ทำให้เกิดการขยายสัญญาณในใยแก้วนำแสงเออร์เบียมโดป รวมไปถึงอุปกรณ์ที่ใช้งานในระบบการขยายสัญญาณแสง จากนั้นทำการออกแบบระบบในการทดลองและทำการจัดซื้อและเตรียมอุปกรณ์ต่างๆที่เกี่ยวข้อง ทำการเชื่อมต่อระบบในส่วนต่างๆ ซึ่งจะมีทั้งส่วนที่เป็นอิเล็กทรอนิกส์และส่วนที่เป็นใยแก้วนำแสงซึ่งต้องเชื่อมต่อแบบหลอมรวมหรือใช้หัวต่อ ทำการทดลองเพื่อหาค่ากำลังแสงเอาต์พุตและอัตราขยายของระบบขยายสัญญาณแสงที่สร้างขึ้นมา และทำการทดลองกับการขยายสัญญาณที่มีการมอดูเลตซึ่งเป็นการประยุกต์เพื่อใช้ในระบบการสื่อสาร

## บทที่ 2

# ทฤษฎีและหลักการที่เกี่ยวข้อง

ในบทนี้จะกล่าวถึงทฤษฎีพื้นฐานของใยแก้วนำแสง การเกิดเลเซอร์ การกระเจิงของแสง (Scattering of light) ที่เกี่ยวข้องหลักการในการขยายสัญญาณแสง กระบวนการในการขยายสัญญาณแสงที่เกิดขึ้นในใยแก้วนำแสงเออร์เบียมโคป กล่าวถึงอัตราขยาย ขอบเขตของการอิมพัลส์ของระบบ และหลักการต่างๆที่เกี่ยวข้อง ซึ่งจะกล่าวตามลำดับดังนี้

### 2.1 ใยแก้วนำแสง (Fiber optics)

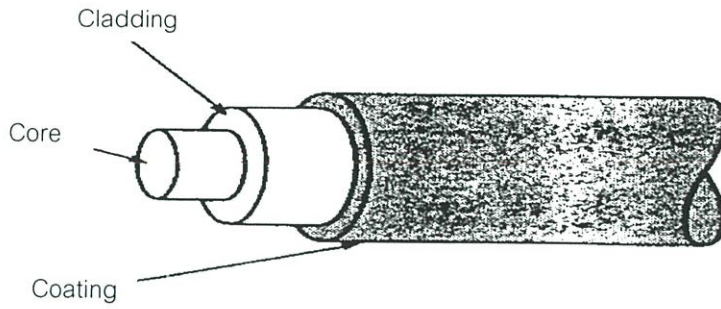
#### 2.1.1 ส่วนประกอบพื้นฐานของใยแก้วนำแสง

ส่วนประกอบที่สำคัญของใยแก้วนำแสงแสดงได้ดังรูปที่ 2.1 แบ่งเป็น 3 ส่วนคือ

**แกน (Core)** เป็นส่วนที่อยู่ในส่วนกลางและเป็นส่วนแกนของใยแก้วนำแสง ส่วนใหญ่จะเดินทางในส่วนนี้ โดยทั่วไปแกนจะมีค่าดัชนีหักเหเท่ากับ 1.48 ซึ่งมากกว่าส่วนที่เป็นแคลดดิ้ง เพราะต้องคำนึงถึงกฎการหักเหและการสะท้อนกลับหมดภายในของแสงที่เดินทางอยู่ในแกน ส่วนขนาดของแกนจะขึ้นอยู่กับชนิดของใยแก้วนำแสง โดยใยแก้วนำแสงโหมคเดียวจะมีเส้นผ่านศูนย์กลางของแกนประมาณ 2-10  $\mu\text{m}$  ส่วนใยแก้วนำแสงหลายโหมคจะมีเส้นผ่านศูนย์กลางของแกนประมาณ 50  $\mu\text{m}$

**แคลดดิ้ง (Cladding)** จะอยู่ถัดจากแกนออกมาเป็นส่วนห่อหุ้มแกนอีกชั้นหนึ่ง โดยทั่วไปมีค่าดัชนีหักเหเท่ากับ 1.46 แคลดดิ้งเป็นส่วนที่ทำให้เกิดการสะท้อนกลับหมดภายใน ทำให้แสงยังคงเดินทางในแกนของใยแก้วนำแสงได้ นอกจากนี้แคลดดิ้งยังเป็นส่วนป้องกันไม่ให้แสงจากภายนอกเข้าสู่ใยแก้วนำแสงและกันแสงจากใยแก้วนำแสงออกสู่ภายนอก ขนาดของแคลดดิ้งจะขึ้นอยู่กับชนิดของใยแก้วนำแสง

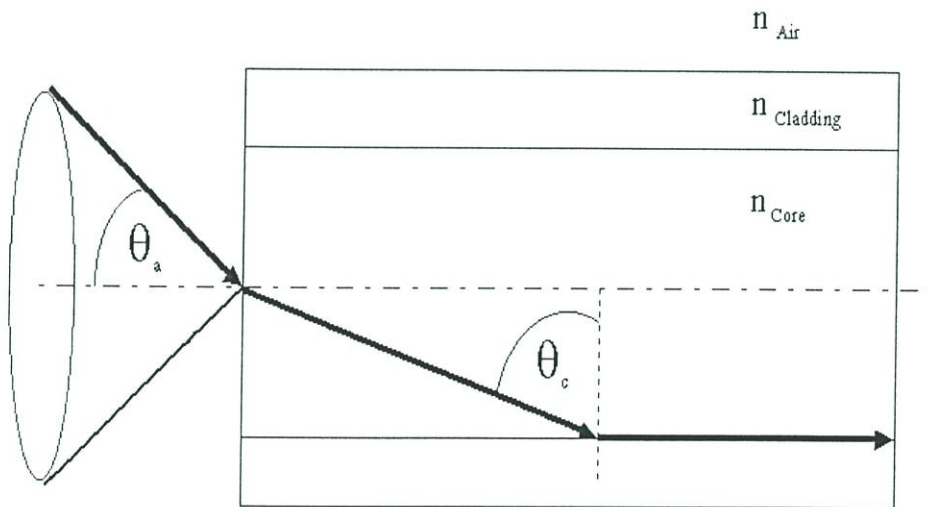
**ส่วนป้องกัน (Coating)** เป็นส่วนที่ป้องกันแสงจากภายนอกเข้าสู่ใยแก้วนำแสงและป้องกันแสงจากใยแก้วนำแสงออกสู่ภายนอก นอกจากนี้ยังเป็นส่วนห่อหุ้มใยแก้วนำแสงไม่ให้ได้รับความเสียหายจากสิ่งแวดล้อมภายนอก ใยแก้วนำแสงบางชนิดจะมีส่วนห่อหุ้มชั้นนอกหลายชั้น ซึ่งขึ้นอยู่กับลักษณะของการนำไปใช้งาน



รูปที่ 2.1 แสดงส่วนประกอบของใยแก้วนำแสงคือ แกน แคลดดิ้ง และส่วนห่อหุ้มชั้นนอก

### 2.1.2 มุมรองรับแสง (Acceptance angle)

มุมรองรับแสง ( $2\theta_a$ ) คือ มุมที่ฉายแสงเข้าไปยังแกนของใยแก้วนำแสงแล้วทำให้แสงที่ตกกระทบที่ผิวรอยต่อระหว่างแกนกับแคลดดิ้ง มีค่ามากกว่าหรือเท่ากับมุมวิกฤต เป็นผลทำให้แสงสามารถเดินทางภายในแกนของใยแก้วนำแสงได้ ถ้ามองในลักษณะ 3 มิติ มุมรองรับแสงก็คือ กรวยรองรับแสง (Acceptance cone) ซึ่งแสดงดังรูปที่ 2.2



รูปที่ 2.2 แสดงมุมรองรับแสงและกรวยรองรับแสงของใยแก้วนำแสง

$$\theta_a = \sin^{-1} \left( \sqrt{n_{\text{Core}}^2 - n_{\text{Cladding}}^2} \right) \quad (2.1)$$

เมื่อ

$n_{\text{Air}}$  คือ ดัชนีหักเหของอากาศ

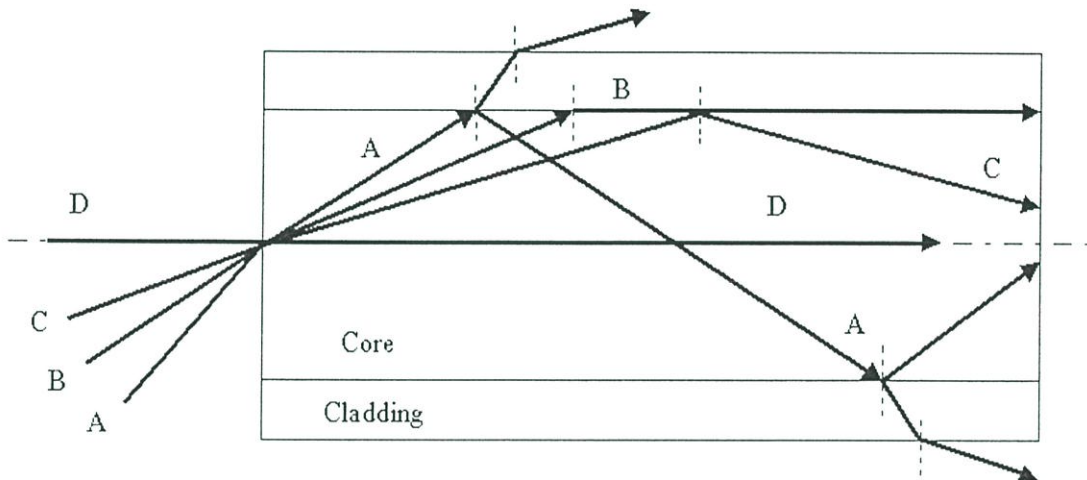
$n_{\text{Cladding}}$  คือ ดัชนีหักเหของแคลดดิ้ง

$n_{\text{Core}}$  คือ ดัชนีหักเหของแกน

จากสมการที่ 2.1 จะเห็นว่ามุมรองรับแสง ( $2\theta_0$ ) ขึ้นอยู่กับผลต่างของค่าดัชนีหักเหระหว่างแกนกับแคลคดิงใยแก้วนำแสงที่มีผลต่างของค่าดัชนีหักเหระหว่างแกนกับแคลคดิงมากจะทำให้มีมุมรองรับแสงมากขึ้นคือ สามารถป้อนแสงเข้าสู่แกนของใยแก้วนำแสงได้มาก

### 2.1.3 ลักษณะของแสงที่แพร่กระจายในใยแก้วนำแสง(Light Propagation in Fiber Optic)

ลักษณะของแสงที่แพร่กระจายในใยแก้วนำแสงส่วนใหญ่จะมีอยู่ 3 ลักษณะ ดังรูปที่ 2.3



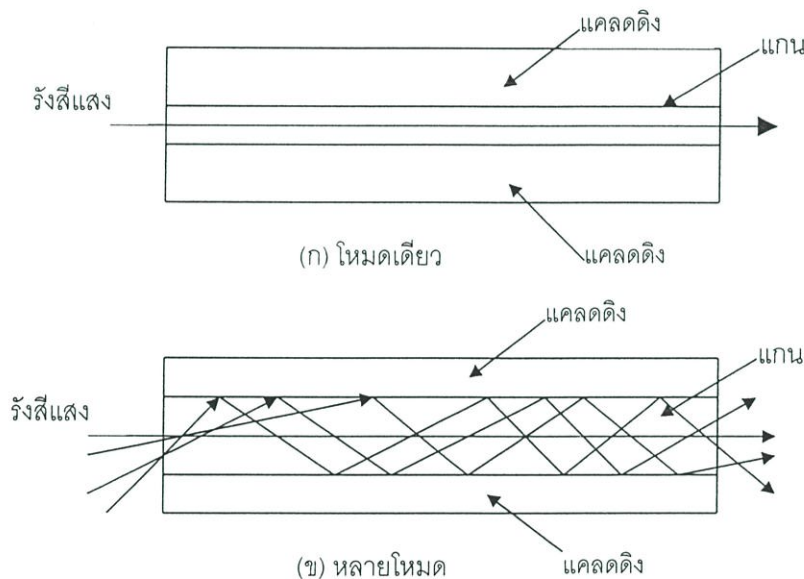
รูปที่ 2.3 แสดงลักษณะของแสงที่แพร่กระจายในใยแก้วนำแสง

จากรูปที่ 2.3 ลักษณะของแสงที่แพร่กระจายในใยแก้วนำแสงมีอยู่ 3 ลักษณะคือ ลำแสง A จะมีมุมตกกระทบมากกว่ามุมรองรับแสง ( $2\theta_0$ ) ของใยแก้วนำแสง เมื่อลำแสง A หักเหเข้าไปยังแกน จะมีมุมหักเหมาก เมื่อลำแสง A ตกกระทบบนผิวรอยต่อระหว่างแกน(Core) กับแคลคดิง(Cladding) จะมีมุมตกกระทบน้อยกว่ามุมวิกฤต ทำให้มีแสงส่วนหนึ่งสะท้อนกลับมายังแกนและแสงอีกส่วนหนึ่งหักเหเข้าไปยังแคลคดิงซึ่งแสงส่วนนี้อาจจะสะท้อนที่ผิวนอกของแคลคดิงกลับเข้ามายังแกนอีกหรืออาจมีแสงบางส่วนหักเหออกไปภายนอกใยแก้วนำแสง ซึ่งในกรณีนี้ทำให้เกิดการสูญเสียพลังงานของแสงที่แพร่กระจายในใยแก้วนำแสง ลำแสง B จะมีมุมตกกระทบเท่ากับมุมรองรับแสง เมื่อลำแสง B หักเหเข้าไปยังแกนลำแสงส่วนที่ตกกระทบบนผิวรอยต่อระหว่างแกนกับแคลคดิงจะมีมุมตกกระทบเท่ากับมุมวิกฤต ทำให้ไม่มีแสงหักเหเข้าไปยังแคลคดิงลำแสง B ส่วนใหญ่จึงเดินทางขนานไปกับผิวรอยต่อระหว่างแกนกับแคลคดิงลำแสง C จะมีมุมตกกระทบน้อยกว่ามุมรองรับแสง เมื่อลำแสง C หักเหเข้าไปยังแกนจะทำให้ลำแสง C ที่ตกกระทบบนผิวรอยต่อระหว่างแกนกับแคลคดิงมีมุมตกกระทบมากกว่ามุมวิกฤต ทำให้ลำแสง C ทั้งหมดเดินทางอยู่ภายในแกนของใยแก้วนำแสง ส่วนลำแสง D จะเป็นลำแสงที่ถูกลายเข้าไปยังแกนโดยตรง (มุมตกกระทบเท่ากับศูนย์) ทำให้

ลำแสง D ทั้งหมดเดินทางขนานไปกับแนวแกนกลางของใยแก้วนำแสง ลักษณะการแพร่กระจายของลำแสง C และ D จะทำให้เกิดการสูญเสียพลังงานของแสงน้อยที่สุด

## 2.2 การเดินทางของแสงในใยแก้วนำแสง

แสงสามารถแพร่กระจายเข้าไปในใยแก้วได้โดยการสะท้อนหรือการหักเหแสง กล่าวคือ แสงจะแพร่กระจายอย่างไรขึ้นอยู่กับโหมดของการแพร่กระจายและรูปแบบของดัชนีหักเห โหมดการแพร่กระจาย หรือโหมด หมายถึงทางเดิน (Path) ของแสงนั่นเอง ถ้าทางเดินของแสงมีเพียงทางเดียวที่ทำให้แสงแพร่กระจายไปในใยแก้วนำแสงได้เรียกโหมดเดียว (Single Mode) ถ้ามีทางเดินของแสงหลายๆ ทาง เรียกว่า มัลติโหมด (Multimode) หรือหลายโหมด รูปที่ 2.4 แสดงการกระจายของแสงเข้าไปในใยแก้วนำแสงแบบโหมดเดียวและแบบหลายโหมด

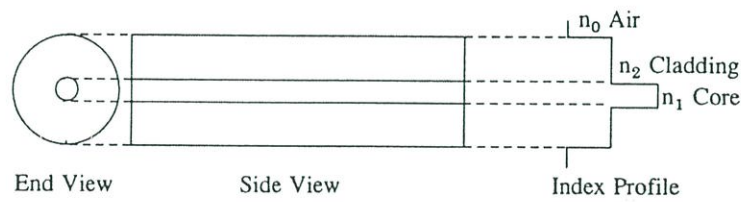


รูปที่ 2.4 แสดงโหมดของการแพร่กระจายของแสงในใยแก้วนำแสง

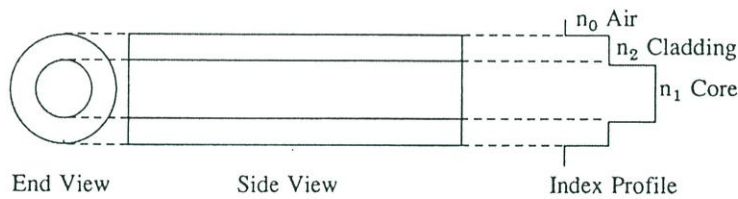
### 2.2.1 อินเดกซ์โปรไฟล์

อินเดกซ์โปรไฟล์ (Index Profile) ของใยแก้วนำแสง จากรูปที่ 2.5 คือกราฟของความสัมพันธ์ของดัชนีหักเหของแกน ( $n_1$ ) ของเส้นใยแก้วนำแสง โดยที่ดัชนีหักเหถูกเขียนบนแกนนอน และระยะห่างจากแกนของใยแก้วนำแสงอยู่ในแนวตั้ง อินเดกซ์โปรไฟล์ของใยแก้วนำแสงทั้งสามชนิด ซึ่งแสดงภาพจุดปลาย (End View) และภาพด้านข้าง (Side View) โดยทั่วไปใยแก้วนำแสงจะมีอินเดกซ์โปรไฟล์อยู่ 2 ประเภท คือ แบบสเตป (Step Index) และเกรดอินเดกซ์ (Grad Index) หรือเรียกว่าแบบขั้นบันไดและแบบมนตามลำดับ โดยที่แบบสเตปอินเดกซ์จะมีดัชนีหักเหของแสงคงที่ตลอดเนื้อสารที่เป็นแกนและแคลดดิง โดยปกติดัชนีหักเหของแกนจะมีค่ามากกว่าดัชนีหักเหของ

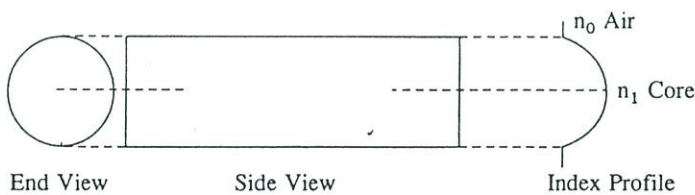
แคลดดิ้ง( $n_2$ ) และของอากาศ( $n_0$ ) แนวทางเดินของแสงจะมีลักษณะเป็นเส้นตรงสะท้อนไปมาตรงบริเวณรอยต่อระหว่างแกนกับแคลดดิ้งตามกฎของสเนลล์ ส่วนใยแก้วนำแสงแบบเกรดอินเดกซ์จะมีดัชนีหักเหของแกนเปลี่ยนแปลงไปตามแนวแกนของใยแก้ว โดยที่ตำแหน่งแนวศูนย์กลางของใยแก้วจะมีค่าดัชนีหักเหสูงสุดจากนั้นค่าดัชนีหักเหจะค่อยๆ ลดลงไปตามระยะที่ห่างออกจากแนวศูนย์กลาง จนมีค่าเท่ากับดัชนีหักเหของแคลดดิ้งในตำแหน่งที่แกนต่อกับแคลดดิ้งพอดี โครงสร้างของใยแก้วนำแสงโดยทั่วไป แบ่งออกเป็นประเภทตามโครงสร้างได้ 3 ประเภท คือ โหมดเดียว หลายโหมดสเตปอินเดกซ์ และหลายโหมดเกรดอินเดกซ์



(ก) โหมดเดียวขั้นบันได



(ข) หลายโหมดขั้นบันได

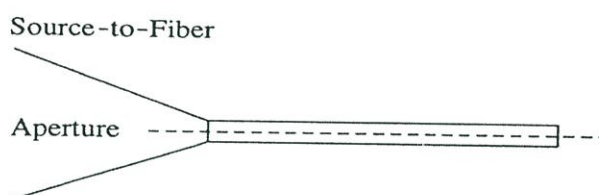


(ค) หลายโหมดแบบมน

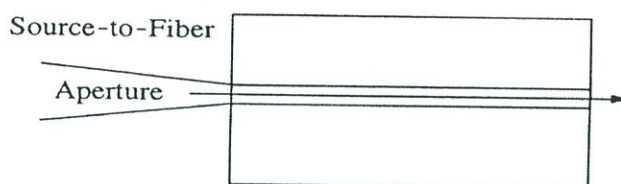
### รูปที่ 2.5 แสดงอินเดกซ์โปรไฟล์ของแกนใยแก้วนำแสง

ใยแก้วนำแสงชนิดโหมดเดียวสเตปอินเดกซ์มีแกนกลางขนาดเล็กมากจนแสงผ่านเข้าไปภายในได้เพียงทางเดียวเท่านั้น ใยแก้วนำแสงประเภทนี้แสดงในรูปที่ 2.6 รูปแบบอย่างง่ายที่สุดของใยแก้วนำแสงชนิดนี้ก็คือนำแกนเป็นแก้ว และแคลดดิ้งเป็นอากาศ ความแตกต่างของดัชนีหักเหของตัวกลางทั้งสองมีค่ามากทำให้มุมวิกฤต (ประมาณ  $42^\circ$ ) มีค่าน้อยที่รอยต่อระหว่างแก้วและอากาศ ผลทำให้ใยแก้วนำแสงมีมุมรับแสง(Aperture) เป็นมุมกว้าง ดังนั้นทำให้ง่ายต่อการส่งแสง

จากแหล่งกำเนิดแสง(Source to Fiber) เข้าไปในใยแก้วนำแสง อย่างไรก็ตามใยแก้วนำแสงชนิดนี้  
ง่ายต่อการแตกหักจึงมีข้อจำกัดในการนำมาใช้งาน ใยแก้วนำแสงชนิดโหมคเดี่ยวสเตปอินเดกซ์ที่  
เหมาะนำไปใช้งานคือใยแก้วนำแสงที่มีแกนเป็นแก้วและมีเคลดคิงที่ไม่ใช่อากาศ ค่าดัชนีหักเห  
ของเคลดคิงมีค่าน้อยกว่าดัชนีหักเหของแกนเล็กน้อยและมีค่าเท่ากันตลอด ใยแก้วนำแสงชนิดนี้จะ  
แข็งแรงกว่าชนิดที่มีอากาศเป็นเคลดคิงแต่มุมวิกฤตจะมีค่ามาก (ประมาณ  $70^{\circ}$ ) เป็นผลให้ใยแก้วมี  
มุมรับแสงแคบซึ่งทำให้ยากต่อการส่องแสงจากแหล่งกำเนิดแสงเข้าไปในใยแก้วนำแสง



(ก) มีอากาศเป็นเคลดคิง

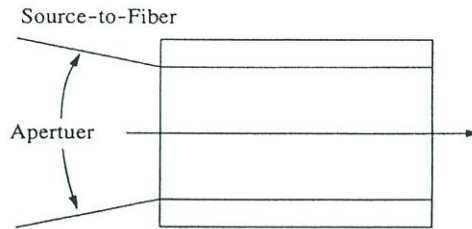


(ข) มีแก้วเป็นเคลดคิง

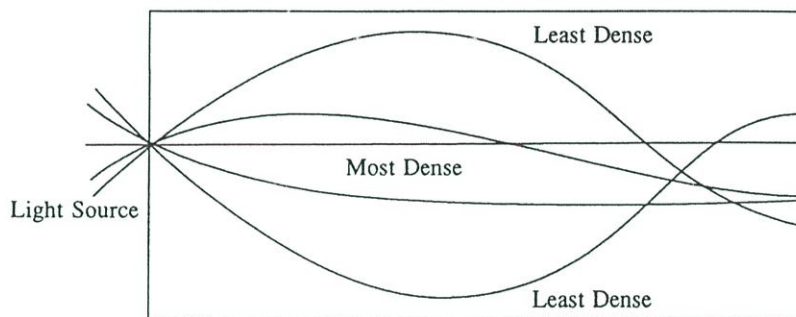
### รูปที่ 2.6 ใยแก้วนำแสงชนิดโหมคเดี่ยวขั้นบันได

ใยแก้วนำแสงหลายโหมคชนิดสเตปอินเดกซ์มีลักษณะโครงสร้างคล้ายกับโหมคเดี่ยวแต่มี  
แกนใหญ่กว่า ดังรูปที่ 2.7 ใยแก้วนำแสงประเภทนี้จะมีมุมในการรับแสง(Aperture) ผ่านเข้าไปได้  
ง่ายขึ้น รังสีของแสง(Light Source)ที่กระทบรอยต่อของแกนและเคลดคิงที่มีมุมมากกว่ามุมวิกฤต  
จะผ่านเข้าไปในใยแก้วนำแสงโดยการสะท้อนกลับไปกลับมาที่รอยต่อทั้งสองเป็นรูปซิกแซก รังสี  
ของแสง ที่กระทบรอยต่อของแกนและเคลดคิงโดยมีมุมน้อยกว่ามุมวิกฤต จะผ่านเข้าไปในเคลด  
คิงแล้วหายไป จะเห็นได้ว่ามีหลายทางที่แสงเขาจะผ่านเข้าไปในใยแก้วนำแสง ซึ่งทำให้รังสีต่างๆ  
เดินทางผ่านใยแก้วนำแสงที่ความยาวหนึ่งในเวลาที่ไม่เท่ากัน จากรูปที่ 2.8 เป็นใยแก้วนำแสงหลาย  
โหมคเกรดอินเดกซ์มีลักษณะของแกนที่มีดัชนีหักเหที่มีค่ามากที่สุดตรงจุดศูนย์กลางคือมีความหนา  
แน่นมากที่สุด(Most Dense) แล้วดัชนีหักเหจะลดลงไปตามแนวแกนรัศมี ที่ขอบจะมีความหนา  
แน่นน้อยสุด(Least Dense) เมื่อแสงผ่านเข้าไปในใยแก้วนำแสงโดยการหักเหมุมต่างๆ กัน แล้วทาง  
เดินของแสงจะมีลักษณะเป็นเส้นโค้ง รังสีของแสงด้านนอกสุดจะเดินทางด้วยระยะไกลกว่ารังสี  
ของแสงที่อยู่ใกล้กับจุดศูนย์กลางของใยแก้วนำแสง เพราะว่าดัชนีหักเหลดลงตามแนวรัศมี

และความเร็วแปรผันเป็นส่วนกลับกับค่าดัชนีหักเห ดังนั้นรัศมีของแกนที่ห่างจากจุดศูนย์กลางมาก แสงจะมีความเร็วมากกว่าทำให้รังสีทุกๆ รังสีใช้เวลาในการเดินทางผ่านใยแก้วนำแสงเท่ากัน



รูปที่ 2.7 ใยแก้วนำแสงชนิดหลายโหมดสเตปอินเดกซ์



รูปที่ 2.8 ใยแก้วนำแสงชนิดหลายโหมดเกรดอินเดกซ์

### 2.2.2 นิวมอริคัลอเปอร์เจอร์

จากรูปที่ 2.2 แสดงรูปตัดขวางของใยแก้วนำแสงชนิดดัชนีหักเหแบบขั้นบันไดที่ใช้ในการหานิวเมอริคัลอเปอร์เจอร์ (NA) จะเห็นว่ารูปกรวยของรังสีของแสงที่รับโดยใยแก้วนำแสงจะหาได้จากความแตกต่างของดัชนีหักเหของแกน ( $n_{core}$ ) และดัชนีหักเหของเคลดดิ้ง ( $n_{cladding}$ ) ส่วนของความแตกต่างของดัชนีหักเห ( $\Delta$ ) นี้ นิยามโดยสมการที่ 2.2

$$\Delta = (n_{core} - n_{cladding}) / n_{core} \quad (2.2)$$

จากนิยามของมุมวิกฤตนั้นสามารถจะหาขนาดของรูปกรวยของแสงที่จะรับโดยใยแก้วนำแสง รังสีตกกระทบที่รอยต่อของแกนและเคลดดิ้งที่มุมวิกฤต ( $\theta_c$ ) ถ้ามุมของกรวยเป็น  $\theta_a$  และ  $n_a$  เป็นดัชนีหักเหของอากาศ จากกฎของสเนลล์จะได้

$$\sin \theta_c = n_{cladding} / n_{core} \quad (2.3)$$

ดังนั้น  $n_a \sin \theta_a = \sqrt{n_{core}^2 - n_{cladding}^2}$  นิวมอริคัลลอเปอร์เจอร์ คือ การวัดว่าระบบของแสงว่าจะรับแสงได้มากน้อยเพียงใด ระบบของแสงอาจจะเป็นใยแก้วนำแสงหรือออปติคัลทีฟเลนส์ (Objective Lens) หรือ โฟโตกราฟิกเลนส์ (Photographic Lens) NA คือผลคูณของค่าดัชนีหักเหของตัวกลางที่แสงตกกระทบกับค่าไซน์ (sin) ของมุม  $\theta_a$  ที่มากที่สุดคือ

$$NA = n_i \sin \theta_{\max} \quad (2.4)$$

ส่วนมากแสงที่ตกกระทบจะมาจากอากาศ ดังนั้น  $n_a = 1$  ในกรณีนิวมอริคัลลอเปอร์เจอร์ของใยแก้วนำแสงชนิดสเตปอินเดกซ์ คือ

$$NA = \sqrt{n_{core}^2 - n_{cladding}^2} \quad (2.5)$$

เมื่อ  $\Delta \ll 1$

$$\begin{aligned} NA &= \sqrt{(n_{core} - n_{cladding})(n_{core} + n_{cladding})} \\ &= \sqrt{(2n_{core}\Delta)(n_{core})} \\ &= n_{core} \sqrt{2\Delta} \end{aligned} \quad (2.6)$$

เงื่อนไขที่  $\Delta \ll 1$  เรียกว่า วิกตีไกด์ (Weakly-guide)

### 2.2.3 ความถี่นอร์มัลไลซ์ (V)

ในการหาจำนวนโหมดของการเคลื่อนที่ของคลื่นภายในเส้นใยแก้วนำแสง สามารถหาได้จากพารามิเตอร์ที่เรียกว่าความถี่นอร์มัลไลซ์หรือ V ดังสมการ

$$V = \left[ \frac{2\pi a}{\lambda} \right] NA \quad (2.7)$$

เมื่อ  $a$  เป็นรัศมีของแกน  $\lambda$  เป็นความยาวคลื่นของแสง จะเห็นได้ว่าขนาดของแกนภายในเส้นใยแก้วนำแสงนั้นมีความสัมพันธ์กับค่า NA และ V โดยทราบแล้วว่าแกนของเส้นใยนำแสงที่มีขนาดเส้นผ่านศูนย์กลางใหญ่กว่าจะมีค่า NA มากกว่า และจากสมการข้างต้น V สัมพันธ์กับค่า NA สำหรับเส้นใยนำแสงโหมดเดียวมี  $0 < V < 2.405$  แต่สำหรับเส้นใยแก้วนำแสงหลายโหมด  $V > 2.405$

## 2.3 การกระเจิงของแสง(Scattering of Light)

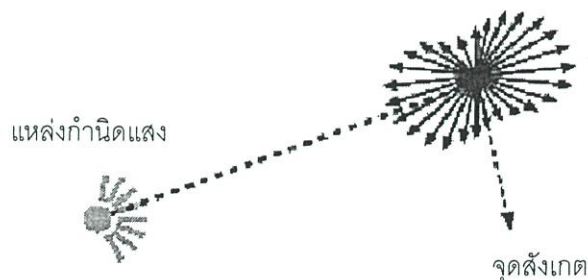
### 2.3.1 การกระเจิงแบบเรย์ลี (Rayleigh Scattering)

สามารถอธิบายโดยการกระเจิงของแสงในโมเลกุลของอากาศ ซึ่งเกิดการกระเจิงมากกว่า 10 ครั้งต่อหนึ่งความยาวคลื่น ขนาดของโมเลกุลของอากาศจะมีขนาดเล็กกว่าความยาวของคลื่นแสงที่ตกกระทบ การกระเจิงนี้เองจึงทำให้เราเห็นโมเลกุลของอากาศในท้องฟ้าเป็นสีฟ้า แสดงได้ดังรูปที่ 2.9 เราสามารถคำนวณความเข้มแสงของการกระเจิงดังสมการดังนี้

$$I = I_0 \frac{8\pi^4 N\alpha^2}{\lambda^4 R^2} (1 + \cos^2 \theta) \quad (2.8)$$

- เมื่อ
- N คือ จำนวนรังสีของแสงที่เกิดการกระเจิง
  - $\alpha$  คือ โพลาริซเซบิลิตี (Polarizability)
  - $\lambda$  คือ ความยาวคลื่น
  - R คือ ระยะจากผู้สังเกตถึงจุดที่เกิดการกระเจิง
  - $\theta$  คือ มุมของผู้สังเกต

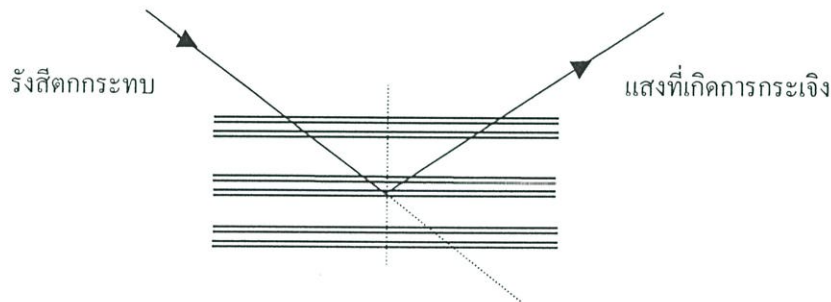
จากรูปที่ 2.9 ความเข้มของแสงที่ผู้สังเกตจะมีค่าเข้าใกล้  $1/\lambda^4$  ในการพิจารณาการกระเจิงแบบเรย์ลีเป็นการกระเจิงแบบยืดหยุ่น พลังงานของโฟตอนที่เกิดการกระเจิงจะไม่เกิดการเปลี่ยนแปลง แต่ถ้าการโฟตอนที่เกิดการกระเจิงเกิดมีการเพิ่มหรือลดพลังงานเราจะเรียกว่าเป็น การกระเจิงแบบรามาน การเกิดการกระเจิงนั้นจะเป็นการกระตุ้นทำให้เกิดการสั่นในโมเลกุลของตัวกลาง ทำให้โฟตอนมีพลังงานลดลง หรือกล่าวว่ามีโมเลกุลมีพลังงานการสั่นมากขึ้น



รูปที่ 2.9 แสดงการกระเจิงของแสงแบบเรย์ลี

### 2.3.2 การกระเจิงแบบบริลลูอิน ( Brillouin Scattering )

เป็นการกระเจิงของแสงในแบบของอะคูสติก ( Acoustic mode ) คือเป็นลักษณะของคลื่นนิ่งที่เกิดขึ้นในของแข็ง ที่มีดัชนีหักเหเปลี่ยนเป็นคาบ เมื่อแสงเดินทางผ่านก็จะทำให้เกิดการสะท้อนหรือการกระเจิง โดยจะเป็นไปตามกฎของแบรกก์(Bragg Law) เราสามารถพิจารณาในเชิงของควอนตัมของแสงที่มีผลกระทบบกับโฟตอน จะทำให้โฟตอนสั้นเป็นคาบ แสดงตัวอย่างได้ดังรูปที่ 2.10 จะเป็นการเดินทางของแสงเข้าไปในตัวกลางที่มีดัชนีหักเหต่างกันเป็นคาบๆ



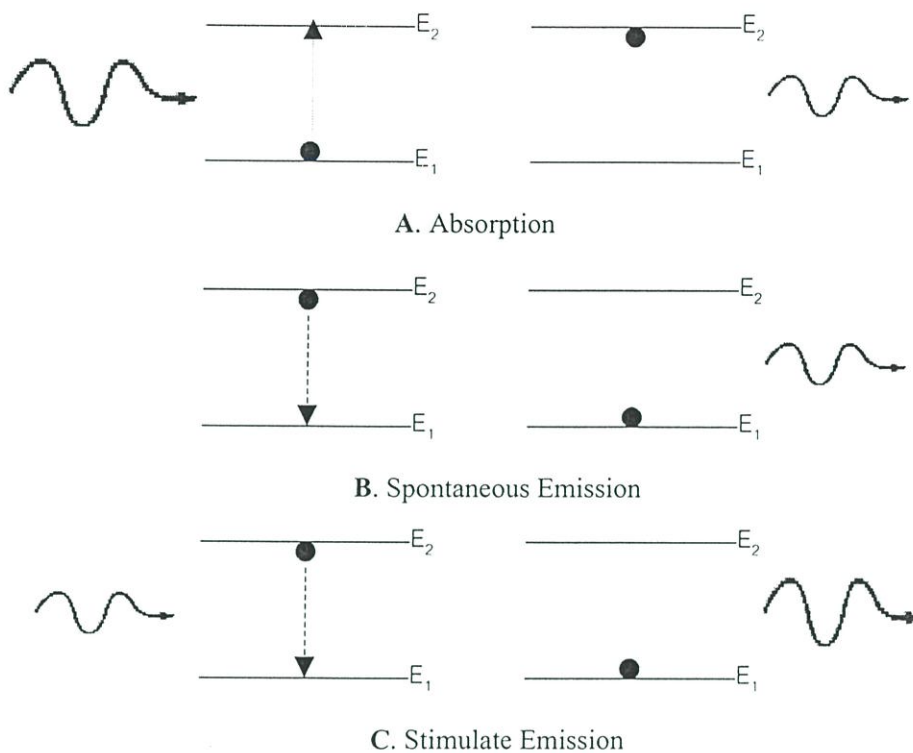
รูปที่ 2.10 แสดงตัวอย่างการกระเจิงแบบบริลลูอิน

### 2.4 หลักการกำเนิดแสงของเลเซอร์

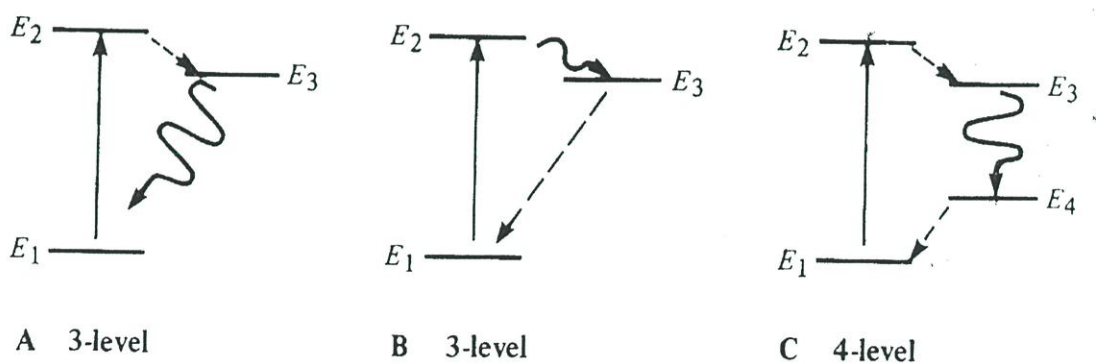
เลเซอร์ (LASER) ย่อมาจาก คำว่า "Light Amplification by Stimulated Emission of Radiation " คือ กระบวนการกระตุ้นให้เกิดการแผ่ของคลื่น (Stimulated Emission) ซึ่งเป็นกระบวนการที่ก่อให้เกิดความเข้มแสงเพิ่มขึ้น (Light Amplification)

จากรูปที่ 2.11 แสดงถึงกระบวนการพื้นฐานของการดูดกลืนแสง และการแผ่คลื่นออกมามี 3 ชนิด คือ รูปที่ 2.11(A) แสดงพลังงานของแสงเท่ากับพลังงานที่แตกต่างกันระหว่างระดับ  $E_1$  และ  $E_2$  เรโซแนนซ์โฟตอนจะถูกดูดกลืน(Absorption) ทำให้สารนั้นสู่ภาวะกระตุ้น โดยความเข้มของแสงลดลง แต่  $V$  คงเดิม รูปที่ 2.11(B) เป็นกระบวนการที่เกิดแบบสุ่ม(Random Process) และเป็นกระบวนการทำให้เกิด ฟลูออเรสเซนซ์โฟตอน(Fluorescent Photon) เรียกว่ากระบวนการแผ่คลื่นแบบสะปอนเตเนียส(Spontaneous Emission) และแสงที่เกิดขึ้นแบบนี้เป็นแสงที่ไม่อาพันธ์ (Incoherent) สำหรับ รูปที่ 2.11(C) เป็นกระบวนการที่ไอส์ไตน์ยอมรับว่า เรโซแนนซ์ โฟตอน สามารถเกิดอันตรกริยากับอะตอมหรือโมเลกุลที่อยู่สถานะพื้นให้กลายเป็นอะตอมหรือโมเลกุลสู่สถานะกระตุ้นได้ และเรโซแนนซ์โฟตอน ก็จะสามารถเกิดอันตรกริยากับอะตอมหรือโมเลกุลที่อยู่สถานะกระตุ้นให้กลายเป็นอะตอมหรือโมเลกุลสู่สถานะพื้นได้กระบวนการอย่างนี้เรียกว่า กระบวนการกระตุ้นให้เกิดการแผ่คลื่น (Stimulation Emission) แสงเลเซอร์นี้จัดว่าเป็นแสงอาพันธ์ (Coherent) จากที่ได้กล่าวมานี้เป็นการพิจารณาที่เป็นสองระดับพลังงาน ( Two -Levels System )

ซึ่งยังมีระบบอื่นที่เป็นหลายระดับ (Multi - Levels) ซึ่งเรียกว่าการปั๊ม (Pumping) แสดงได้ดังรูปที่ 2.12 ซึ่งจะให้เลเซอร์อย่างมีประสิทธิภาพ



รูปที่ 2.11 แสดงการเกิดอันตรกิริยาของแสงกับวัตถุเมื่อมีการดูดกลืนแสงและการแผ่แสง



รูปที่ 2.12 แสดงการปั๊มแบบหลายระดับ

เส้นทึบแสดงการเปลี่ยนระดับพลังงานจากการปั๊ม (Pump Transition) เส้นประแสดงการสลายตัว (Decay) โดยไม่ให้แสงหรือรังสี เส้นคดๆ แสดงการให้เลเซอร์จากทรานซิชัน

รูปที่ 2.12(A) เป็นระบบ 3 ระดับ ซึ่งเป็นระบบที่เรียกว่าเป็นการปั๊มให้เกิดการเปลี่ยนจากระดับ  $E_1$  สู่  $E_2$  แล้วเกิดการสลายตัวอย่างรวดเร็วแบบไม่ให้รังสีไปยัง  $E_3$  ซึ่งมีชีวิตที่ยาวพอสมควร แล้วกลับมาสู่ระดับ  $E_1$  จะให้เลเซอร์ออกมา

รูปที่ 2.12(B) เป็นระบบ 3 ระดับอีกอย่างหนึ่ง ซึ่งจัดว่าเป็นระบบที่มีประสิทธิภาพดีกว่า นั่นคือเกิดการชนกันได้เลเซอร์ คือการเปลี่ยนระดับจาก  $E_2$  สู่  $E_3$  ระบบนี้เกิดได้ง่าย เพราะเริ่มจำนวนอะตอมหรือโมเลกุลที่  $E_3$  ไม่จำเป็นต้องมีเลย ซึ่งต่างจากระบบแรก

รูปที่ 2.12(C) เป็นระบบ 4 ระดับ ซึ่งจัดว่าเป็นระบบที่มีประสิทธิภาพมาก เพราะ  $E_4$  ไม่ได้อยู่ที่สถานะพื้นและทรานซิชันที่ให้เลเซอร์คือการเปลี่ยนระดับจาก  $E_3$  สู่  $E_4$  ดังนั้นถ้าจะให้เลเซอร์ขึ้นมากๆ ก็เพียงแต่ปั๊มให้เกิด  $E_2$  และ  $E_3$  มากๆ เท่านั้น ซึ่งการปั๊มนี่ก็ใช้กำลัง ต่ำกว่าระบบ 3 ระดับพลังงาน

## 2.5 อัตราการขยายแสง

การเปล่งแสงที่เกิดจากการเร่งเร็ว ( Stimulated Emission ) จะส่งผลให้เกิดการขยายแสงไปในตัว เราจะมาพิจารณาการขยายแอมพลิจูดของคลื่นแสงมีลักษณะเป็นอย่างไร เริ่มแรกจะกล่าวถึงกรณีวัสดุทั่วไปซึ่งมีการดูดกลืนแสง ดังรูปที่ 2.13 สมมติว่ามีแสงอินพุตที่มีแอมพลิจูด  $I_0$  วิ่งเข้าสู่วัสดุที่มีความยาว  $z$  แสงอินพุตนี้จะถูกวัสดุดูดกลืน ดังนั้นแสงที่ทะลุออกด้านหลังของวัสดุจะมีแอมพลิจูดดังสมการข้างล่าง

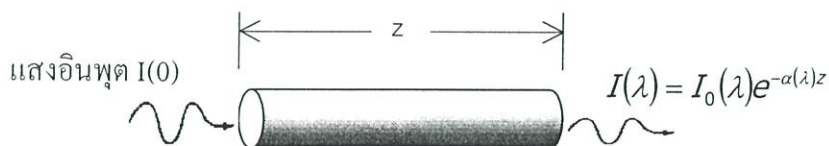
$$I(\lambda) = I_0(\lambda)e^{-\alpha(\lambda)z} \quad (2.9)$$

โดยที่  $I$  คือ ความเข้มของแสง

$\lambda$  คือ ความยาวคลื่นแสง

$\alpha(\lambda)$  คือสัมประสิทธิ์การดูดกลืนแสงของวัสดุ

สมการนี้แสดงให้เห็นว่าถ้าแสงยังเดินทางระยะทาง ( $z$ ) ไกลเท่าไร แอมพลิจูดของแสงจะยิ่งลดลง



รูปที่ 2.13 การลดทอนของแสงเนื่องจากถูกวัสดุดูดกลืน

ในกรณีแสงเดินทางเข้าสู่วัสดุซึ่งกำลังอยู่ในสภาพประชากรผกผันดังแสดงในรูปที่ 2.14 แสงที่ทะลุออกด้านหลังจะมีแอมพลิจูดสูงขึ้นเป็นดังสมการ

$$I(\lambda) = I_0(\lambda)e^{Az} \quad (2.10)$$

สมการนี้แสดงให้เห็นว่าถ้าแสงยิ่งเดินทางไกลมากเท่าไร แอมพลิจูดของแสงก็จะยิ่งเพิ่มมากขึ้นโดยสัมประสิทธิ์  $A$  ในสมการนี้เรียกว่า "สัมประสิทธิ์อัตราขยายแสง" (Optical Gain Coefficient)

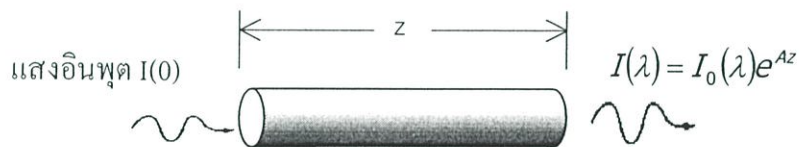
$$A = (N_2 - N_1)\rho / c \quad (2.11)$$

โดยที่  $\rho$  คือ ความน่าจะเป็นของการเปลี่ยนสถานะจาก  $E_2$  ไปสู่  $E_1$

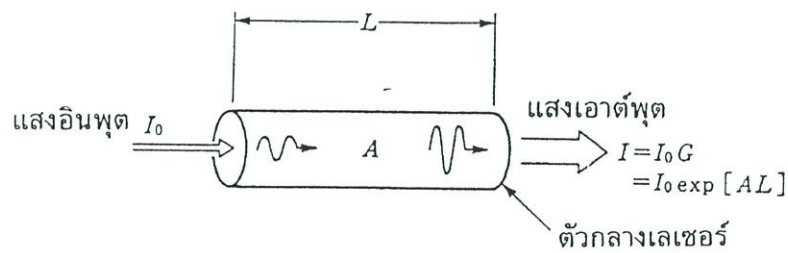
$c$  คือ ความเร็วแสง

$N_1$  คือจำนวนประชากรในระดับพลังงานที่ 1

$N_2$  คือจำนวนประชากรในระดับพลังงานที่ 2



รูปที่ 2.14 การขยายขนาดของสัญญาณแสงในวัสดุตัวกลางกำเนิดเลเซอร์



รูปที่ 2.15 วิธีการพิจารณาหาค่าอัตราขยายแสง

จากรูปที่ 2.15 ถ้ามีวัสดุตัวกลางมีความยาว  $L$  และถ้าแสงเอาต์พุตมีแอมพลิจูดเท่ากับ  $I_0 G$  เราเรียก  $G$  ว่า "อัตราขยายแสง" มีค่าดังสมการ

$$G = \frac{I(\lambda)}{I_0(\lambda)} = \exp(AL) = \exp\left[(N_2 - N_1)\frac{\rho}{c} \cdot L\right] \quad (2.12)$$

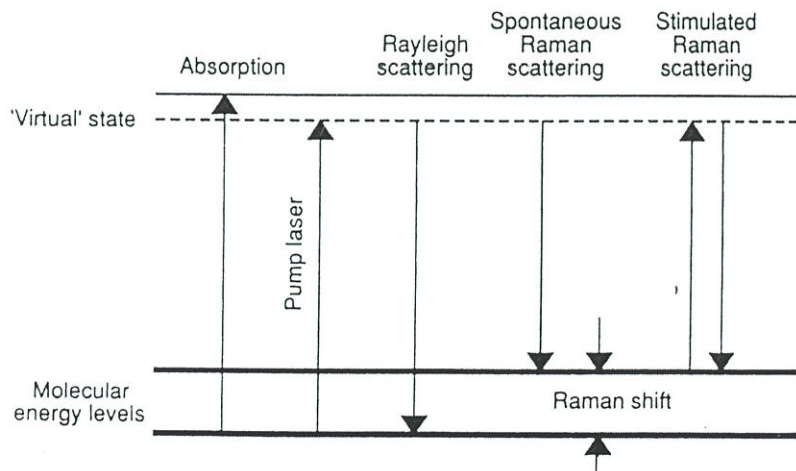
สมการนี้บอกให้เห็นว่า ถ้าจำนวนประชากรผกผัน ( $N_2 - N_1$ ) ยิ่งมากและแสงเดินทางในวัสดุไกลมาก ก็จะได้อัตราการขยายแสงมากขึ้นแบบเอกซ์โพเนนเชียล

## 2.6 การขยายสัญญาณแสงโดยใช้ใยแก้วนำแสง

เนื่องจากการสื่อสารผ่านระยะทางไกลๆ เช่น การส่งสัญญาณจากสถานีส่งไปยัง สถานีรับซึ่งจะมีขนาดของสัญญาณลดลงตามระยะทางที่เพิ่มขึ้น ดังนั้นเพื่อที่จะทำให้ขนาดสัญญาณมีค่าสูงพอที่จะให้การแปลงข้อมูลที่เครื่องรับมีได้ จึงต้องมีอุปกรณ์ขยายสัญญาณ ติดตั้งระหว่างสถานีรับและส่งตามจำนวนที่จำเป็น แต่เดิมการขยายขนาดของสัญญาณจะดำเนินการโดยวงจรอิเล็กทรอนิกส์ ซึ่งจะประกอบด้วย การแปลงสัญญาณจากแสงไปเป็นสัญญาณไฟฟ้า เพื่อนำสัญญาณดังกล่าวไปขยาย จากนั้นก็จะทำการแปลงสัญญาณไฟฟ้าไปเป็นสัญญาณแสงดั้งเดิมเพื่อส่งกลับเข้าไปในใยแก้วนำแสงต่อไปยังจุดหมายปลายทาง

โดยทั่วไปแล้ววงจรสำหรับขยายสัญญาณที่เป็นวงจรอิเล็กทรอนิกส์ มีข้อจำกัดทางด้านความเร็ว ซึ่งไม่เหมาะสมกับสภาวะการณ์เจริญเติบโตทางด้าน การสื่อสารที่นับวันจะต้องมีการส่งข้อมูลเพิ่มมากขึ้นเพื่อที่จะแก้ปัญหาดังกล่าว จึงได้มีการพัฒนาระบบการขยายสัญญาณในเชิงแสงขึ้นมาแทนเพราะระบบนี้ไม่มีข้อจำกัดในแง่ความจุข้อมูลมาเกี่ยวข้องเหมือนระบบอิเล็กทรอนิกส์ ระบบนี้รู้จักกันในนามอุปกรณ์ขยายสัญญาณทางแสงโดยใช้ใยแก้วนำแสง (Optical Fiber Amplifier) จะเป็นการขยายแบบรามาน (Raman Amplifier) และอีกแบบคือจะใช้ใยแก้วชนิดเอ็คทีฟ โดยจะเป็นใยแก้วนำแสงเออร์เบียมโดป (EDF) ซึ่งสามารถอธิบายในหัวข้อต่อไป

### 2.6.1 การขยายสัญญาณแบบรามาน (Raman Amplifier)



รูปที่ 2.16 แสดงไดอะแกรมระดับพลังงานของการที่เกิดในแกนเส้นใยแก้วนำแสง

จากรูปที่ 2.16 พลังงานของกระบวนการต่างๆ ที่เกิดขึ้นจะมีจำนวนเท่ากับพลังงานที่ดูดกลืน(Absorption)เข้าไป ถ้าพลังงานของโฟตอนมีค่าไม่เท่ากับพลังงานของการเปลี่ยนระดับพลังงานของโมเลกุล(Molecular energy levels) หลังจากโมเลกุลอยู่ในสถานะกระตุ้น จะทำให้เกิดสถานะเสมือน (Virtual State) ซึ่งจะเป็นสถานะที่ทำให้เกิดการเปลี่ยนระดับพลังงานมาที่สถานะพื้นแล้วให้โฟตอนออกมาที่ความยาวคลื่นเดียวกัน กระบวนการที่เกิดขึ้นนี้เป็นการกระเจิงแบบเรย์ลี (Rayleigh Scattering) ซึ่งเป็นพื้นฐานของกลไกที่ทำให้เกิดการสูญเสียในใยแก้วนำแสง อย่างไรก็ตาม พลังงานของโฟตอนที่ได้จากสถานะเสมือนจะมีพลังงานต่ำกว่าพลังงานที่โมเลกุลถูกกระตุ้นเมื่อถึงช่วงชีวิตจะทำให้โมเลกุลเปลี่ยนระดับพลังงานจากสถานะเสมือนกลับมาที่สถานะรามานชิฟท์(Raman Shift) โดยเกิดขึ้นเอง เป็นกระบวนการที่เรียกว่า " Spontaneous Raman Scattering " ความถี่ของโฟตอนที่กระตุ้นกับโฟตอนที่เกิดขึ้นเองจะมีความแตกต่างกันเนื่องจากเกิดการชิฟท์ของพลังงานรามาน จากความไม่เป็นเชิงเส้นของระบบ การเกิดประชากรผกผันระหว่างสถานะเสมือนกับสถานะสุดท้ายที่เกิดรามานชิฟท์ เมื่อถูกกระตุ้นด้วยโฟตอนแล้วทำให้เกิดการเปลี่ยนระดับพลังงานมาที่สถานะสุดท้ายก็จะเกิดการขยายแสงขึ้น โดยเรียกว่า "Stimulated Raman Scattering(SRS) " โดยจะเป็นการขยายแสงแบบรามาน

การขยายแบบรามาน เกิดขึ้นเมื่อมีการปั๊มด้วยเลเซอร์ที่ความยาวคลื่นที่เหมาะสม โดยสัญญาณแสงเลเซอร์เป็นตัวกระตุ้นให้ เกิดการกระเจิงแบบรามานขึ้น การสั่นของโมเลกุลของวัสดุที่แกนของใยแก้วนำแสงจะทำให้เกิดการชิฟท์แบบรามาน การขยายแบบรามานสามารถขยายได้หลายความยาวคลื่น ซึ่งจะขึ้นอยู่กับความยาวคลื่นของเลเซอร์ที่ใช้ปั๊ม การขยายโดยใช้ใยแก้วนำแสงชนิดนี้เป็นการขยายแบบไม่เป็นเชิงเส้น ซึ่งมีส่วนประกอบพื้นฐานคล้ายกับการขยายโดยใช้ใยแก้วนำแสงเออร์เบียมโดป คือ เลเซอร์ คู่ควบใยแก้วนำแสง และใยแก้วนำแสง

การขยายแบบรามาน เมื่อมีการป้อนเลเซอร์ที่ใช้ปั๊มเข้าไปในใยแก้วนำแสงจะทำให้เกิดการซ้อนทับของระดับพลังงานจากการทรานซิชัน สาเหตุเกิดจากโมเลกุลของวัสดุในแกนของใยแก้วนำแสงมีความแตกต่างกัน ซึ่งเรียกว่าเป็นพื้นผิวของรามาน(Raman Cross-section) ในใยแก้วนำแสงมาตรฐานสำหรับการสื่อสารจะมีเออร์มาเนียมประมาณ 4 %ของโมล ซึ่งจะทำให้เกิดรามานชิฟท์ของพลังงานไป  $420-450 \text{ cm}^{-1}$  ที่ความยาวคลื่น 1300 นาโนเมตร และ 1550 นาโนเมตร จะเกิดการเลื่อนความยาวคลื่นไป 80 นาโนเมตร และ 100 นาโนเมตร ตามลำดับ อัตราการขยายของการขยายแบบรามานมีสมการดังนี้

$$RamanGain[dB] = \frac{(10 \log_{10} e) K g L_c P}{A} \quad (2.13)$$

เมื่อ  $P$  คือ กำลังของเลเซอร์ปั๊ม

g คือ สัมประสิทธิ์ของอัตราขยายแบบรามาน

A คือ พื้นที่หน้าตัดของแสงในใยแก้วนำแสง(Fiber spot area)

K คือ ค่าคงที่สำหรับการออกแบบขึ้นอยู่กับโพลาไรซ์เซชัน

K = 1 สำหรับใยแก้วนำแสงที่มีการรักษาสถานะโพลาไรซ์เซชัน

K = 1/2 สำหรับใยแก้วนำแสงทั่วไป

$L_c$  คือ ความยาวของใยแก้วที่มีผลตอบสนอง (Effective length)

$L_c$  สามารถหาได้จากสมการดังนี้

$$L_c = \frac{1 - \exp(-\alpha_p L)}{\alpha_p} \quad (2.14)$$

เมื่อ L คือ ความยาวของใยแก้วนำแสง

$\alpha_p$  คือ ค่าการสะท้อนกำลังแสงที่ความยาวคลื่นของเลเซอร์ที่ใช้ปั๊ม

ถ้าเส้นใยแก้วนำแสงมีความยาวคลื่นมากๆ จะได้ว่า  $L_c$  มีค่าประมาณ  $1/\alpha_p$  จากสมการที่ 2.14 เราสามารถที่จะเพิ่มอัตราขยายโดยการลดพื้นที่หน้าตัดของแกนใยแก้วนำแสง และเพิ่มสัมประสิทธิ์ของอัตราขยายแบบรามาน โดยการเพิ่มปริมาณการเติมเจอร์มาเนียมในแกนของใยแก้วนำแสง แต่ในทางกลับกันก็จะเป็นการทำให้เกิดการสูญเสียกำลังมากขึ้น สามารถแก้ไขได้โดยใช้ใยแก้วสั้นลง ในกรณีปกติใยแก้วมาตรฐานจะมีการสูญเสียต่ำ และมีการเติมเจอร์มาเนียมในปริมาณต่ำในการขยายแบบรามานจะเป็นตัวช่วยให้ระบบมีคุณภาพที่ดีขึ้น ซึ่งต้องใช้ใยแก้วที่มีความยาวให้เหมาะสมกับปริมาณการเติมเจอร์มาเนียม ก็จะได้อัตราในการขยายสัญญาณสูงขึ้น

เราสามารถเปรียบเทียบการขยายสัญญาณแสงแบบรามานและแบบใช้ใยแก้วนำแสงเออร์เบียม โดปได้ดังตารางที่ 2.1 ดังนี้

ตารางที่ 2.1 แสดงการเปรียบเทียบการขยายแสงแบบรามานและแบบใช้ใยแก้วนำแสงเออร์เบียม

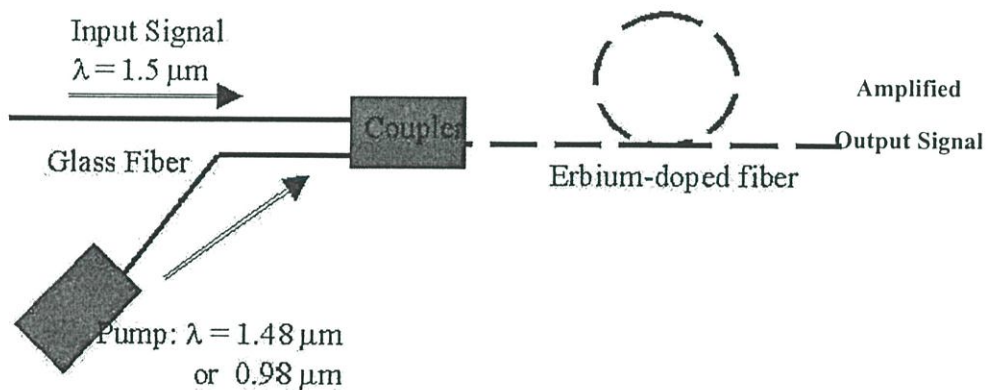
คุณสมบัติ	Raman Amplifier	EDF-Amplifier
ความยาวคลื่นที่ขยาย	ขึ้นอยู่กับเลือกความยาวคลื่นของเลเซอร์ที่ใช้ปั๊ม	ขึ้นอยู่กับสารที่ใช้เติม(Doped) ในแกนของใยแก้วนำแสง
แบนวิดซ์	48 นาโนเมตร สำหรับปั๊มหลายความยาวคลื่น	20 นาโนเมตร
อัตราขยาย	4-11 dB ที่กำลังของปั๊มและความยาวของใยแก้วที่เหมาะสม	20 dB ขึ้นอยู่กับการโดปที่ดี ความยาวของEDF และเลเซอร์ที่ใช้ปั๊ม

ตารางที่ 2.1 (ต่อ)

การอ้อมตัวของกำลัง	ขึ้นอยู่กับกำลังของเลเซอร์ปั๊ม	ขึ้นอยู่กับอัตราขยายและสารที่โดป
ความยาวคลื่นของเลเซอร์ที่ใช้ปั๊ม	ต่ำกว่าความยาวคลื่นของสัญญาณที่ต้องการขยาย 100 นาโนเมตร	980 นาโนเมตร หรือ 1480 นาโนเมตร

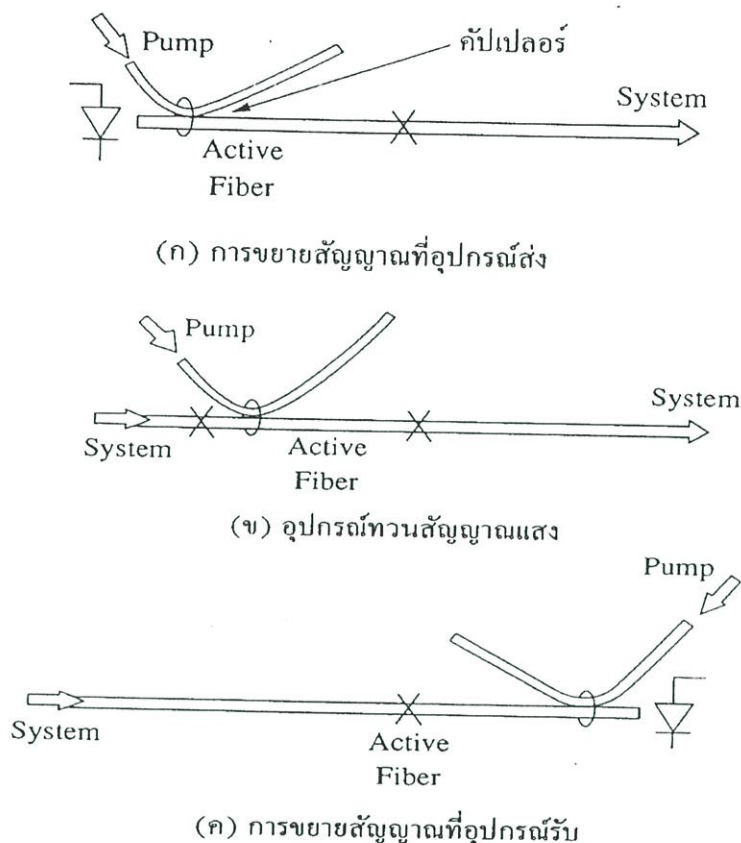
### 2.6.2 การขยายสัญญาณโดยใช้ใยแก้วนำแสงเออร์เบียมโดป

การขยายสัญญาณโดยใช้ใยแก้วนำแสงเออร์เบียมโดปจะมีโครงสร้างดังรูปที่ 2.17 โดยมีการป้อนแสงสองความยาวคลื่นผ่านคู่ควบใยแก้วนำแสงไปยังใยแก้วนำแสงเออร์เบียมโดป โดยมีสัญญาณแสงอินพุต(Input Signal) ความยาวคลื่น 1.5 ไมโครเมตร และมีเลเซอร์ที่ใช้ปั๊ม (Pump) ความยาวคลื่น 1.48 ไมโครเมตรหรือ 0.98 ไมโครเมตร แล้วก็จะได้สัญญาณแสงที่ถูกขยายเอาต์พุต (Amplified Output Signal)



รูปที่ 2.17 แสดงการขยายสัญญาณทางแสง

ใยแก้วเออร์เบียมโดป (Erbium Doped Fiber Amplifiers; EDFA) ทำโดยการเติมธาตุในกลุ่มแรเอิร์ท (Rare Earth) คือเออร์เบียม (Erbium) ที่อยู่ในรูปของออกไซด์เข้าไประหว่างชั้นตอนการประดิษฐ์ที่รู้จักกันในเลเซอร์ใยแก้ว(Fiber Laser) ซึ่งทำให้ปัญหาที่เคยมีกับตัวขยายสัญญาณแบบสารกึ่งตัวนำหมดไป การเติมสารเจือให้กับเส้นใยแก้วนำแสงนั้นท่อนำคลื่นที่ได้จะมีความสมมาตร และสามารถนำมาเชื่อมต่อเข้ากับใยแก้วนำแสงโดยให้การลดทอนสัญญาณที่จุดต่อที่ต่ำซึ่งจะมีลักษณะในการขยายสัญญาณแสงดังรูปที่ 2.18

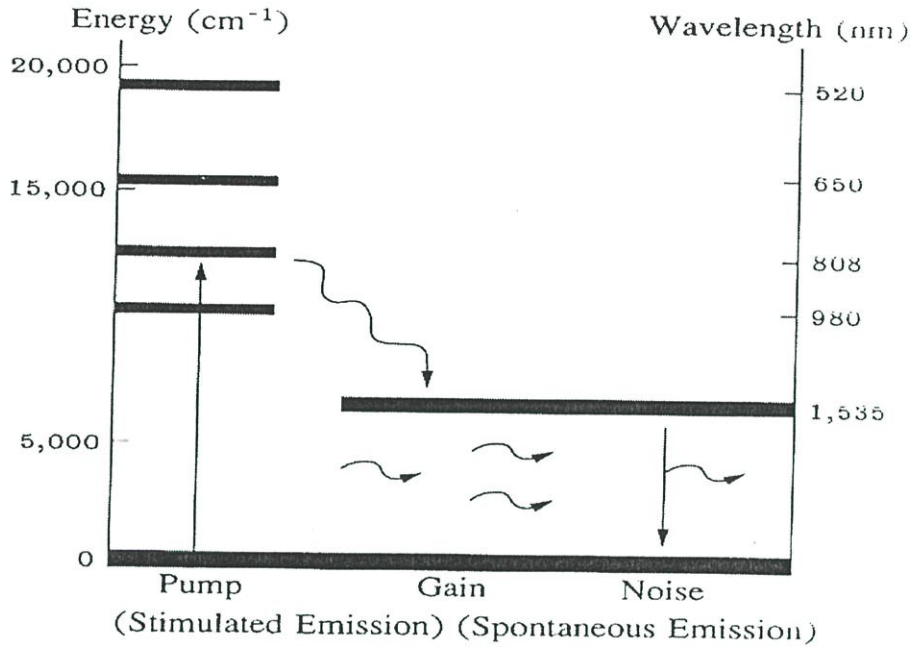


รูปที่ 2.18 แสดงอุปกรณ์ในการขยายสัญญาณแสงลักษณะต่างๆ

จากรูปที่ 2.19 แสดงระดับพลังงานของเออร์เบียมในแก้ว การดูดกลืนแสงโดยอิเล็กตรอนในสถานะพื้นฐานจะทำให้อิเล็กตรอนขึ้นไปอยู่ในที่สูงกว่าระดับเลเซอร์ทันที ในสถานะเลเซอร์นี้จะมีช่วงชีวิตที่ยาวและกระทำตัวเหมือนชั้นสะสมอิเล็กตรอน โฟตอนที่มีความยาวคลื่น 1535 นาโนเมตร จะถูกกระตุ้นด้วยโฟตอนที่เหมือนกันและออกมาเป็นเลเซอร์หรือมีการขยายสัญญาณเกิดขึ้นพิจารณาจากไดอะแกรมของระดับพลังงานของแถบสเปกตรัม เลเซอร์ที่ใช้ปั๊มจะนำมาใช้งานได้ดีที่สุดจะมีอยู่สองความยาวคลื่นคือ 980 นาโนเมตร และที่ 1460 - 1490 นาโนเมตร ซึ่งที่ 980 นาโนเมตร จะมีอัตราขยาย  $3.9 \text{ dBmW}^{-1}$  ใช้เลเซอร์ไดโอดที่เป็น GaAlAs เป็นตัวกระตุ้น ส่วนที่ 1460 - 1490 นาโนเมตรจะมีอัตราขยายอยู่ที่  $2.2 \text{ dBmW}^{-1}$  ใช้เลเซอร์ไดโอดที่เป็น GaAsP เป็นตัวกระตุ้น

อัตราขยายสูงสุดที่ทำได้ของตัวขยายสัญญาณแบบนี้ทำได้ถึง 46.5 dB โดยการกระตุ้นที่ความยาวคลื่น 1480 นาโนเมตร พลังงาน 133 mW และอัตราขยาย 25 - 40 dB โดยการกระตุ้นที่ความยาวคลื่น 980 นาโนเมตร พลังงาน 40-100 mW การขยายสัญญาณโดยใช้ใยแก้วจะมีการสูญเสียต่ำเนื่องจากรอยต่อ ทำให้การขยายสัญญาณที่ได้มีค่าใกล้เคียงกับค่าจริงเมื่อนำไปใช้งานแต่ค่า

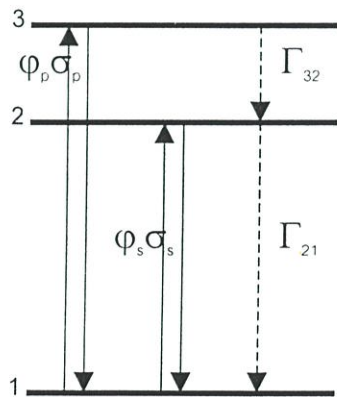
แบนวิททางแสงมีค่าจำกัดมากกว่าของตัวขยายสัญญาณแบบสารกึ่งตัวนำทำให้มีค่าอิมพัลส์ของเอาต์พุตต่ำ ที่ -5 ถึง +3 dB



รูปที่ 2.19 แสดงระดับพลังงานของเออร์เบียม

### 2.7 การขยายสัญญาณแบบ 3 ระดับพลังงานของใยแก้วนำแสงเออร์เบียมโดป

การขยายสัญญาณโดยใช้ใยแก้วนำแสงเออร์เบียมโดปเราจะพิจารณากระบวนการขยายโดยการพิจารณาจากระบบพลังงานในอะตอมของเออร์เบียมแบบสามระดับ ซึ่งจะเป็นโมเดลที่บอกถึงลักษณะที่สำคัญ กลไกที่เกิดขึ้นจะประกอบไปด้วย การกระตุ้นโดยคลื่นแสงที่มีความยาวคลื่นที่เหมาะสมหรือเรียกว่าการปั๊ม เราสามารถพิจารณาได้จากสมการซึ่งจะมีความซับซ้อน ผลที่เกิดขึ้นจากการดูดกลืนพลังงานของอิเล็กตรอนทำให้เปลี่ยนระดับพลังงานไปอยู่ในสถานะกระตุ้น ลักษณะที่เกิดขึ้นจะเป็นปัญหาแบบสามมิติ



รูปที่ 2.20 แสดงระดับพลังงานของการขยายแบบ 3 ระดับ

จากรูปที่ 2.20 เป็นระบบที่มีสามระดับพลังงาน ระดับ 1 คือสถานะพื้น (Ground State) ระดับที่ 3 คือสถานะกระตุ้น (Intermediate State) เป็นระดับที่ถูกกระตุ้นโดยแสงที่ปั๊ม จะมีช่วงชีวิตที่สั้นซึ่งจะลงไปอยู่ที่ระดับที่ 2 ระดับที่ 2 คือสถานะกึ่งเสถียร (Metastable State) เป็นระดับที่มีช่วงชีวิตที่ยาว จะเป็นผลดีต่อการขยายสัญญาณ ระดับที่ 2 นี้จะเป็นระดับที่เมื่อมีการเปลี่ยนระดับพลังงานมาที่ระดับที่ 1 จะเกิดการขยายสัญญาณเกิดขึ้น จะตรงกับความยาวคลื่นที่ 1550 นาโนเมตร จำนวนประชากรของอิเล็กตรอนในแต่ละระดับพลังงานเราจะแทนด้วย  $N_1, N_2, N_3$  ตามลำดับ จากระดับพลังงานในแต่ละระดับจะตรงกับระดับพลังงานในอะตอมของ  $Er^{3+}$  กระบวนการขยายสัญญาณแสงเกิดขึ้น คือจะต้องทำให้เกิดประชากรผกผัน (Population Inversion) ขึ้นในระหว่างระดับพลังงานที่ 1 และ 2 ที่ระดับพลังงานที่ 1 จะเป็นสถานะพื้น ซึ่งการกระตุ้นจะทำให้เกิดจำนวนอิเล็กตรอนของเออร์เบียมมีจำนวนมากขึ้นที่ระดับพลังงานที่ 2 แสงที่ใช้ในการปั๊มต้องมีกำลังมากกว่ากำลังขีดเริ่ม (Threshold pump power) จึงจะทำให้เกิดการขยายสัญญาณ ซึ่งจะมีลักษณะคล้ายกับการทำให้เกิดเลเซอร์ในระบบสามระดับพลังงาน

ในการพิจารณาขอบเขตที่สำคัญคือแสงเดินทางไปในใยแก้วนำแสงที่มีแกนขนาดเล็กความเข้มของแสงมีค่าเพิ่มขึ้น สมมุติให้การกระจายของแสงในใยแก้วมีความสม่ำเสมอเมื่อเคลื่อนที่ไปในระยะทางที่ไกลขึ้น ซึ่งจะเกิดประชากรผกผันมากขึ้นด้วย เราจะพิจารณาในระบบ 1 มิติ คือให้การแสงเดินทางไปตามทิศทางความยาวของใยแก้ว และแสงตกกระทบตามพื้นที่หน้าตัดของใยแก้ว การเดินทางของแสงจะทำให้เกิดการกระจายตัวของอิเล็กตรอนของ  $Er^{3+}$  เพื่อทำให้เกิดการขยายสัญญาณแสง

เมื่อแสงที่ปั๊มเดินทางเข้าไปในใยแก้วนำแสงซึ่งจะทำให้อิเล็กตรอนเปลี่ยนระดับพลังงานจาก 1 ไป 3 เราแทนฟลักซ์ของแสงนั้นด้วย  $\phi_p$  และเราแทนฟลักซ์ของแสงที่มีการเปลี่ยนระดับพลังงานจาก 2 ไป 1 เป็น  $\phi_s$  จะเป็นฟลักซ์ของสัญญาณ ที่เปลี่ยนระดับพลังงานไปสู่ระดับที่สูงขึ้น โดยจะได้รับพลังงานจากการดูดกลืนพลังงานจากโฟตอนของแสงที่ตกกระทบ เราจะแทนโอกาสที่อิเล็กตรอนจะเปลี่ยนระดับพลังงานจากระดับที่ 3 มาที่ 2 ด้วย  $\Gamma_{32}$  ซึ่งการเปลี่ยนระดับพลังงานนี้จะไม่มีการแผ่คลื่นแสงออกมาเนื่องจากมีช่วงชีวิตที่สั้นมาก และ  $\Gamma_{21}$  คือโอกาสที่อิเล็กตรอนจะเปลี่ยนระดับพลังงานจากระดับที่ 2 มาที่ 1 การเปลี่ยนระดับพลังงานจากระดับที่ 2 มาที่ 1 จะแผ่คลื่นแสง และ  $\Gamma_{21} = 1/\tau_2$  เมื่อ  $\tau_2$  คือช่วงชีวิตของระดับพลังงานที่ 2  $\sigma_p$  คือพื้นที่หน้าตัดในการดูดกลืนแสงที่มีการเปลี่ยนระดับพลังงานจากระดับ 1 ไป 3 และ  $\sigma_s$  คือพื้นที่หน้าตัดในการแผ่คลื่นแสงที่มีการเปลี่ยนระดับพลังงานจากระดับ 2 ไป 1 เราจะได้สมการอัตราการเปลี่ยนแปลงประชากรดังนี้

$$\frac{dN_3}{dt} = -\Gamma_{32}N_3 + (N_1 - N_3)\phi_p\sigma_p \quad (2.15)$$

$$\frac{dN_2}{dt} = -\Gamma_{21}N_2 + \Gamma_{32}N_3 - (N_2 - N_1)\phi_s\sigma_s \quad (2.16)$$

$$\frac{dN_1}{dt} = \Gamma_{21}N_2 - (N_1 - N_3)\phi_p\sigma_p + (N_2 - N_1)\phi_s\sigma_s \quad (2.17)$$

เมื่ออะตอมอยู่ในสภาวะคงตัวเราจะได้ว่า

$$\frac{dN_1}{dt} = \frac{dN_2}{dt} = \frac{dN_3}{dt} = 0 \quad (2.18)$$

จำนวนประชากรรวมทั้งหมด  $N$

$$N = N_1 + N_2 + N_3 \quad (2.19)$$

จากสมการที่ 2.15 เราจะสามารถเขียนสมการแสดงจำนวนประชากรในระดับพลังงานที่ 3  
ดังนี้

$$N_3 = \frac{1}{1 + \Gamma_{32} / \phi_p\sigma_p} N_1 \quad (2.20)$$

เนื่องจากการเปลี่ยนระดับพลังงานจากระดับที่ 3 มาที่ 2 เกิดขึ้นอย่างรวดเร็ว เราจะได้ว่า  $\Gamma_{32}$  จะมีค่ามาก และ  $N_3$  มีค่าเข้าใกล้ศูนย์ ซึ่งประชากรส่วนใหญ่จะอยู่ที่ระดับพลังงานที่ 1 และ 2 จากสมการที่ 2.20 นำไปแทนในสมการที่ 2.17 เราจะได้ว่า

$$N_2 = \frac{(\phi_p\sigma_p / \Gamma_{32}) + \phi_s\sigma_s}{\Gamma_{21} + \phi_s\sigma_s} N_1 \quad (2.21)$$

จากสมการที่ 2.20 เราจะได้ว่าจำนวนประชากรผกผัน  $N_2 - N_1$  เป็นดังนี้

$$N_2 - N_1 = \frac{\phi_p\sigma_p - \Gamma_{21}}{\Gamma_{21} + 2\phi_s\sigma_s + \phi_p\sigma_p} N \quad (2.22)$$

จากเงื่อนไขของระบบที่เกิดประชากรผกผันคือ  $N_2 \geq N_1$  ดังนั้นฟลักซ์ของแสงชนิดเริ่มที่  
ใช้ปั๊ม ทำให้เกิดประชากรผกผันขึ้น พิจารณาจาก  $N_1 = N_2$  จะได้ดังนี้

$$\phi_{th} = \frac{\Gamma_{21}}{\sigma_p} = \frac{1}{\tau_2 \sigma_p} \quad (2.23)$$

ในกรณีที่ ความเข้มของสัญญาณแสงมีค่าน้อยๆ ค่าของ  $\Gamma_{32}$  จะมีค่ามากเมื่อเปรียบเทียบกับอัตราการเปลี่ยนระดับพลังงานจากการปั๊ม เราจะได้ว่าประชากรผกผันจะมีค่าเป็นดังนี้

$$\frac{N_2 - N_1}{N} = \frac{\phi_p' - 1}{\phi_p' + 1} \quad (2.24)$$

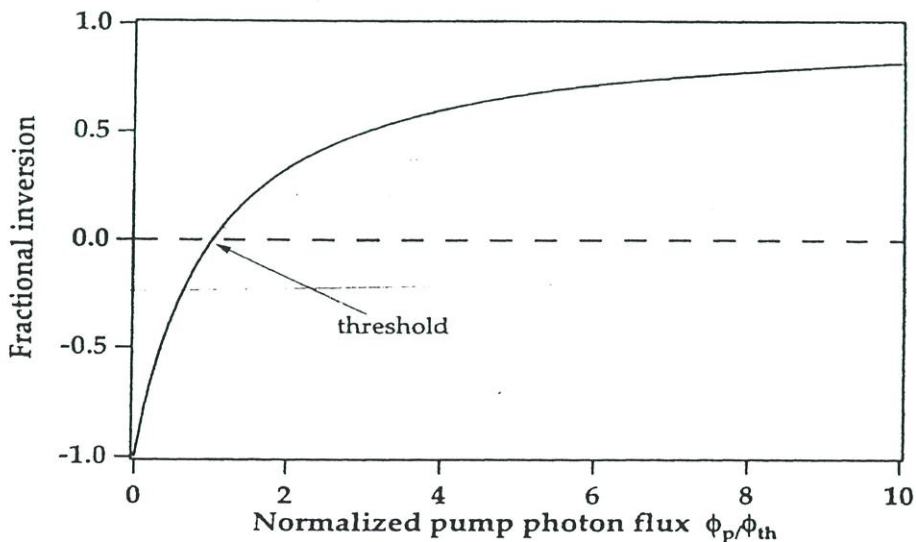
เมื่อ

$$\phi_p' = \frac{\phi_p}{\phi_{th}} \quad (2.25)$$

จากสมการที่ 2.25 เราสามารถที่จะนำไปพล็อตกราฟแสดงอัตราส่วนประชากรผกผันซึ่งแสดงดังรูปที่ 2.21 พลิกซ์ของปั๊มมีค่าน้อยกว่าค่าขีดเริ่มจะได้ค่าที่เป็นลบ ถ้าพลิกซ์ของปั๊มมีค่ามากกว่าค่าขีดเริ่มจะได้ค่าเป็นบวก ประชากรผกผันที่มีค่าเป็นลบเมื่อมีสัญญาณแสงเข้ามาจะมีการดูดกลืนสัญญาณ จะเกิดการลดทอนสัญญาณ มีอัตราในการขยายที่เป็นลบ และประชากรผกผันที่มีค่าเป็นบวกเมื่อมีสัญญาณแสงเข้ามา ก็จะมีการขยายสัญญาณ มีอัตราในการขยายที่เป็นบวกนั่นเอง

ความเข้มของแสงที่ใช้ปั๊มมีค่าเป็น  $I_p = h\nu_p \phi_p$  เราจะได้ความเข้มแสงขีดเริ่มของแสงที่ปั๊มเป็นดังสมการ

$$I_{th} = \frac{h\nu_p \Gamma_{21}}{\sigma_p} = \frac{h\nu_p}{\sigma_p \tau_2} \quad (2.26)$$



รูปที่ 2.21 แสดงสัดส่วนของประชากรผกผัน ( $(N_2 - N_1)/N$ )

จากสมการที่ 2.26 บอกว่าถ้า  $\sigma_p$  และ  $\tau_2$  มีค่ามากเท่าไรก็จะมีผลดี ช่วงชีวิตที่ยาวจะทำให้เราใช้กำลังของแสงที่ใช้ปั๊มน้อยลง ซึ่งจะเป็นการรับประกันว่ากำลังแสงที่ปั๊มเพียงพอที่จะทำให้ประชากรส่วนใหญ่ไปอยู่ในระดับพลังงานที่ 2

สำหรับเออร์เบียมที่โดปในแก้วซิลิกาเราจะได้ว่าช่วงชีวิตของระดับพลังงานที่ 2 ( $\tau_2$ ) เป็นค่าที่มากพอ ซึ่งมีค่าประมาณ 10 ms แสงที่ใช้ปั๊มจะเป็นแสงเลเซอร์ที่มีความยาวคลื่น 980 nm และ  $\sigma_p = 2 \times 10^{-21} \text{ cm}^2$  เราจะได้ความเข้มขีดเริ่มของเลเซอร์ปั๊มจะมีค่าเป็น  $I_{th} \approx 10 \text{ kw} / \text{cm}^2$  และพื้นที่หน้าตัดของแกนใยแก้ว  $A_{eff} = 5 \mu\text{m}^2$  ดังนั้นเราจะได้กำลังแสงขีดเริ่มของปั๊ม  $P_{th} = I_{th} A_{eff} \approx 0.5 \text{ mW}$

### 2.7.1 อัตราขยายสัญญาณน้อยสุด

เราจะมาพิจารณา จำนวนประชากร  $N, N_1, N_2, N_3$  ซึ่งความหนาแน่นของประชากรจะเป็นจำนวนอิเล็กตรอนต่อปริมาตร แสงที่เดินทางไปในตัวกลางก็จะเกิดอัตรากับอิเล็กตรอนในตัวกลาง เรากำหนดให้  $I_s$  คือความเข้มของสัญญาณแสง และ  $I_p$  คือความเข้มของแสงที่ใช้ปั๊ม โฟตอนฟลักซ์จะมีค่าดังสมการ

$$\phi_s = \frac{I_s}{h\nu_s} \quad (2.27)$$

และ

$$\phi_p = \frac{I_p}{h\nu_p} \quad (2.28)$$

การเคลื่อนที่ของแสงไปตามแนวความยาวของใยแก้วให้เป็น  $z$  เราสามารถที่จะเขียนสมการแสดงความสัมพันธ์ระหว่างกำลังและความเข้มของแสงดังนี้

$$I(z) = \frac{P(z)\Gamma}{A_{eff}} \quad (2.29)$$

เมื่อ  $\Gamma$  คือแฟกเตอร์ของการซ้อนทับกัน  $A_{eff}$  คือพื้นที่หน้าตัด(Effect Area) ในการพิจารณาเราจะสมมติให้ ลำแสงของปั๊มเดินทางไปในทิศทางเดียว ซึ่งจะเกิดการลดทอนกำลังแสงหรือการขยายเกิดขึ้น เราจะหาอนุพันธ์ของฟลักซ์ของแสงเทียบกับ  $Z$  จากการดูคลื่นพลังงานของอิเล็กตรอนเปลี่ยนระดับพลังงานจากสถานะพื้น  $N_1$  ไปสู่สถานะกระตุ้น  $N_2, N_3$  ได้ดังนี้

$$\frac{d\phi_s}{dz} = (N_2 - N_1)\sigma_s\phi_s \quad (2.30)$$

$$\frac{d\phi_p}{dz} = (N_3 - N_1)\sigma_p\phi_p \quad (2.31)$$

ซึ่งสามารถที่จะนำไปคำนวณแล้วจะได้สมการแสดงอัตราการเปลี่ยนความเข้มของสัญญาณแสงต่อความยาวได้ดังนี้

$$\frac{dI_s}{dz} = \frac{\sigma_p I_p - \Gamma_{21}}{\Gamma_{21} + 2 \frac{\sigma_s I_s}{h\nu_s} + \frac{\sigma_p I_p}{h\nu_p}} \sigma_s I_s N \quad (2.32)$$

และจะได้สมการแสดงการลดทอนของแสงที่ใช้ปั๊มดังนี้

$$\frac{dI_p}{dz} = - \frac{\sigma_s I_s + \Gamma_{21}}{\Gamma_{21} + 2 \frac{\sigma_s I_s}{h\nu_s} + \frac{\sigma_p I_p}{h\nu_p}} \sigma_p I_p N \quad (2.33)$$

จากสมการที่ 2.32 เงื่อนไขในการที่จะเกิดการขยายสัญญาณจะต้องเป็นดังนี้

$$I_p \geq I_{th} = \frac{h\nu_p}{\sigma_p \tau_2} \quad (2.34)$$

นอร์มอลไลซ์ความเข้มของแสงกับความเข้มขีดเริ่มของปั๊มได้ดังนี้

$$I'_p = \frac{I_p}{I_{th}} \quad (2.35)$$

$$I'_s = \frac{I_s}{I_{th}} \quad (2.36)$$

กำหนดให้

$$\eta = \frac{h\nu_p}{h\nu_s} \frac{\sigma_s}{\sigma_p} \quad (2.37)$$

และความเข้มอิ่มตัวจะได้ดังนี้

$$I_{sat}(z) = \frac{1 + I'_p(z)}{2\eta} \quad (2.38)$$

ดังนั้นเราจะเขียนสมการกระจายของความเข้มแสงจากความเข้มแสงที่นอมอลไลซ์ได้ดังนี้

$$\frac{dI'_s(z)}{dz} = \frac{1 + \eta I'_s(z)}{1 + I'_s(z)/I_{sat}(z)} \left( \frac{I'_p(z) - 1}{I'_p(z) + 1} \right) \sigma_s I'_s(z) \mathcal{N} \quad (2.39)$$

และสำหรับปั๊ม

$$\frac{dI'_p(z)}{dz} = - \frac{1 + \eta I'_s(z)}{1 + 2\eta I'_s(z) + I'_p(z)} \sigma_p I'_p(z) \mathcal{N} \quad (2.40)$$

สัญญาณแสงที่วิ่งเข้าไปในใยแก้วจะมีการขยายเกิดขึ้นเมื่อกำลังของปั๊มต้องมากกว่ากำลังแสงซิคเริ่ม ( $I_p \geq I_{th}$ ) ภายใต้เงื่อนไขอัตราขยายน้อยสุด เมื่อ  $I'_s \ll I_{sat}$  และสมมุติให้ความเข้มของเลเซอร์ปั๊มมีค่าคงที่และใยแก้วมีความเหมือนกันทุกส่วน เราจะได้สมการการกระจายของสัญญาณแสงซึ่งเป็นฟังก์ชันของความยาวของใยแก้วดังนี้

$$I'_s(z) = I'_s(0) \exp(\alpha_p z) \quad (2.41)$$

กำหนดให้สัมประสิทธิ์ของอัตราขยาย คือ

$$\alpha_p = \frac{I'_p - 1}{I'_p + 1} \sigma_s \mathcal{N} \quad (2.42)$$

การขยายสัญญาณจะเพิ่มขึ้นแบบเอ็กโพเนนเชียล ซึ่งจะเป็นปฏิภาคโดยตรงกับจำนวนของอิเล็กตรอนที่เกิดประชากรผกผัน เนื่องจากความเข้มของแสงที่ปั๊มมีค่ามากเราสามารถที่จะประมาณค่าสัมประสิทธิ์ของอัตราเป็นดังนี้

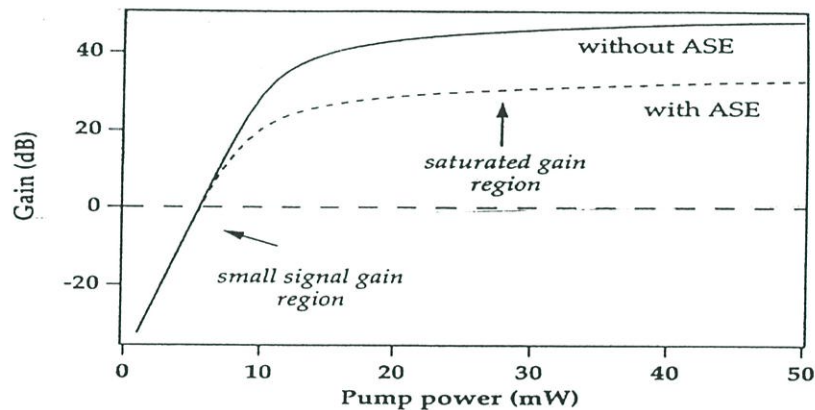
$$\alpha_p = \sigma_s \mathcal{N} \quad (2.43)$$

### 2.7.2 ขอบเขตของการอิมพัลส์

เมื่อสัญญาณอินพุตมีกำลังมากพอที่จะทำให้เกิดการขยายถึงจุดอิมพัลส์ ก็จะได้สัญญาณ  $I'_s$  มีค่าเข้าใกล้  $I_{sat}$  ซึ่งเราสามารถที่จะแสดงได้ดังสมการ

$$\frac{dI'_s}{dz} = I_{sat} \left( \frac{I'_p - 1}{I'_p + 1} \right) \sigma_s N \quad (2.44)$$

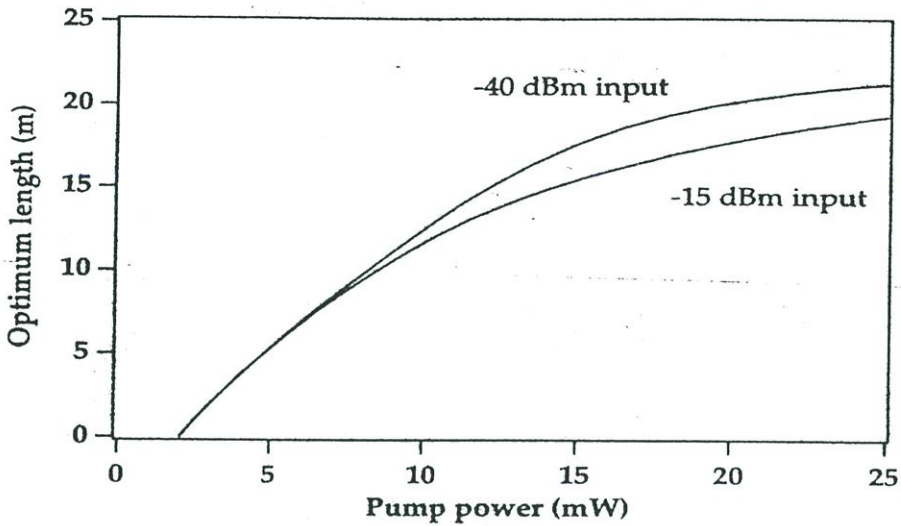
จากรูปที่ 2.22 เป็นอัตราในหน่วย dB ซึ่งเป็นฟังก์ชันของกำลังของเลเซอร์ปั๊ม อัตราของการขยายที่ใช้ใยแก้วยาว L เราจะนิยามจาก  $G = 10 \log(I(z=L)/I(z=0))$  รูปที่ 2.23 จะใช้ใยแก้วนำแสงเออร์เบียมโคปยาว 15 เมตร สัญญาณแสงความยาวคลื่น 1550 nm กำลัง -40 dBm ใช้เลเซอร์ปั๊มความยาวคลื่น 980 nm จะแสดงผลกระทบที่เกิดจาก ASE ( Amplifier Spontaneous Emission ) ซึ่งจะทำให้อัตราลดลงเนื่องจากเกิดการรบกวนกับสัญญาณแสง จากกราฟจะเห็นว่า  $I_{sat}$  จะไม่คงที่เมื่อความกำลังของเลเซอร์ปั๊มเพิ่มขึ้น การให้กำลังของปั๊มที่เพียงพอจะทำให้รักษาสภาพประชากรผกผัน ก็จะทำให้กำลังของสัญญาณที่สูงและขอบเขตของการอิมิตัวที่สูงด้วย



รูปที่ 2.22 แสดงอัตราขยายที่ความยาวคลื่น 1550 nm สัญญาณอินพุต -40 dBm

### 2.7.3 ความยาวของใยแก้วนำแสงที่ได้อัตราขยายสูงสุด

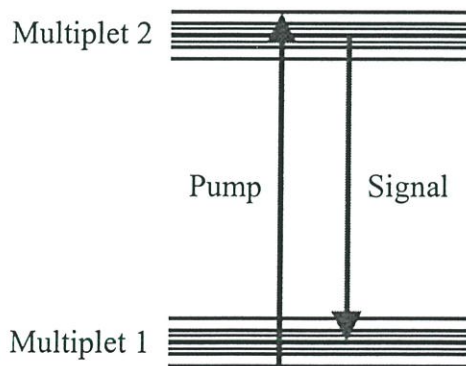
การพิจารณาหาความยาวของใยแก้วที่จะได้อัตราขยายสูงสุดนั้นจะต้องคำนึงถึงกำลังของเลเซอร์ที่ใช้ปั๊ม แสงที่เดินทางในแกนของใยแก้วนั้นจะมีความเข้มลดลงตามระยะทางที่เพิ่มขึ้น ซึ่งกำลังของเลเซอร์ที่ใช้ปั๊มจะลดลงจนมีค่าเท่ากับค่ากำลังขีดเริ่มของปั๊ม ( $I_{th}$ ) ที่ความยาวของใยแก้วจุดนี้จะเป็นความยาวสูงสุดที่ทำให้ได้กำลังขยายสูงสุดด้วย ถ้าใยแก้วนำแสงยาวมากกว่านั้นก็จะเกิดการลดทอนสัญญาณเกิดขึ้นเนื่องจากส่วนที่เกินไปนั้นจะมีกำลังของแสงที่ปั๊มน้อยกว่า  $I_{th}$  ถ้าเราพิจารณาอัตราขยายในแต่ละจุดตามความยาวของใยแก้ว ( $z$ ) ในช่วงแรกของใยแก้วนำแสงก่อนถึงความยาวสูงสุดจะมีอัตราขยายเป็นบวก ส่วนที่ยาวกว่านั้นจะมีอัตราขยายเป็นลบ ซึ่งแสดงดังรูปที่ 2.23 เป็นกราฟแสดงความยาวของใยแก้วที่ได้อัตราขยายสูงสุด ซึ่งจะขึ้นอยู่กับกำลังของเลเซอร์ปั๊ม (Pump Power)



รูปที่ 2.23 แสดงความยาวของใยแก้วที่ได้อัตราขยายสูงสุด ความยาวคลื่น 1550 nm สัญญาณอินพุต -40 dBm และ -15 dBm ได้จากการจำลองโดยใช้วิธีนิวเมอรัลคอลใช้ปั๊มความยาวคลื่น 980 nm

2.8 การขยายสัญญาณแบบ 2 ระดับพลังงานของใยแก้วนำแสงเออร์เบียมโดป

การขยายสัญญาณแบบนี้จะใช้ลักษณะของความเป็นแถบพลังงานของอะตอมคือ ที่ระดับพลังงานนั้นจะมีระดับพลังงานที่อยู่ข้างเคียง( Multiplet System ) โดยจะมี 2 ระดับพลังงาน ดังรูปที่ 2.24 Multiplet 1 เป็นสถานะพื้น และ Multiplet 2 เป็นสถานะกระตุ้น ที่ระดับพลังงานที่ทำให้เกิดการขยายสัญญาณจะอยู่ที่ระดับที่สองดังนั้นการปั๊มก็ต้องให้อิเล็กตรอนขึ้นไปในระดับพลังงานที่สูงกว่า



รูปที่ 2.24 แสดงระดับพลังงานที่มีระดับพลังงานข้างเคียง( Multiplet System ) แบบ 2 ระดับ

ในระบบ 2 ระดับนี้จะใช้เลเซอร์ที่ใช้ปั๊มความยาวคลื่น 1480 nm ให้จำนวนประชากรที่ระดับพลังงานที่ 1 เป็น  $N_1$  และระดับที่ 2 เป็น  $N_2$  ดังนั้นเราจะได้สมการแสดงจำนวนประชากรของอิเล็กตรอนดังนี้

$$\frac{dN_2}{dt} = -\Gamma_{21}N_2 + (N_1\sigma_s^{(a)} - N_2\sigma_s^{(e)})\phi_s - (N_2\sigma_p^{(e)} - N_1\sigma_p^{(a)})\phi_p \quad (2.45)$$

$$\frac{dN_1}{dt} = \Gamma_{21}N_2 + (N_2\sigma_s^{(e)} - N_1\sigma_s^{(a)})\phi_s - (N_1\sigma_p^{(a)} - N_2\sigma_p^{(e)})\phi_p$$

เมื่อ  $\sigma_s^{(a)}, \sigma_s^{(e)}, \sigma_p^{(a)}, \sigma_p^{(e)}$  คือพื้นที่หน้าตัดของสัญญาณและปั๊ม ที่ดูดกลืนและแผ่รังสีของสัญญาณแสงและแสงที่ปั๊ม จำนวนประชากรทั้งหมดคือ

$$N = N_1 + N_2 \quad (2.46)$$

ดังนั้น

$$\frac{dN_1}{dt} = -\frac{dN_2}{dt} \quad (2.47)$$

ความหนาแน่นของประชากรซึ่งจะเป็นฟังก์ชันของตำแหน่งตามความยาวของใยแก้ว  $z$  ดังสมการ

$$N_2(z) = \frac{\frac{\tau\sigma_s^{(a)}}{h\nu_s} I_s(z) + \frac{\tau\sigma_p^{(a)}}{h\nu_p} I_p(z)}{\frac{\tau(\sigma_s^{(a)} + \sigma_s^{(e)})}{h\nu_s} I_s(z) + \frac{\tau(\sigma_p^{(a)} + \sigma_p^{(e)})}{h\nu_p} I_p(z)} N \quad (2.48)$$

โดยทั่วไปเราจะสมมุติ  $N$  เป็นอิสระต่อกับความยาว  $z$  การกระจายของแสงที่ปั๊มกับสัญญาณแสงมีสมการดังนี้

$$\frac{dI_p(z)}{dz} = (N_2\sigma_p^{(e)} - N_1\sigma_p^{(a)})I_p(z) \quad (2.49)$$

$$\frac{dI_s(z)}{dz} = (N_2\sigma_s^{(e)} - N_1\sigma_s^{(a)})I_s(z) \quad (2.50)$$

การกระตุ้นให้เกิดการแผ่คลื่นออกมาจากระดับพลังงานที่ 2 นั้นจะทำให้แสงมีขนาดโตขึ้นจะเป็นการขยายสัญญาณแสง ส่วนการดูดกลืนพลังงานที่ระดับพลังงานที่ 1 แสงที่ใช้ปั๊มจะมีกำลังลดลง

จากเงื่อนไขของการเกิดประชากรผกผัน คือ  $N_2 - N_1 > 0$  จะต้องให้กำลังแสงที่ปั๊มมีค่ามากกว่า กำลังแสงซิคเริ่มของปั๊มดังสมการ

$$I_{th} = \frac{h\nu_p}{(\sigma_p^{(a)} - \sigma_p^{(e)})\tau_2} \quad (2.51)$$

กำลังแสงซิคเริ่มของปั๊มจะมีลักษณะเช่นเดียวกับอัตราของสัญญาณแสง ( $dI_s/dz > 0$ ) ดังสมการ

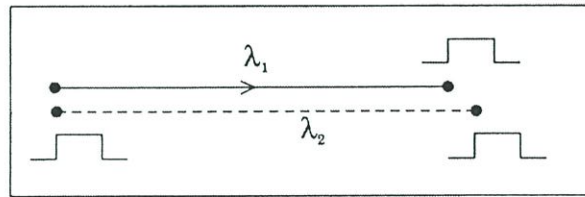
$$I_{th} = \frac{h\nu_p}{\tau_2} \frac{1}{\sigma_p^{(a)} \left( \frac{\sigma_s^{(e)}}{\sigma_s^{(a)}} \right) - \sigma_p^{(e)}} \quad (2.52)$$

## 2.9 การกระจายในใยแก้วนำแสง

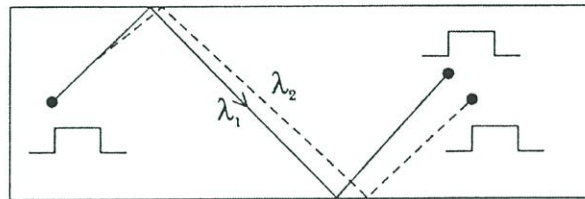
ขณะที่พัลส์เดินทางไปตามเส้นใยแก้วนั้น พัลส์แต่ละแบบจะขยายกว้างออกและทับกับพัลส์ที่อยู่ใกล้เคียงทำให้เกิดความผิดพลาดเกิดขึ้นที่เอาต์พุต การเกิดปรากฏการณ์เช่นนี้เรียกว่า การเกิดการกระจายของพัลส์ (Dispersion) กลไกที่ทำให้เกิดการกระจาย มี 3 ชนิด คือ การกระจายเชิงวัสดุ (Material Dispersion) การกระจายของท่อนำคลื่น (Waveguide Dispersion) และการกระจายเชิงโหมด (Mode Dispersion) ดังรูปที่ 2.25

### 2.9.1 การกระจายเชิงวัสดุ

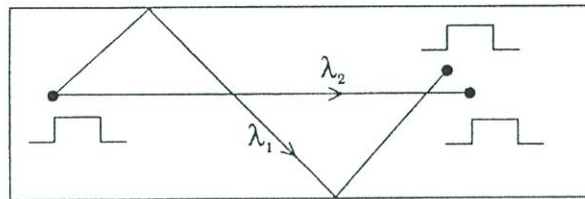
การกระจายแบบนี้เกิดขึ้นเนื่องจากดัชนีหักเหของซิลิกาที่ทำใยแก้วนำแสงเปลี่ยนแปลงตามความยาวคลื่นของแสงที่เดินทางผ่าน จึงทำให้ความเร็วของแสงในซิลิกาเปลี่ยนแปลงตามความยาวคลื่น ในขณะที่เดียวกันแสงที่มาจากแหล่งกำเนิดแสงเช่น LED หรือ LD จะมีความยาวคลื่นไม่คงที่เพียงความยาวคลื่นเดียวจึงทำให้แสงที่ได้จากแหล่งกำเนิดแสงมีความกว้างของสเปกตรัม ( $\Delta\lambda$ ) ขึ้น ดังรูปที่ 2.26



(ก) การกระจายเชิงวัสดุ

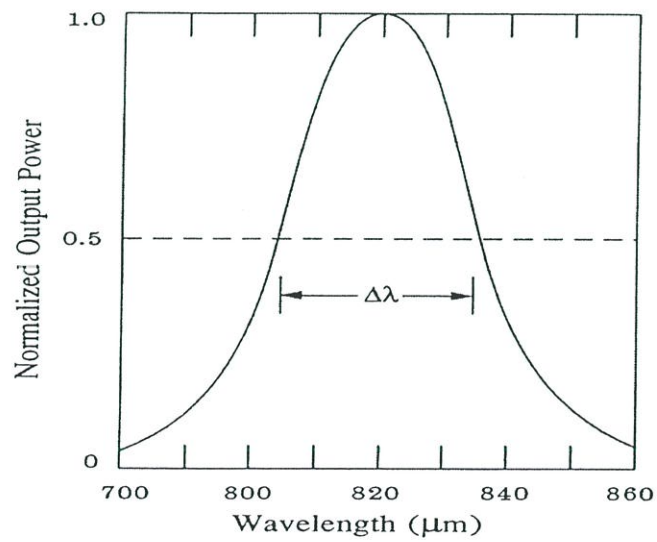


(ข) การกระจายของท่อนำคลื่น



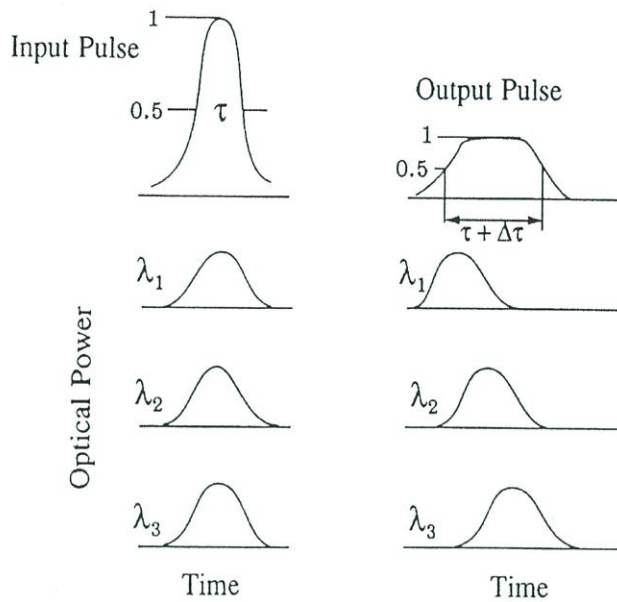
(ค) การกระจายเชิงโหมด

รูปที่ 2.25 แสดงการเกิดการกระจายของพัลส์สัญญาณแบบต่างๆ



รูปที่ 2.26 แสดงสเปกตรัมของแหล่งกำเนิดแสง

ดังนั้น พัลส์ที่เกิดจากแสงที่มีความยาวคลื่นต่างกันจะมีความเร็วในซิติกาที่แตกต่างกัน เราพบว่าคือพัลส์ที่เกิดจากแสงคนละความยาวคลื่นจะเดินทางถึงจุดปลายในเวลาต่างกัน ดังแสดงในรูปที่ 2.27



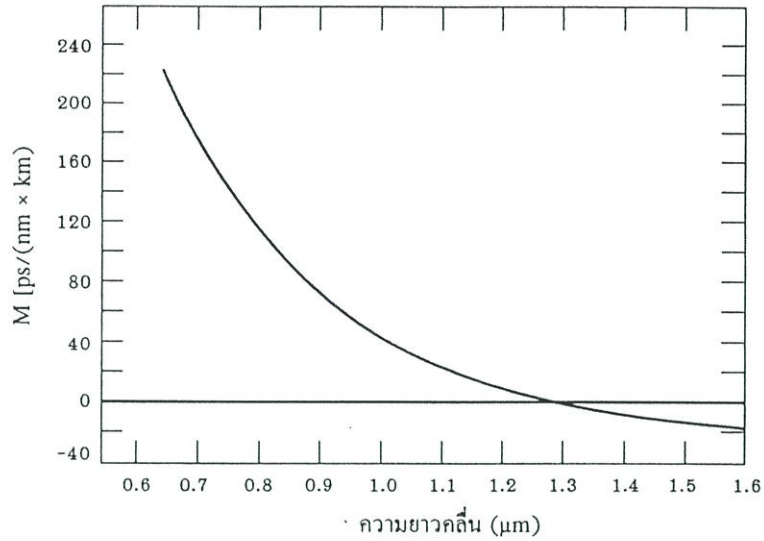
รูปที่ 2.27 แสดงการเกิดกระจายของพัลส์

ความกว้างของพัลส์ ( $\Delta\lambda$ ) ที่เพิ่มขึ้นต่อหนึ่งหน่วยความยาว ( $L$ ) สามารถหาได้จากสมการ

$$\begin{aligned} \frac{\Delta\tau}{L} &= \frac{\lambda}{c} n\Delta\lambda \\ &= -M\Delta\lambda \end{aligned} \quad (2.53)$$

เมื่อ  $\lambda$  คือ ความยาวคลื่นของแหล่งกำเนิดแสง  $c$  คือความเร็วแสงในสุญญากาศ  $n$  คือค่าดัชนีหักเหของวัสดุที่ทำใยแก้ว  $M$  คือค่าการกระจายเชิงวัสดุ และ  $\Delta\lambda$  คือความกว้างของสเปกตรัมของแหล่งกำเนิดแสงโดยที่ค่า  $M$  จะมีค่าสัมพันธ์กับความยาวคลื่น ดังแสดงในรูปที่ 2.28 ตัวอย่างการคำนวณหาความกว้างของพัลส์ที่เพิ่มขึ้น โดยพิจารณาในระบบเชื่อมสัญญาณที่ใช้เส้นใยแก้วนำแสงชนิดซิติกายาว 2 กิโลเมตร ความยาวคลื่น 850 นาโนเมตร และแหล่งกำเนิดแสง LED มีความกว้างของสเปกตรัม เท่ากับ 30 นาโนเมตร และมีค่า  $M$  ตามรูปที่ 2.28 เท่ากับ 90 ps/nm/km คือ

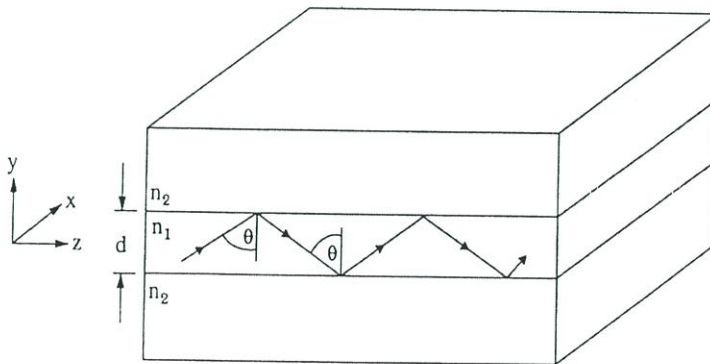
$$\begin{aligned} \Delta\tau &= -M\Delta\lambda L \\ &= 90 \text{ ps/nm/km} \times 30 \text{ nm} \times 2 \text{ Km} \\ &= 5.4 \text{ ns} \end{aligned} \quad (2.54)$$



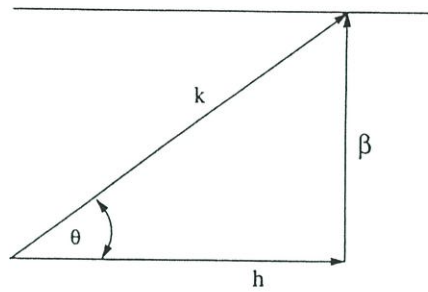
รูปที่ 2.28 แสดงการเกิดการกระจายเชิงวัสดุ

### 2.9.2 การกระจายท่อนำคลื่น

การกระจายแบบนี้จะขึ้นอยู่กับความยาวคลื่นเช่นเดียวกับกระจายเชิงวัสดุ เพื่อให้เข้าใจการกระจายแบบนี้จะต้องกล่าวถึงทางเดินของแสงโหมดต่างๆ ในท่อนำคลื่น โดยการสมมติว่ามีท่อนำคลื่นที่ไม่เป็นตัวนำไฟฟ้าดังแสดงในรูปที่ 2.29 เมื่อแสงเคลื่อนที่ผ่านชั้นกลางที่มีดัชนีหักเห  $n_1$  ซึ่งชั้นนี้จะบางมากและมีความหนาเท่ากับ  $d$  โดยชั้นที่อยู่บนและล่างจะมีค่าดัชนีหักเห  $n_2$  และ  $n_3$  ตามลำดับ กรณีที่  $n_2 = n_3$  เรียกว่าเป็นโครงสร้างที่สมมาตร ถ้าให้  $K$  เป็นแฟกเตอร์ของการแพร่ (Propagation Factor) ในตัวกลางที่มีดัชนีหักเห  $n_1$  โดยที่  $K$  จะมีค่าเป็น  $K = K_0 n_1$  เมื่อ  $K_0$  คือเป็นแฟกเตอร์ของการแพร่ในอากาศ



รูปที่ 2.29 แสดงลักษณะการกระจายในท่อนำคลื่น



รูปที่ 2.30 แสดงมุมตกกระทบและทางเดินของแสง

ถ้าแสงเดินทางทำมุมตกกระทบ  $\theta$  ดังรูปที่ 2.30 ก็จะสามารถกระจายทางเดินของแสงให้อยู่ในแนวตรงได้ และถ้าให้  $\beta$  เป็นแฟกเตอร์ของการแพร่ในแนวตรงซึ่งทำให้ได้ว่า

$$\beta = K \sin \theta = K_0 n_1 \sin \theta \quad (2.55)$$

และ 
$$h = K \cos \theta \quad (2.56)$$

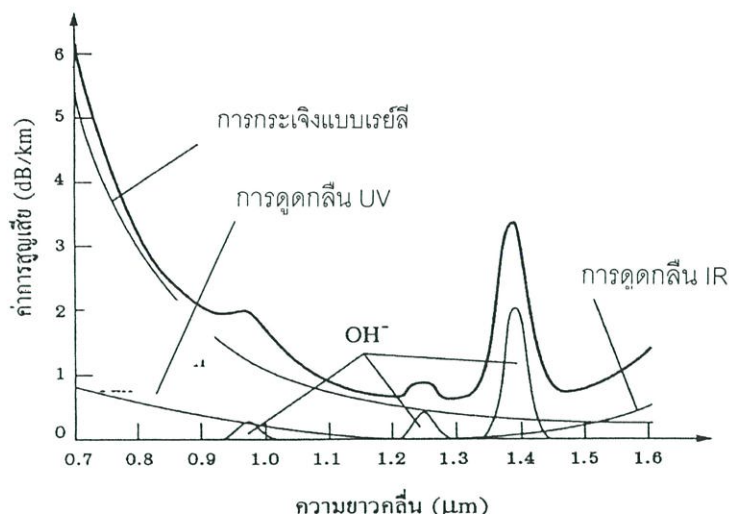
ในที่นี้  $\beta$  เรียกว่าแฟกเตอร์ของการแพร่ตามยาว (Longitudinal) และให้  $n_{\text{eff}}$  คือ ดัชนีเอฟเฟกทีฟ (Effective Refractive Index) ซึ่งเท่ากับ  $n_1 \sin \theta$  โดยที่  $n_{\text{eff}}$  จะเป็นพารามิเตอร์ที่กำหนดโหมดต่างๆ ในการเคลื่อนที่ของแสง เมื่อค่า  $\theta$  มีค่าอยู่ระหว่าง  $\theta_c$  และ  $90^\circ$  ดังนั้น  $n_{\text{eff}}$  จะมีค่าอยู่ระหว่าง  $n_2$  และ  $n_1$

## 2.10 การลดทอน

กำลังของแสงจากแหล่งกำเนิดแสง ( $P_i$ ) ถูกส่งเข้าไปในใยแก้วนำแสงยาว  $L$  กิโลเมตรแล้ว กำลังของแสงที่ออกจากเส้นใยแก้วนำแสง ( $P_o$ ) เมื่อพิจารณา  $P_o < P_i$  โดยทั่วไปแล้วการสูญเสียกำลังของแสงในใยแก้วนำแสงจะถูกกำหนดเป็นค่าสัมประสิทธิ์ของการลดทอน (Attenuation Coefficient,  $\alpha$ ) ซึ่งมีหน่วยเป็นเดซิเบลต่อกิโลเมตร ซึ่งแทนด้วยความสัมพันธ์คือ

$$\alpha L = -10 \log \frac{P_o}{P_i} \quad (2.58)$$

เมื่อการลดทอนกำลังของแสงในใยแก้วนำแสงนั้นมีผลมาจากการดูดกลืนแสงของในส่วนของแกนหรือเคลด การสะท้อนของรังสีของแสง และการโค้งงอของใยแก้วนำแสง



รูปที่ 2.31 แสดงการลดทอนของแสงในใยแก้วนำแสงสัมพันธ์กับความยาวคลื่น

### 2.10.1 การดูดกลืนของวัสดุ

พิจารณาการดูดกลืนในแก้วซิลิกาที่บริสุทธิ์ จากรูปที่ 2.31 จะเห็นว่าแก้วซิลิกาที่บริสุทธิ์จะดูดกลืนแสงน้อย และจะเห็นว่าอยู่ในช่วงของความยาวคลื่นระหว่าง 0.8 ถึง 1.6 ไมครอน จึงเป็นเหตุผลหนึ่งที่ทำให้ในช่วงความยาวคลื่นดังกล่าวถูกเลือกเพื่อใช้งานทางด้านสื่อสาร การดูดกลืนแบบนี้จะมีค่ามากบริเวณความยาวคลื่นในช่วงของอัลตราไวโอเล็ต(Ultraviolet ,UV) และอินฟราเรด (Infrared , IR)

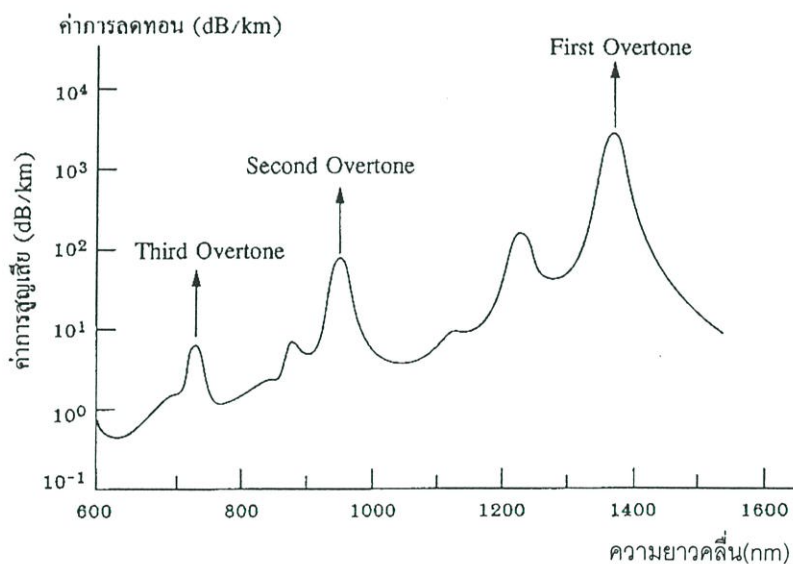
### 2.10.2 การดูดกลืนจากภายนอก

การลดทอนของแสงที่เกิดจากการดูดกลืนแสงนี้เกิดจากการที่แสงที่ใช้ผลิตเส้นใยแก้วนำแสงนั้นมีสารอื่นเจือปนอยู่ทำให้เกิดการดูดกลืนของแสงขึ้น โดยทั่วไปแล้วจะมีการดูดแสงอันเนื่องมาจากแก้วและสารเจือปน ตัวอย่าง เช่น กรณีที่มีสารเจือปนอยู่ 1 ในล้านส่วนก็จะทำให้เกิดการดูดกลืนแสงที่มีค่าดังตารางที่ 2.2

เทคนิคการผลิตใยแก้วนำแสงสมัยใหม่นั้นสามารถลดอัตรการดูดกลืนของสารเจือปนพวกนี้ได้จนถึงระดับที่ไม่มีผลต่อการดูดกลืนได้ อย่างไรก็ตามอัตราของการดูดกลืนตัวหนึ่งที่ไม่สามารถขจัดได้ก็คือ ไฮดรอกซิล (Hydroxyl,OH) ดังแสดงในรูปที่ 2.32 จุดยอดของการสั่นพื้นฐานของอัตรการดูดกลืนไฮดรอกซิล จะเกิดที่ค่าความยาวคลื่นประมาณ 2.27 ไมโครเมตร และแสดงพื้นฐานการสั่นที่ 4.2 ไมโครเมตร ซึ่งการสั่นพื้นฐานนี้จะทำให้เกิดโอเวอร์โทน (Overtone) ที่ฮาร์โมนิกต่างๆ ดังนี้ (First Overtone) 1.38 ไมโครเมตร , (Second Overtone) 0.95 ไมโครเมตรและ (Third Overtone) 0.72 ไมโครเมตร และเมื่อรวมระหว่างการสั่นพื้นฐานและโอเวอร์โทนจะได้จุดยอดที่ 1.24 , 1.13 และ 0.88 ไมโครเมตรตามลำดับ

ตารางที่ 2.2 การสูญเสียจากการดูดกลืนและความยาวคลื่นต่างๆ ของสารเจือปน

สารเจือปน	ความยาวคลื่น ( nm)	ค่าการสูญเสีย (dB/Km)
Cr <sup>3+</sup>	625	1.6
C <sup>2+</sup>	685	0.1
Cu <sup>2+</sup>	850	1.1
Fe <sup>+</sup>	1100	0.68
Fe <sup>3+</sup>	400	0.15
Ni <sup>2+</sup>	650	0.1
Mn <sup>3+</sup>	460	0.2



รูปที่ 2.32 แสดงการดูดกลืนจากไฮดรอกซิล

### 2.10.3 การสูญเสียจากการโค้งงอ

การสูญเสียแบบโค้งงอ (Bending Loss) แบ่งออกเป็น 2 ชนิด คือ การโค้งงอชนิดมหภาค หรือแมโครเบนด (Macrobend) ที่มีรัศมีของส่วนโค้งมากกว่า 10 มิลลิเมตร และการโค้งงอชนิดจุลภาคหรือไมโครเบนด (Microbend) ที่มีรัศมีของส่วนโค้งน้อยกว่า 10 มิลลิเมตร การโค้งงอชนิดแมโครเบนดจะเกิดขึ้นเมื่อเส้นใยแก้วม้วนอยู่รอบหลอดม้วน เนื่องมาจากการถูกโค้งงอตามมุมต่างๆ การเกิดการสูญเสียอันเนื่องมาจากโค้งงอแบบนี้รัศมีของแสงที่เคลื่อนที่ในใยแก้วตรงบริเวณที่

โค้งงอ ซึ่งทำให้แสงตกกระทบตรงรอยต่อระหว่างแกน และเคลด ที่มีค่าน้อยกว่ามุมวิกฤต จึงทำให้รังสีของแสงกระจายออกไปนอกเส้นใยแก้วดังแสดงในรูปที่ 2.33

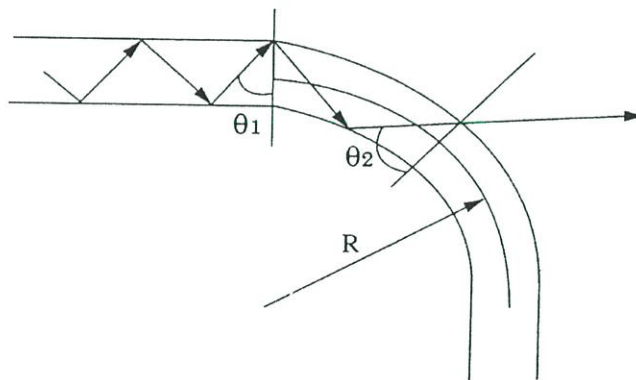
พิจารณาการสูญเสียจากไมโครเบนด์ คือ

$$L_f = N \langle h^2 \rangle \frac{a^4}{D^6 \lambda^3} \left[ \frac{E_b}{E_f} \right]^{3/2} \quad (2.58)$$

N	คือ	จำนวนโค้งของการโค้งงอต่อความยาว
h	คือ	ส่วนสูงเฉลี่ยของเคเบิลที่โค้งงอ
D	คือ	เส้นผ่านศูนย์กลางกลางภายนอกของเคเบิลใยแก้วนำแสง
a	คือ	รัศมีของแกนใยแก้วนำแสง
$\lambda$	คือ	ความยาวคลื่นของแหล่งกำเนิดแสง
$E_b$	คือ	ค่าอีลาสติกโมดูลัสของใยแก้ว
$E_f$	คือ	ค่าอีลาสติกโมดูลัสของเคเบิล

พิจารณาค่าการสูญเสียจากแมคโครเบนด์ แปรผันกับ  $\exp^{-R/R_c}$

R	คือ	รัศมีของการโค้งงอ
เมื่อ $R_c = a/(NA)^2$		
A	คือ	รัศมีของแกนใยแก้ว
NA	คือ	นิวเมอริคัลแอปเจอร์



$\theta_1$  และ  $\theta_2$  คือมุมตกกระทบของแสงภายในใยแก้วนำแสง

รูปที่ 2.33 แสดงทางเดินของแสงในใยแก้วนำแสงที่โค้งงอ

การสูญเสียของกำลังแสงจะมีค่าต่ำสำหรับแสงที่มีความยาวคลื่นต่ำ และถ้าผลต่างของค่าดัชนีหักเหระหว่างแกนและเคลดมีค่ามากก็จะทำให้การสูญเสียมีค่าสูง เส้นใยแก้วชนิดโหมคเดียว

ทำงานที่ความยาวคลื่นยาวๆ จะไวต่อการสูญเสียต่อการโค้งงอ และเส้นใยแก้วที่ถูกพันอยู่รอบแกน มีรัศมี 10 เซนติเมตร ซึ่งนับว่าสั้นนั้นก็ยังสามารถแก้ไขได้โดยการตัดใยแก้วนำแสงส่วนที่โค้งงอทิ้งไป การโค้งงอ เช่น รัศมีของแกน จุดต่อระหว่างแกน และแคลดที่ขรุขระ เป็นต้น ซึ่งเป็นผลมาจากกระบวนการผลิตนอกจากนั้นการที่เส้นผ่านศูนย์กลางของเส้นใยแก้วไม่เท่ากันตลอดทั้งเส้นก็ทำให้แสงบางส่วนกระจายออกมาจากใยแก้วนำแสงได้เช่นกัน

#### 2.10.4 การลดทอนรวม

พิจารณาค่าสัมประสิทธิ์ของการลดทอนทั้งหมด ( $\alpha$ ) ตามสมการ

$$\alpha = \alpha_A + \alpha_B + \alpha_C \quad (2.60)$$

เมื่อ  $\alpha_A, \alpha_B$  และ  $\alpha_C$  คือค่าสัมประสิทธิ์ของการลดทอนภายในใยแก้วนำแสงที่แสงเดินทางผ่านไปตำแหน่ง A, B และ C ค่าการลดทอนที่วัดได้สำหรับเส้นใยแก้วชนิดโหมดเดียว จะพบว่าการลดทอนต่ำสุดจะอยู่ที่ความยาวคลื่น  $\lambda = 1.55$  ไมโครเมตร ซึ่งมีค่าประมาณ 0.2 เดซิเบล / กิโลเมตร จึงเป็นเหตุหนึ่งที่เกิดใยแก้วได้ทะเลใช้ที่ความยาวคลื่น 1.55 ไมโครเมตรเพื่อให้มีการสูญเสียต่ำที่สุด

#### 2.10.5 การลดทอนและวัสดุใยแก้ว

พี ซี เอส (Plastic Clad Silica, PCS) เป็นเส้นใยแก้วที่มีการสูญเสียสูงมากซึ่งบั่นผลเนื่องจากการดูดกลืนของแคลด ทั้งนี้เพราะเส้นใยพลาสติก (Plastic Fiber) จะมีการสูญเสียมากที่สุด ใยแก้วฟลูออไรด์ (Fluoride Glass Fiber) จะมีการสูญเสียในช่วงความยาวคลื่นของอินฟราเรดที่มีค่าต่ำกว่าเส้นใยแก้วชนิดอื่นๆ จึงทำให้สามารถใช้ในช่วงความยาวคลื่นมากกว่า 1.6 ไมโครเมตร เดียวกันก็สามารถลดการสะท้อนเรย์ลีที่ความยาวคลื่นยาวๆ ได้ด้วย

การแบ่งความยาวคลื่นแสงในระบบการสื่อสารนั้นจะสามารถแบ่งตามความยาวคลื่นได้ดังนี้

**O-Band** (Original band) อยู่ในช่วงความยาวคลื่น 1260–1360 นาโนเมตร

**S-Band** (Short Wavelength Band) อยู่ในช่วงความยาวคลื่น 1360-1530 นาโนเมตร

**C-Band** (Conventional Wavelength Band) อยู่ในช่วงความยาวคลื่น 1530-1565 นาโนเมตร

**L-Band** (long Wavelength Band) อยู่ในช่วงความยาวคลื่น 1565–1625 นาโนเมตร

## 2.11 เลเซอร์ไดโอด

เลเซอร์ไดโอดนั้นมีหลายชนิดในตอนนี้เราจะกล่าวถึงเลเซอร์ไดโอดแบบสารกึ่งตัวนำและแบบควอนตัมเวลล์

### 2.11.1 เลเซอร์ชนิดสารกึ่งตัวนำ

เลเซอร์อีกชนิดหนึ่งที่มีความสำคัญมากคือ เลเซอร์ชนิดสารกึ่งตัวนำ (Semiconductor) หรือ เลเซอร์ไดโอด (Laser Diode) ซึ่งมีการผลิตเป็นรอยต่อ p-n โครงสร้างแบบเฮเทโร และสามารถทำงานได้ที่อุณหภูมิห้อง และเมื่อใช้โครงสร้างแบบดับเบิลเฮเทโร (Double Heterjunction) ทำให้เลเซอร์ไดโอดทำงานได้ที่อุณหภูมิห้อง และเปล่งแสงแบบต่อเนื่อง (CW) ได้และมีอายุการใช้งานยาวนาน

เลเซอร์ไดโอดมีโครงสร้างรอยต่อแบบ p-n ทำจากสารประกอบกึ่งตัวนำ เช่น GaAs, InP มีขนาดเล็กมาก ถึงประคิษฐ์มีปริมาตรเพียงไม่ถึง 1 ลูกบาศก์มิลลิเมตร บรรจุอยู่ในกล่องโลหะ (Metal Package) ที่มีขาติดอยู่เพื่อใช้ป้อนกระแสไฟฟ้า

คุณสมบัติเด่นของเลเซอร์ไดโอดซึ่งเลเซอร์ชนิดอื่นไม่มีได้แก่

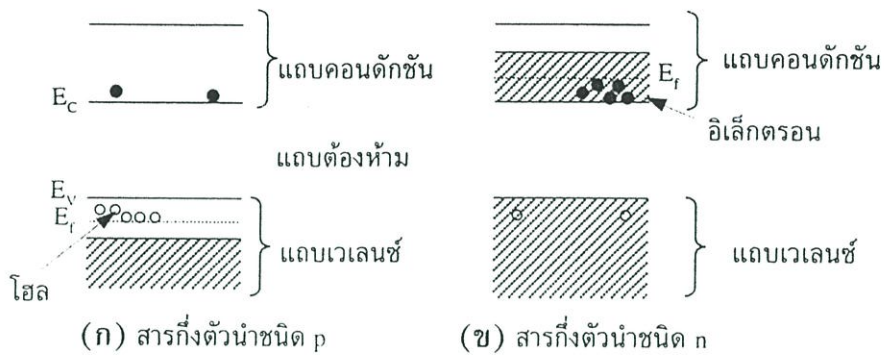
- 1) มีขนาดเล็กและเบา
- 2) มีประสิทธิภาพสูง
- 3) สามารถมอดูเลตความเข้มของการเปล่งแสงด้วยกระแสไฟฟ้าได้โดยตรง
- 4) มีอายุการใช้งานยาวนาน
- 5) ผลิตจำนวนมากได้ง่ายและราคาถูก

ปัจจุบันเลเซอร์ไดโอดถูกนำไปใช้งานอย่างกว้างขวาง เช่น การสื่อสารด้วยแสง เลเซอร์ดีสก์ ซีดีรอม การแพทย์ การบันเทิง ฯลฯ

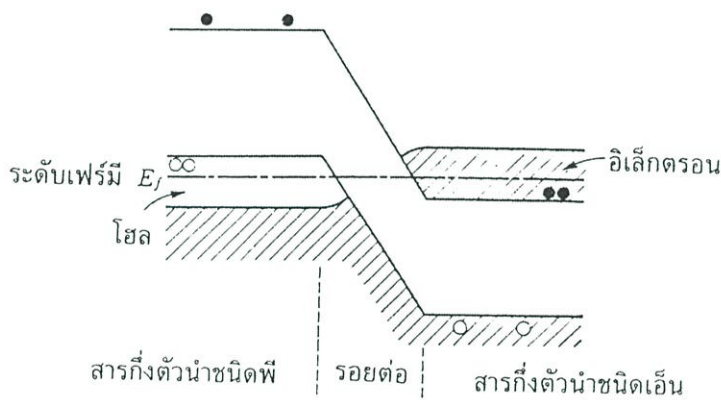
**กลไกการเปล่งแสงของเลเซอร์ไดโอด** โครงสร้างพื้นฐานของเลเซอร์ไดโอด คือ รอยต่อ p-n ของสารกึ่งตัวนำที่มีช่องว่างพลังงานแบบตรง (Direct Band Gap) เช่น GaAs สารเจือปนสำหรับชนิด p ได้แก่ Zn หรือ Be และสารเจือปนสำหรับชนิด n ได้แก่ Te หรือ Si ลักษณะของแถบพลังงานของสารกึ่งตัวนำชนิด p และ n แสดงในรูปที่ 2.34 เนื่องจากในการโคปสารเจือปนนั้นจะโคปมาก ดังนั้นพลังงานเฟอร์มี ( $E_F$ ) จึงล้เข้าไปในแถบเวเลนซ์ สำหรับชนิด p และเข้าไปในแถบคอนดักชันสำหรับชนิด n เราเรียกสารกึ่งตัวนำที่โคปมากเช่นนี้ว่า “Degenerated Semiconductor” เมื่อนำสารกึ่งตัวนำทั้ง 2 ชนิด มาสร้างเป็นรอยต่อ p-n แบบไดโอดจะได้แถบพลังงานดังที่แสดงในรูปที่ 2.35

ในการกระตุ้นพาหะเพื่อให้เกิดเลเซอร์นั้น จะใช้วิธีฉีดกระแสไฟฟ้าจากภายนอกให้ไหลเข้าสู่รอยต่อ p-n โดยป้อนแรงดันไฟฟ้าไบแอสตรง คือ ป้อนแรงดันบวกเข้าด้าน p และป้อนแรง

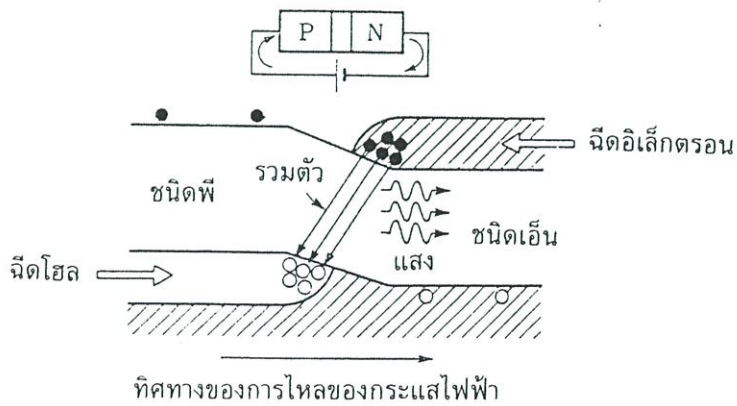
คลื่นเข้าด้าน n จะทำให้แถบพลังงานเปลี่ยนไปดังรูปที่ 2.36 อิเล็กตรอนจะไหลเข้าด้าน n เข้าสู่รอยต่อ และโฮลจะไหลจากด้าน p เข้าสู่รอยต่อ



รูปที่ 2.34 ลักษณะแถบพลังงานของสารกึ่งตัวนำที่โคปสารเจือปนด้วยความเข้มข้นสูงมาก

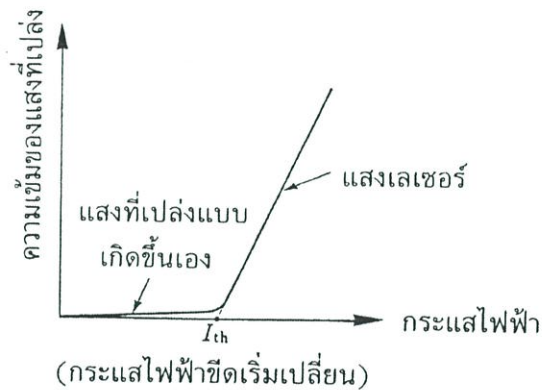


รูปที่ 2.35 รอยต่อพีเอ็นที่โคปสารเจือปนด้วยความเข้มข้นสูงมาก



รูปที่ 2.36 รอยต่อพีเอ็นที่กำเนิดแสงเลเซอร์ในเลเซอร์ไดโอด

ที่บริเวณรอยต่อจะมีคู่ของอิเล็กตรอนและโฮลเกิดขึ้นจำนวนมากเมื่ออิเล็กตรอนและโฮลรวมตัวกัน (Recombine) จะเกิดการเปล่งแสงออกมาด้วยพลังโฟตอนเท่ากับช่องพลังงานของของรอยต่อ ( $E_g = h\nu$ ) หลักการเปล่งแสงเช่นนี้คล้ายกับกรณีของ LED แต่การทำให้เกิดเลเซอร์จะต้องฉีดกระแสไฟฟ้าให้มากเป็นพิเศษดังที่แสดงในรูปที่ 2.37 ถ้ากระแสไฟฟ้ามีน้อย การเปล่งแสงจะเป็นแบบเกิดขึ้นเอง (Spontaneous) และเมื่อเพิ่มกระแสไฟฟ้าให้สูงกว่ากระแสไฟฟ้าขีดเริ่มเปลี่ยน (Threshold Current ;  $I_{th}$ ) จะเกิดปรากฏการณ์ประชากรผกผัน (Population Inversion) กล่าวคือถ้าจำนวนคู่ของอิเล็กตรอนและโฮลมีมากกว่าค่าหนึ่งๆ ก็จะทำให้เกิดการรวมตัวของอิเล็กตรอนและโฮลและเกิดการเปล่งแสงเร่งเร้า (Stimulated Emission) ที่ด้านข้างภายนอกของรอยต่อ p-n จะถูกออกแบบให้เป็นผิวมันแบบกระจก ให้ทำหน้าที่เป็นออปติคัลเรโซเนเตอร์ (Optical Resonator) แสงที่สะท้อนกลับไปมาภายในเรโซเนเตอร์นี้ จะกลายเป็นแสงเลเซอร์วิ่งเข้าสู่ภายนอกในที่สุด

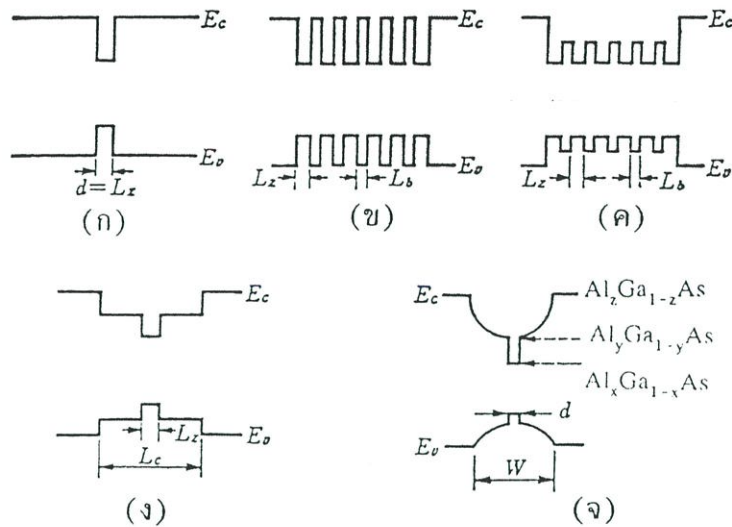


รูปที่ 2.37 ลักษณะสมบัติของความสัมพันธ์ของความเข้มแสงและกระแสไฟฟ้าในเลเซอร์ไดโอด

### 2.11.2 เลเซอร์ไดโอดชนิดควอนตัมเวลล์

โดยทั่วไปเราเรียกเลเซอร์ไดโอดซึ่งชั้นแอคทีฟที่เปล่งแสงมีโครงสร้างเป็นควอนตัมเวลล์ว่า "เลเซอร์ไดโอดชนิดควอนตัมเวลล์" (Quantum Well Laser Diode) คำว่าควอนตัมเวลล์นิยมใช้ตัวอักษรย่อว่า QW ถ้าชั้นแอคทีฟดังกล่าวมีชั้นบ่อเพียงชั้นเดียวจะเรียกว่า เลเซอร์ไดโอดชนิดซิงเกิลเวลล์ (Single Quantum well) และชั้นแอคทีฟมีชั้นบ่อหลายชั้นจะเรียกว่า เลเซอร์ไดโอดมัลติควอนตัมเวลล์ (Multi-Quantum well)

โครงสร้างของเลเซอร์ไดโอดชนิดควอนตัมเวลล์ มีลักษณะพื้นฐานคล้ายกับเลเซอร์ไดโอดชนิดดับเบิลเฮเทโร แต่แตกต่างกันตรงแอคทีฟที่ถูกออกแบบให้บางลง เหลือระดับหลายสิบนานาเมตรและชั้นควอนตัมเวลล์อาจถูกออกแบบให้มีความแตกต่างกันออกไปอีกตามวัตถุประสงค์ สามารถแสดงได้ดังรูปที่ 2.38



รูปที่ 2.38 แสดงแถบพลังงานของเลเซอร์ไดโอดที่มีชั้นแอกทิฟเป็นควอนตัมเวลล์แบบต่างๆ

รูปที่ 2.38 (ก) แสดง "เลเซอร์ไดโอดชนิดซิงเกิลควอนตัมเวลล์" ในโครงสร้างนี้ถ้าความหนา  $L_z$  ของชั้นบ่อลดลง จะทำให้เกิดผลเสียคือ แฟกเตอร์การกักแสง ลดลงด้วย และส่งผลให้กระแสไฟฟ้เริ่มเปลี่ยน  $J_{th}$  สูงขึ้น วิธีการแก้ปัญหานี้ทำได้โดยใช้รูปที่ 2.43 (ข,ค)

รูปที่ 2.38(ข) แสดง "เลเซอร์ไดโอดชนิดมัลติควอนตัมเวลล์" ในโครงสร้างนี้มีบ่อศักย์อยู่จำนวนมากหลายชั้น ทำให้แฟกเตอร์การกักแสงมีค่าเพิ่มขึ้น

รูปที่ 2.38(ค) แสดง "เลเซอร์ไดโอดชนิดมอดิไฟด์มัลติควอนตัมเวลล์" (Modified Multi-Quantum Well) ลักษณะเด่นคือ ช่องว่างพลังงานของชั้นก้ำแพงจะแคบกว่าของชั้นแคลด กระแสไฟฟ้ขีดเริ่มเปลี่ยนของเลเซอร์ไดโอดชนิดนี้ลดลงถึงระดับ  $250 \text{ A/cm}^2$  และเพื่อให้การฉีดอิเล็กตรอนเข้าบ่อศักย์แต่ละบ่อมีความสม่ำเสมอ ความหนาของชั้นบ่อจะถูกออกแบบให้บางด้วย

รูปที่ 2.38(ง) แสดง "เลเซอร์ไดโอดชนิด SCH" (Separate Confinement Heterostructure) โครงสร้างนี้มีวัตถุประสงค์เพื่อต้องการให้บริเวณที่มีการกักแสงและบริเวณที่มีการกักพาหะถูกแยกออกจากกัน เพื่อส่งผลให้แฟกเตอร์การกักแสงเพิ่มขึ้น ชั้นที่มีช่องว่างพลังงานแคบที่สุดคือชั้นกักพาหะ และที่มีช่องว่างพลังงานกว้างถัดไปคือชั้นกักแสง อนึ่ง โครงสร้างนี้ถือว่าอยู่ในประเภทซิงเกิลควอนตัมเวลล์

รูปที่ 2.38(จ) แสดง "เลเซอร์ไดโอดชนิด GRIN-SCH" (Graded Index Separate Confinement Heterostructure) จุดเด่นของโครงสร้างนี้คือ ช่องว่างพลังงานของชั้นกักแสงถูกออกแบบให้มีรูปร่างแบบพาราโบลา ทำให้ค่าดัชนีหักเหของแสงชั้นนี้มีรูปร่างแบบพาราโบลาคด้วย ข้อดีของโครงสร้างนี้คือ แฟกเตอร์การกักแสงมีค่ามาก และแปรผันตรงกับความหนาของชั้นบ่อ ด้วยความสัมพันธ์แบบยกกำลังหนึ่ง ดังนั้นแม้ว่าเราจะลดความหนาของชั้นบ่อลง แต่ก็ไม่ได้ทำให้กระแสไฟฟ้ขีดเริ่มเปลี่ยนมีค่าเพิ่มขึ้นมากนัก

### บทที่ 3

## วิธีการดำเนินงานวิจัย

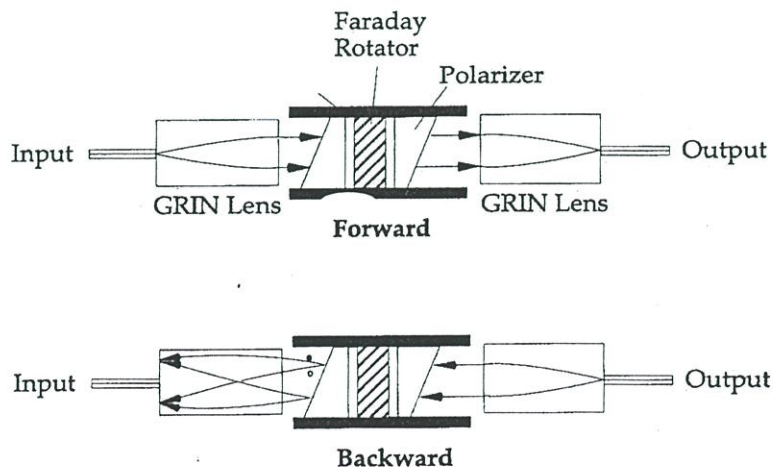
ในบทนี้จะกล่าวถึงอุปกรณ์ต่างๆที่ใช้ในการดำเนินงานวิจัย รวมไปถึงการออกแบบและขั้นตอนในการติดตั้ง การเชื่อมต่อ และการทดลองในส่วนต่างๆ ดังนี้

### 3.1 อุปกรณ์ในการดำเนินงานวิจัย

#### 3.1.1 ออปติคัลไอโซเลเตอร์ (Optical Isolator )

ออปติคัลไอโซเลเตอร์เป็นอุปกรณ์ทางแสงที่ยอมให้แสงเดินทางผ่านไปทิศทางเดียวเท่านั้น คือ แสงสามารถเดินทางผ่านทางอินพุตไปยังเอาต์พุตได้ แต่แสงไม่สามารถเดินทางจากเอาต์พุตผ่านมาที่อินพุต ในระบบการสื่อสารด้วยแสง เช่น ระบบดิจิทัลความเร็วสูง หรือระบบแอนาล็อก อินเทอร์เน็ตมอดูเลชัน ถ้ามีแสงสะท้อนกลับจากอุปกรณ์ต่างๆ ย้อนกลับเข้าสู่เลเซอร์ไดโอด จะทำให้การทำงานของเลเซอร์ผิดเพี้ยนไปได้ และจะทำให้มีสัญญาณรบกวนเกิดขึ้นในระบบ

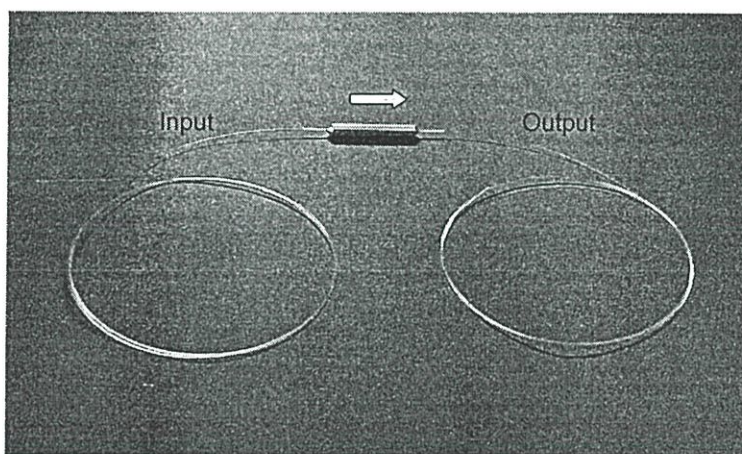
การป้องกันมิให้มีแสงสะท้อนกลับสามารถทำได้ 2 วิธีคือ วิธีปรับปรุงอุปกรณ์ที่เป็นสาเหตุที่ทำให้เกิดการสะท้อนของแสง และการใช้อุปกรณ์ตัดแสงสะท้อน ซึ่งก็จะเป็นออปติคัลไอโซเลเตอร์ใส่เข้าไปในระบบก็จะสามารถแก้ปัญหานั้นได้ จากรูปที่ 3.1 โครงสร้างของตัวออปติคัลไอโซเลเตอร์ทั่วไปจะประกอบด้วย โพลาริเซอร์(Polarizer) ฟาราเดย์โรเตเตอร์(Faraday Rotator) และเลนส์(Grin Lens)จะทำหน้าที่รวมแสง โดยสร้างจากหลักการของคุณสมบัติโพลาไรเซชันของแสง (Polarization) คือแสงที่สามารถเดินทางผ่านโพลาริเซอร์ได้ จะต้องมีความโพลาไรเซชันตรงกับตัวโพลาริเซอร์ เมื่อแสงเดินทางไปยังข้างหน้า(Forward) แสงจะผ่านเลนส์ไปที่ตัวโพลาไรเซอร์ตัวแรก จากนั้นแสงที่ทะลุผ่านจะวิ่งต่อไปยังฟาราเดย์โรเตเตอร์ เป็นอุปกรณ์ที่ทำให้แนวโพลาไรเซชันของ



รูปที่ 3.1 แสดงโครงสร้างของไอโซเลเตอร์

แสงหมุนเปลี่ยนไป และแสงจะผ่านไปยังโพลาริเซอร์ตัวที่สอง ซึ่งจะมีแนวโพลาริเซชันตรงกับแสงที่ถูกเปลี่ยนแนวโพลาไรเซชันโดยฟาราเดย์โรเตเตอร์ แสงก็จะผ่านเลนส์ออกไปทางเอาต์พุต (Output) ได้ แต่เมื่อมีแสงสะท้อนกลับมา (Backward) แสงจะผ่านโพลาริเซอร์ตัวที่สองได้แต่เมื่อถึงฟาราเดย์โรเตเตอร์จะทำให้แนวโพลาไรเซชันหมุนไป แต่จะไม่ผ่านโพลาริเซอร์ตัวแรกได้เนื่องจากแนวโพลาไรเซชันไม่ตรงกัน จึงทำให้ไม่มีแสงผ่านไปทางด้านอินพุต (Input)

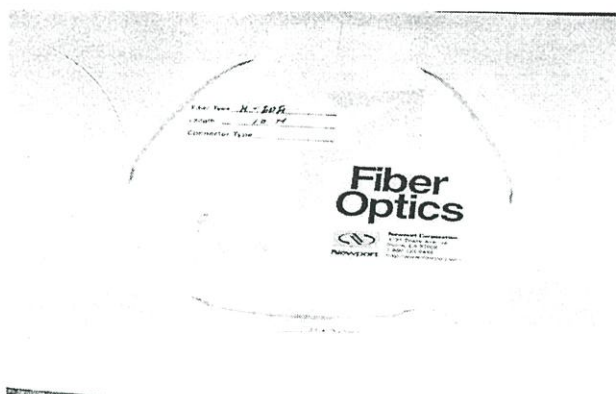
ในงานวิจัยนี้ใช้ใยแก้วนำแสงไอโซเลเตอร์ที่ใช้กับความยาวคลื่น 1550 nm เป็นใยแก้วนำแสงชนิดโหมคเดียว (SMF) ความยาว 1.5 เมตร แสดงได้ดังรูปที่ 3.2 ซึ่งจะมีอยู่สองพอร์ตคือพอร์ตอินพุตและพอร์ตเอาต์พุต ในการใช้งานต้องต่อให้ถูกตามทิศทางถึงจะสามารถใช้งานได้



รูปที่ 3.2 แสดงใยแก้วนำแสงไอโซเลเตอร์

### 3.1.2 ใยแก้วนำแสงเออร์เบียมโดป

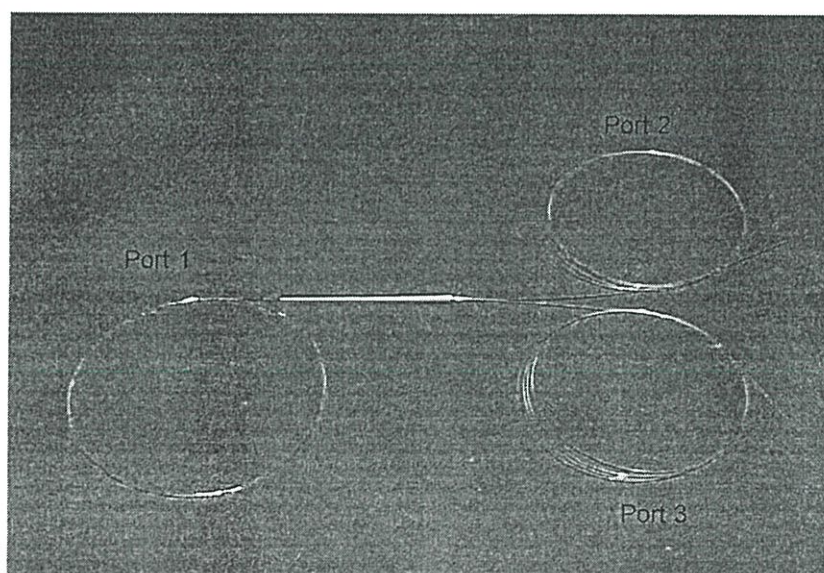
เป็นใยแก้วนำแสงชนิดพิเศษที่มีการเจือธาตุเออร์เบียมในตัววัสดุที่ใช้ทำเป็นแกนของใยแก้วนำแสง ซึ่งมีคุณสมบัติพิเศษสามารถทำให้เป็นตัวกลางที่ทำให้เกิดเลเซอร์ได้ ซึ่งจะนำมาประยุกต์ใช้ในการขยายสัญญาณแสง โดยจะต้องมีการปั๊มด้วยเลเซอร์ เพื่อทำให้เกิดประชากรผกผันและทำการกระตุ้นด้วยสัญญาณแสงเพื่อทำให้เกิดเลเซอร์ ในงานวิจัยนี้เราใช้ใยแก้วนำแสงเออร์เบียมโดปของ บริษัทนิวพอร์ท เป็นใยแก้วนำแสงที่โดปด้วยธาตุเออร์เบียมเป็น 220 ppm ใช้งานที่ความยาวคลื่น 980/1550 นาโนเมตร ความหมายคือ ที่ความยาวคลื่น 980 นาโนเมตร เป็นความยาวคลื่นของเลเซอร์ที่ใช้ปั๊ม และที่ความยาวคลื่น 1550 นาโนเมตร เป็นความยาวคลื่นของสัญญาณแสงที่ต้องการขยาย เป็นใยแก้วนำแสงที่มีดัชนีหักเหแบบชั้นบันได มีรัศมีของแคลดดิ้ง 125 ไมโครเมตร ตัดความยาวคลื่น (Cut-off Wavelength) ที่ 880 นาโนเมตร ค่าการสูญเสียอยู่ที่ 3.1 dB/km จากรูปที่ 3.3 แสดงใยแก้วนำแสงเออร์เบียมโดปยาว 10 เมตร



รูปที่ 3.3 แสดงใยแก้วนำแสงเออร์เบียมโดป

### 3.1.3 คู่ควบใยแก้วนำแสง ( Fiber Optic Coupler)

คู่ควบใยแก้วนำแสง เป็นอุปกรณ์พาสซีฟทางแสง ทำหน้าที่แยกแสงหรือรวมแสงเข้าด้วยกัน แสงสามารถวิ่งได้ทั้งสองทิศทาง เป็นอุปกรณ์ที่ใช้ในการเชื่อมต่อแบบจุดต่อจุด ทั้งยังเป็นอุปกรณ์ที่ใช้ร่วมกับระบบสวิตชิง (Switching) และมัลติเพล็กซ์ (Multiplexing) ได้ด้วย ซึ่งแสดงดังรูปที่ 3.4



รูปที่ 3.4 แสดงคู่ควบใยแก้วนำแสง 1x2

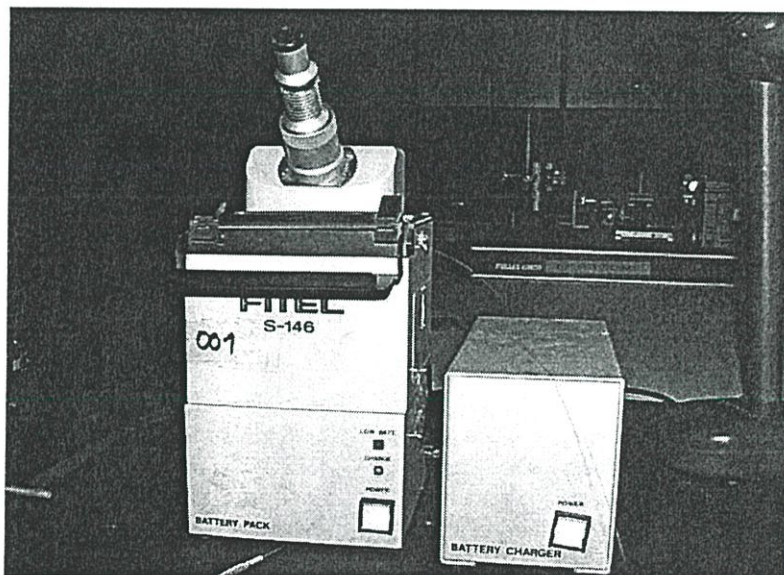
ในงานวิจัยนี้ใช้ใยแก้วนำแสงคู่ควบใยแก้วนำแสง แบบ 1x2 เป็นใยแก้วนำแสงแบบโหมดเดี่ยวใช้งานที่ความยาวคลื่น 1310/1550 นาโนเมตร มีค่าการแยกแสงที่ 50/50 % คือความเข้มแสงที่วิ่งเข้าทางพอร์ต 1 มีค่าเป็น 100 % เมื่อผ่านไปยังพอร์ต 2 จะมีความเข้มแสง 50 % และพอร์ต 3 จะมีความเข้มแสง 50 % ซึ่งมีรายละเอียดดังตารางที่ 3.1

ตารางที่ 3.1 แสดงรายละเอียดของกลุ่มใยแก้วนำแสง

Operation Wavelength		1310+/-40 nm		1550+/-40nm	
Input Port	Output Port	Insertion Loss (dB)		Insertion Loss (dB)	
		O1	O2	O1	O2
	I1	3.09	3.10	3.05	3.22

### 3.1.4 เครื่องเชื่อมต่อใยแก้วนำแสง(Fusion Splicer)

การเชื่อมต่อด้วยวิธีการหลอมรวมเป็นวิธีการเชื่อมต่อเส้นใยแก้วนำแสงสองเส้นเข้าด้วยกัน โดยการให้ความร้อนที่ปลายเส้นใยแก้วนำแสง จากนั้นปลายของเส้นใยแก้วนำแสงจะหลอมติดกัน การเชื่อมต่อในลักษณะนี้เป็นการเชื่อมต่อแบบถาวร เส้นใยแก้วนำแสงที่เชื่อมต่อกันแล้วดูเหมือนว่าเป็นเส้นเดียวกัน การสูญเสียที่เกิดจากการเชื่อมต่อด้วยวิธีนี้มีค่าอยู่ระหว่าง 0.01 – 0.2 dB ในขั้นตอนของการเชื่อมต่อนั้น ความร้อนที่ทำให้ปลายเส้นใยแก้วนำแสงอ่อนตัวนั้นจะมาจากประกายไฟที่เกิดจากการอาร์คระหว่างขั้วอิเล็กโทรดภายในเครื่อง เครื่องเชื่อมต่อใยแก้วนำแสงสามารถแสดงได้ดังรูปที่ 3.5



รูปที่ 3.5 แสดงเครื่องเชื่อมต่อใยแก้วนำแสง(Fusion Splicer)

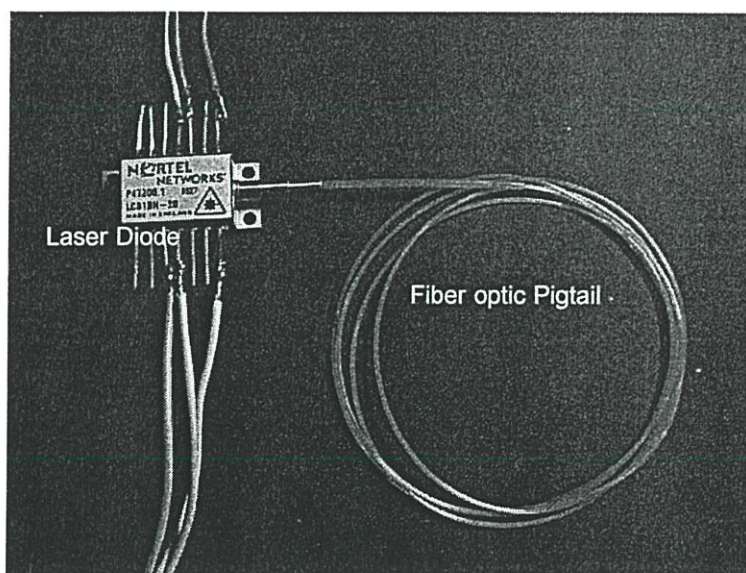
### 3.1.5 เลเซอร์ 980 nm

ในงานวิจัยนี้ใช้เลเซอร์ความยาวคลื่น 980 นาโนเมตร ในการปั๊มให้กับใยแก้วนำแสงเออร์เบียมโดป ซึ่งเป็นเลเซอร์ไดโอดสารชนิดสารกึ่งตัวนำที่เป็นแบบพิกเทล(Pigtail) ก็จะมีการต่อกับเส้นใยแก้ว

นำแสงเพื่อความสะดวกในการนำไปใช้งานกับเส้นใยแก้วนำแสง มีลักษณะดังรูปที่ 3.6 เป็นเลเซอร์ที่ใช้งานในช่วงอุณหภูมิ  $-20\text{ }^{\circ}\text{C}$  ถึง  $+750\text{ }^{\circ}\text{C}$  กำเนิดแสงแบบต่อเนื่อง(CW) กำลังแสงสูงสุด 100 mW ซึ่งสามารถแสดงรายละเอียดดังตารางที่ 3.2

ตารางที่ 3.2 แสดงรายละเอียดของเลเซอร์ 980 nm

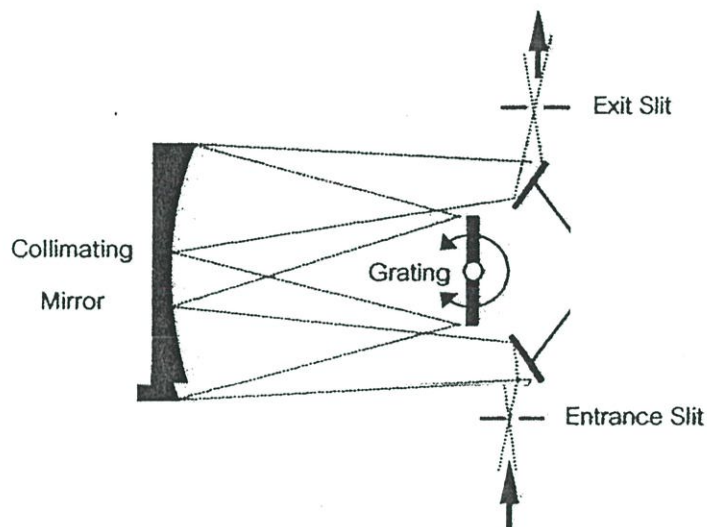
Parameter	Min	Typ	Max	Unit
Threshold current (I <sub>th</sub> )	-	15	20	mA
Operating drive current (I <sub>f</sub> ) E, F, G 250	-	-	210	mA
Forward voltage	1.8	-	2.5	V
Peak wavelength( $\lambda_p$ ) Power in	975	-	985	nm
wavelength band 975 - 985nm	85	95	-	%
Monitor detector responsivity	2.5	15	25	$\mu\text{A}/\text{mW}$
Monitor dark current	-	-	50	nA
Thermistor resistance (at 250C)	9.5	10	10.5	k $\Omega$
Intended laser operating temperature	20	25	30	$^{\circ}\text{C}$
Laser temperature, R = 10 k $\Omega$	23.5	-	26.5	A
Heatpump current ( $\Delta T = 50^{\circ}\text{C}$ I <sub>f</sub> = 300mA)	-	-	1.2	A
Heatpump voltage ( $\Delta T = 50^{\circ}\text{C}$ I <sub>f</sub> = 300mA)	-	-	2.5	V



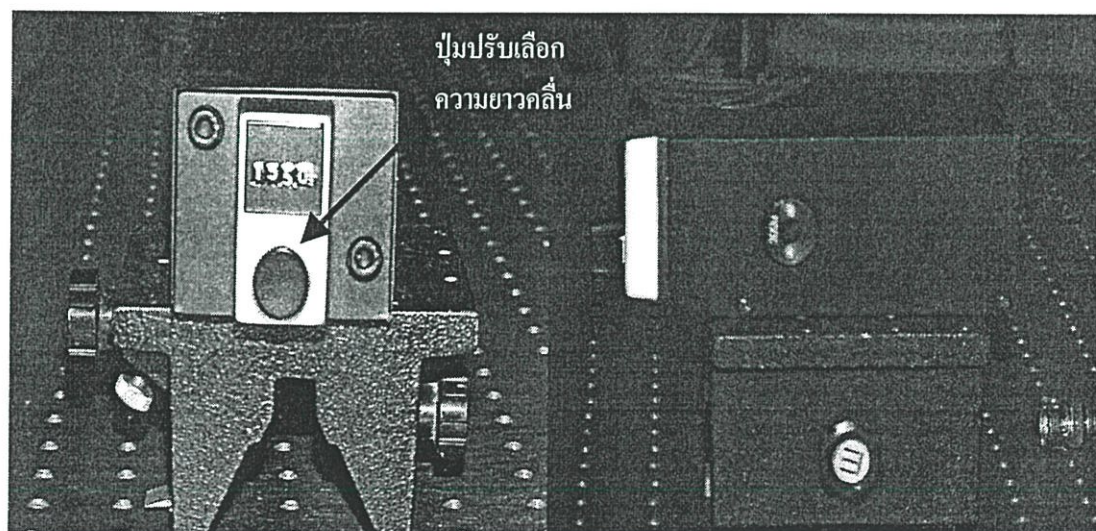
รูปที่ 3.6 แสดงเลเซอร์ ปีมโมดูลความยาวคลื่น 980 nm และชุดใยแก้วนำแสง(Fiber optic pigtail)

### 3.1.6 โมโนโครมาเตอร์(Monochromator)

เป็นอุปกรณ์ที่ทำหน้าที่กรองแสงที่มีความยาวคลื่นต่างๆให้ผ่านได้โดยสามารถเลือกความยาวคลื่นตามที่ต้องการได้ โคอะแกรมของโมโนโครมาเตอร์แสดงในรูปที่ 3.7 หลักการทำงานคือเมื่อมีแสงเข้ามาทางสลิต(Entrance Slit) แสงจะสะท้อนผ่านกระจกไปตกกระทบบที่กระจกคอลลิเมตติง(Collimating Mirror) และสะท้อนกลับไปยังเกรตติง(Grating) โดยเกรตติงจะเป็นตัวปรับเพื่อเลือกความยาวคลื่นให้สะท้อนกลับไปยังกระจกคอลลิเมตติง แล้วสะท้อนไปยังกระจกผ่านออกไปยังสลิต(Exit Slit) โมโนโครมาเตอร์ที่ใช้งานสามารถแสดงดังรูปที่ 3.8



รูปที่ 3.7 แสดง โคอะแกรมของโมโนโครมาเตอร์



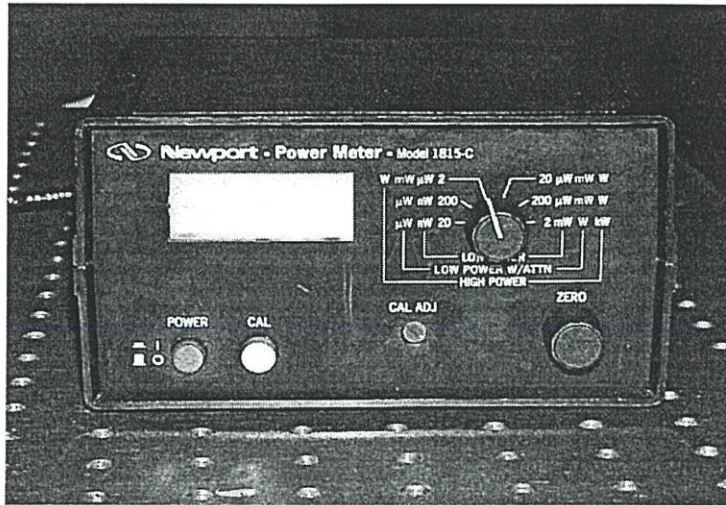
รูปที่ 3.8 แสดงโมโนโครมาเตอร์

### 3.1.7 มิเตอร์วัดกำลังแสง

เป็นเครื่องมือในการวัดกำลังแสงซึ่งต้องใช้ร่วมกับโฟโตดีเท็คเตอร์ มิเตอร์วัดกำลังแสงที่ใช้คือรุ่น 1815-C (Newport) จากตารางที่ 3.3 ซึ่งสามารถวัดกำลังแสงในช่วง(Full Scale Reading) 20 nW–2 mW (Low-Power) 20  $\mu$ W–2 W (Low-Power w/Attn) Attn คือการใส่ตัวลดทอนกำลังเข้าไปที่โฟโตดีเท็คเตอร์ และ 2 W–2 kW (High-Power) อัตราในการสุ่มสัญญาณ(Sampling Rate) 2.5 Hz ความถี่สูงสุด(Bandwidth) ที่สามารถวัดได้ 9 kHz ให้สัญญาณเอาต์พุต (Analog Output) 0-2 V ความแม่นยำของสัญญาณไฟตรง(DC Accuracy)  $< \pm 0.5\%$ ,  $\pm 0.25\%$  ใช้งานในช่วงอุณหภูมิ (Operating Temperature) 18°C ถึง 28°C และมีลักษณะดังรูปที่ 3.9

ตารางที่ 3.3 แสดงรายละเอียดของมิเตอร์วัดกำลังแสง

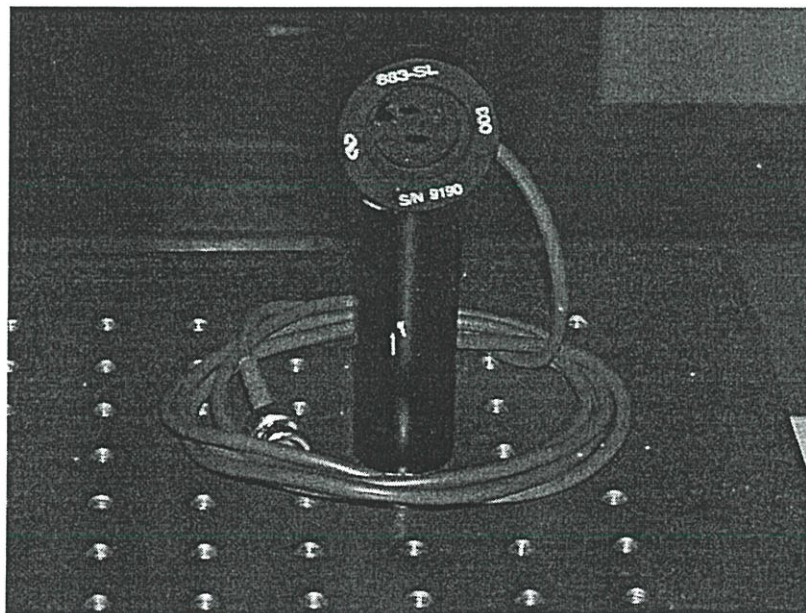
Display Type	3.5-digit LCD	
Sampling Rate	2.5 Hz	
Full Scale Readings:		
	Low-Power	20 nW–2 mW
	Low-Power w/Attn	20 $\mu$ W–2 W
	High-Power	2 W–2 kW
DC Accuracy	$< \pm 0.5\%$ , $\pm 0.25\%$ Typ.	
Bandwidth	9 kHz max	
Analog Output	0-2 V an 1 mW	
Input Connector	BNC	
Battery Life	130-180 Stunden	
Battery	6 x AA Alkali	
Weight [lb (kg)]	1.5 (0.7)	
Dimension (W x H x D) [in. mm]]	3.3 (83) x 6.0 (152) x 7.0 (178)	
Operating Temperature	18°C to 28°C	
Storage Temperature	25°C b is 60°C,	



รูปที่ 3.9 แสดงมิเตอร์วัดกำลังแสง

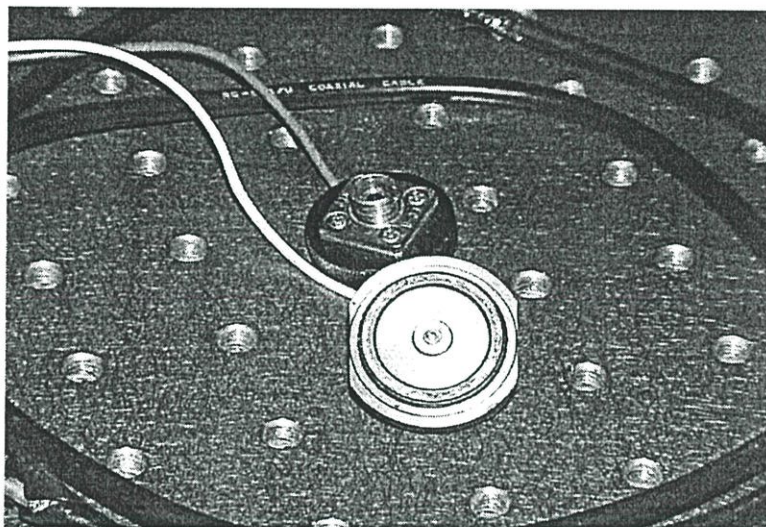
### 3.1.8 โฟโตดีเท็คเตอร์

เป็นอุปกรณ์ในการตรวจจับแสงในงานวิจัยนี้ใช้โฟโตดีเท็คเตอร์รุ่น 818-SL(Newport) เป็นชนิดสารกึ่งตัวนำซิลิกอน เส้นผ่านศูนย์กลาง 1.33 cm ตอบสนองที่ความยาวคลื่น 400-1100 นาโนเมตร กำลังแสงที่สามารถวัดได้อยู่ในช่วง (Power Range)  $-90$  dBm ถึง  $+33$  dBm ความละเอียด (Resolution) 0.1 pW ความแน่นอน(Accuracy)  $\pm 2\%$  ความเป็นเชิงเส้น(Linearity)  $\pm 0.5\%$  สามารถแสดงลักษณะได้ดังรูปที่ 3.10



รูปที่ 3.10 แสดงโฟโตดีเท็คเตอร์รุ่น 818-SL(Newport)

และอีกตัวที่ใช้คือ รุ่น MA9723A (Anrisu) มีรายละเอียดดังนี้ เป็นชนิดสารกึ่งตัวนำเยอร์มาเนียม ตอบสนองที่ความยาวคลื่น 750-1800 นาโนเมตร กำลังแสงที่สามารถวัดได้อยู่ในช่วง (Power Range)  $-60$  dBm ถึง  $+33$  dBm สำหรับเป็นคลื่นต่อเนื่อง(CW) และ  $-60$  dBm ถึง  $+0$  dBm สำหรับคลื่นที่มีการมอดูเลต(MOD) ความละเอียด(Resolution)  $0.1$  pW ความแน่นอน(Accuracy)  $\pm 5\%$  ความเป็นเชิงเส้น(Linearity)  $\pm 0.5\%$  เส้นผ่านศูนย์กลาง  $1$ mm ทำงานที่ช่วงอุณหภูมิ  $0^{\circ}\text{C}$  ถึง  $50^{\circ}\text{C}$  สามารถแสดงลักษณะได้ดังรูปที่ 3.11



รูปที่ 3.11 แสดงโฟโตดีเท็คเตอร์รุ่น MA9723A (Anrisu)

### 3.1.9 อุปกรณ์อื่นๆ

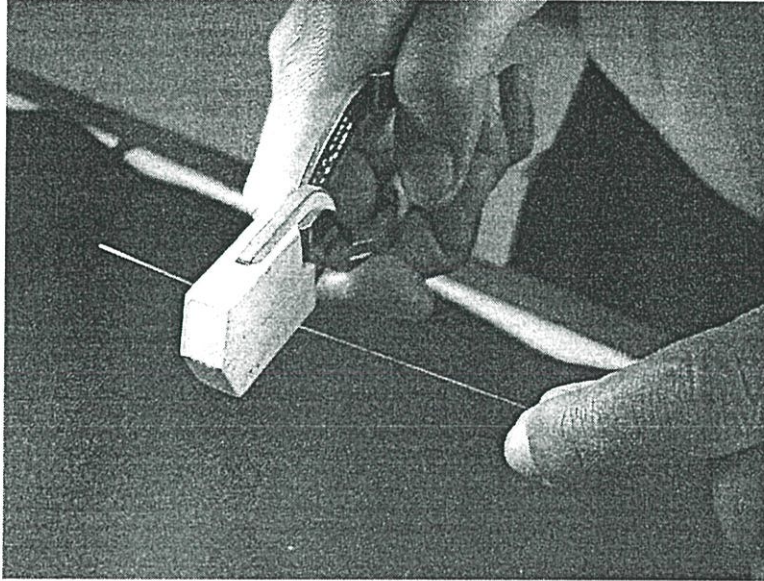
- ใยแก้วนำแสงแบบโหมดเดี่ยว
- เลเซอร์ไดโอด (  $1550$  nm )
- วงจรขับเลเซอร์ไดโอด
- คอนเน็คเตอร์ FC, ST
- โอทีดีอาร์
- ออสซิลโลสโคป
- มิดตัดใยแก้ว
- คีมปอกใยแก้ว
- คีมปอกเคเบิลใยแก้ว
- เพาเวอร์ซัพพลาย
- กระดาษขัดใยแก้ว
- แอลกอฮอล์
- ตัวจับใยแก้วนำแสง (Microblock fiber launch kit)
- อุปกรณ์ในการจับยึด ขาดัง
- อื่นๆ

### 3.2 วิธีการเชื่อมต่อใยแก้วนำแสง

#### 3.2.1 วิธีการเชื่อมต่อแบบหลอมรวม

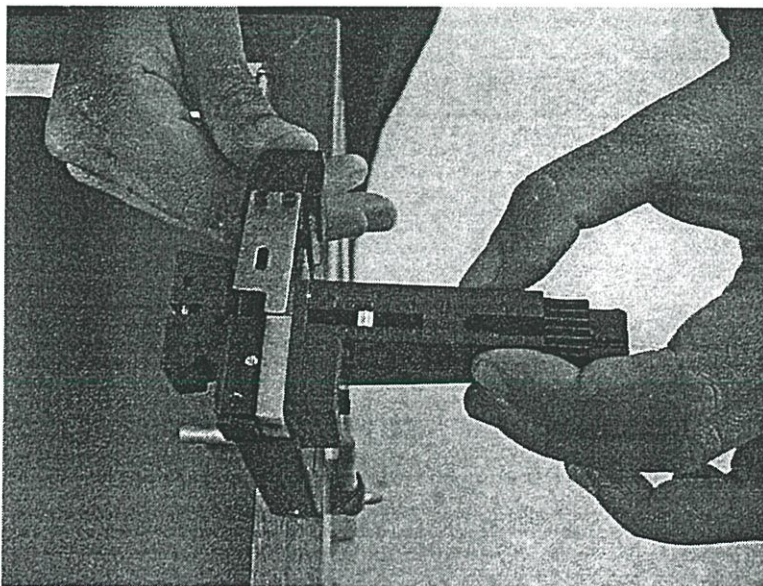
การเชื่อมต่อแบบหลอมรวมเป็นการเชื่อมต่อแบบถาวร โดยมีขั้นตอนดังนี้

- 1) นำใยแก้วนำแสงที่ต้องการเชื่อมต่อมาปอกส่วนที่หุ้มภายนอกออกจนถึงชั้นของแคลคิง โดยการใช้นมีดปอกแสดงดังรูปที่ 3.12



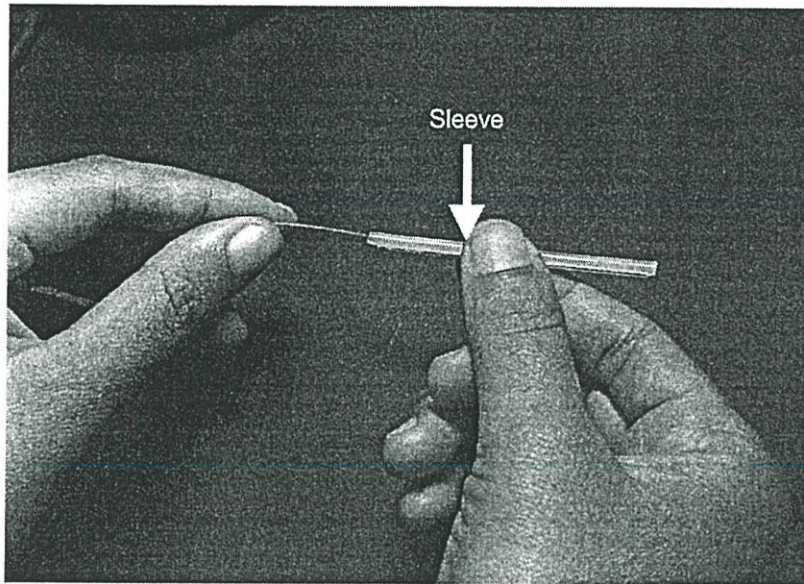
รูปที่ 3.12 แสดงการปอกใยแก้วนำแสง

- 2) ทำความสะอาดใยแก้วโดยใช้แอลกอฮอล์ ทำความสะอาด จากนั้นนำไปตัดโดยใช้ที่ตัดใยแก้วเพื่อให้ได้รอยตัดที่เรียบซึ่งแสดงดังรูปที่ 3.13 ทำความสะอาดด้วยแอลกอฮอล์อีกครั้ง แล้วนำไปส่องดูรอยตัดด้วยกล้อง



รูปที่ 3.13 แสดงการตัดใยแก้วนำแสง

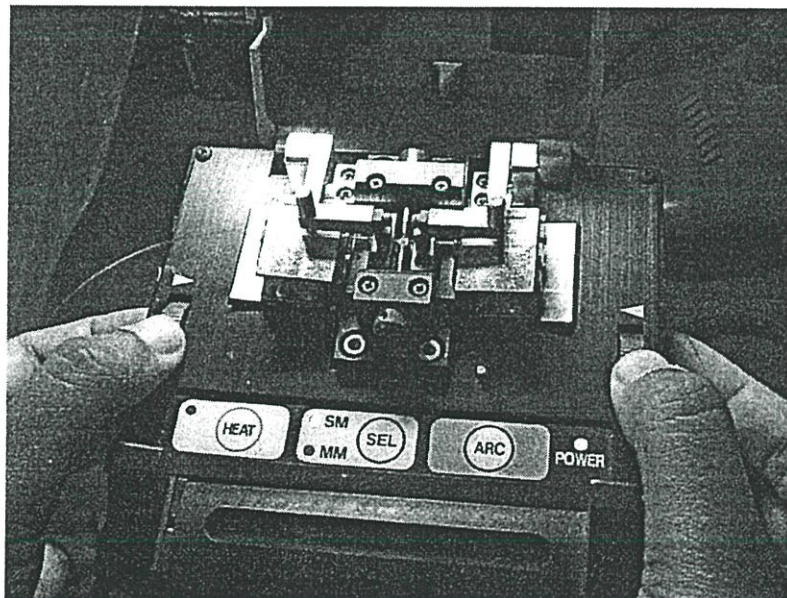
3) ทำการสวมสลีฟ(Sleeve) เข้าไปที่ใยแก้วนำแสงดังรูปที่ 3.14



รูปที่ 3.14 แสดงการสวมสลีฟเข้าไปที่ใยแก้วนำแสง

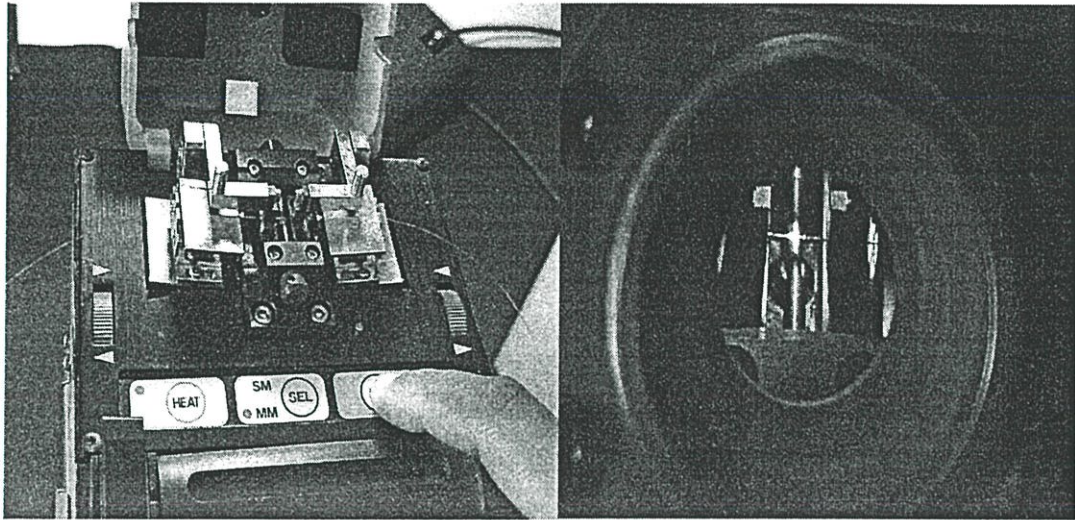
4) นำใยแก้วทั้งสองเส้นที่ต้องการจะเชื่อมต่อไปติดตั้งบนเครื่องเชื่อมต่อดังรูปที่ 3.15 แล้ว  
ทำ

การปรับระยะให้ปลายใยแก้วทั้งสองข้างสัมผัสกันพอดี



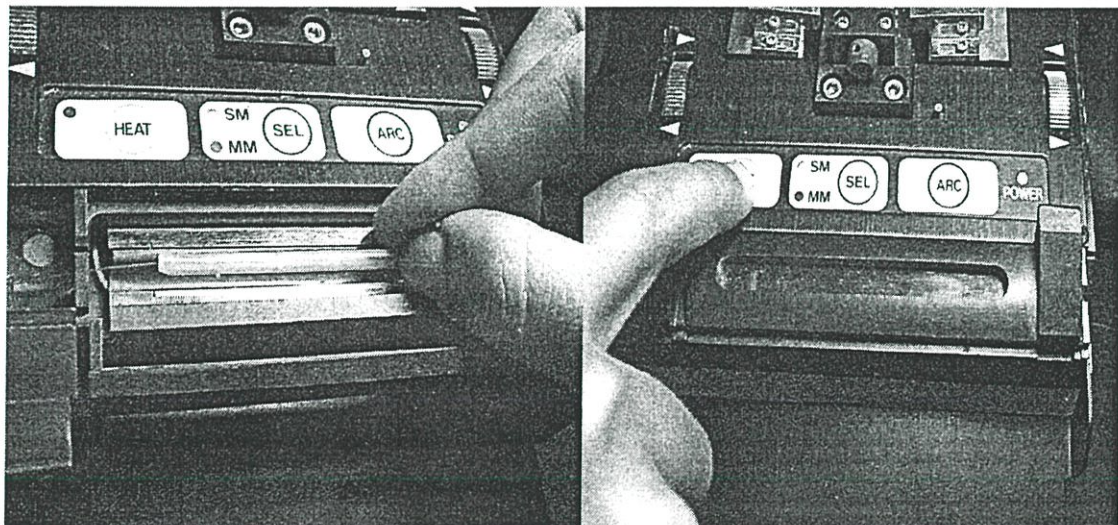
รูปที่ 3.15 แสดงการติดตั้งใยแก้วนำแสงบนเครื่องเชื่อมต่อ

- 5) กดปุ่ม ARC เพื่อทำการเชื่อมต่อซึ่งจะทำให้เกิดการหลอมด้วยความร้อนจากการอาร์ค แล้วจะทำให้ใยแก้วนำแสงหลอมติดกันแสดงได้ดังรูปที่ 3.16



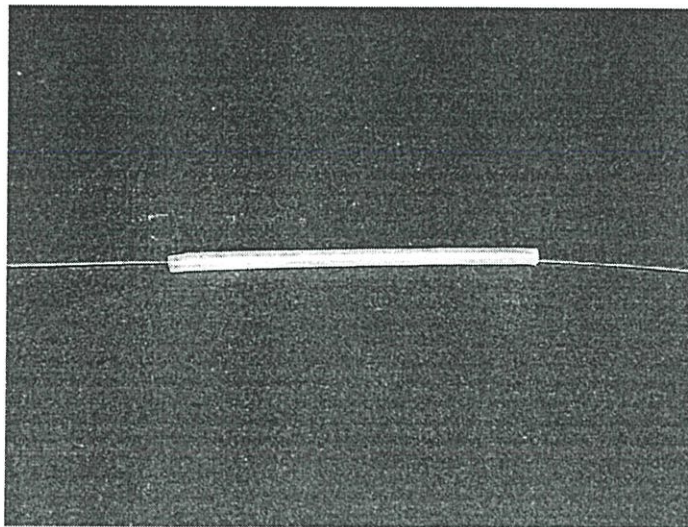
รูปที่ 3.16 แสดงการกดปุ่ม ARC และการหลอมรวมของใยแก้วนำแสง

6. นำใยแก้วนำแสงออกจากจุดเชื่อมต่อแล้วดึงสะติฟมาอยู่ตรงกึ่งกลางของรอยต่อแล้วนำสะติฟไปวางลงตรงช่องให้ความร้อนเพื่อทำให้สะติฟติดกับใยแก้วนำแสงโดยการกดปุ่ม HEAT แสดงได้ดังรูปที่ 3.17 ซึ่งตัวสะติฟจะเป็นตัวป้องกันไม่ให้รอยเชื่อมต่อขาด



รูปที่ 3.17 แสดงการให้ความร้อนกับสะติฟให้ติดกับเส้นใยแก้วนำแสง

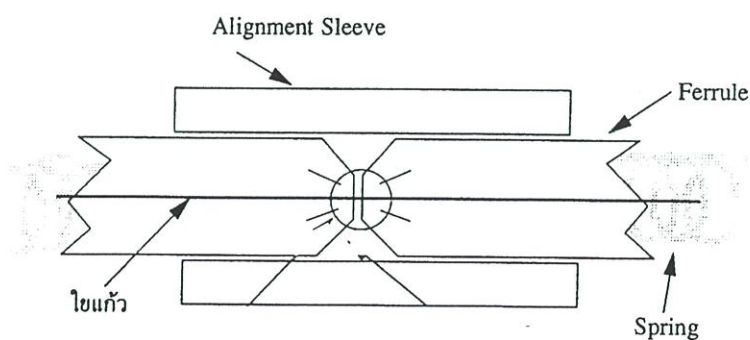
7) นำใยแก้วนำแสงออกจากช่องให้ความร้อนซึ่งเราก็ได้ใยแก้วนำแสงที่เชื่อมต่อกันและที่รอยต่อก็ จะหุ้มด้วยสลิปดังรูปที่ 3.18



รูปที่ 3.18 แสดงใยแก้วนำแสงที่ได้หลังจากการเชื่อมต่อแบบหลอมรวม

### 3.2.2 การเชื่อมต่อด้วยหัวเชื่อมต่อ (Connector)

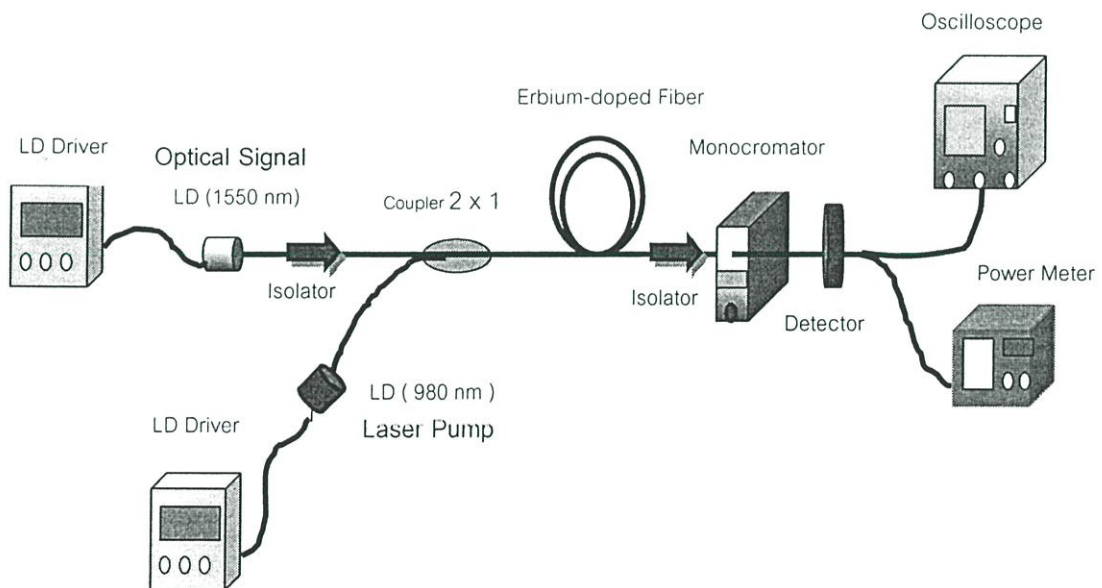
นอกจากการเชื่อมต่อเส้นใยแก้วนำแสงเข้าด้วยกันตามวิธีการหลอมรวมดังที่กล่าวมาแล้ว การเชื่อมเส้นใยแก้วนำแสง ยังสามารถทำได้โดยการใช้หัวเชื่อมต่ออีกด้วย การเชื่อมต่อเส้นใยแก้วนำแสง แบบใช้หัวเชื่อมต่อ ซึ่งอำนวยความสะดวกให้กับผู้ใช้ในการถอดเปลี่ยนได้ตามความจำเป็น ในปัจจุบันการผลิตหัวเชื่อมต่อสำหรับเส้นใยแก้วนำแสงมีหลายแบบ ซึ่งสามารถเลือกใช้ตามสภาพการใช้งานเป็นหลัก โดยทั่วไปหัวเชื่อมต่อถูกออกแบบมาเพื่อช่วยทำให้ปลายของใยแก้วนำแสงทั้งสองเส้นอยู่ใกล้กันมากที่สุด แสดงดังรูปที่ 3.19 ภายในหัวต่อจะมีสปริง(Spring)เพื่อให้ปลายของใยแก้วทั้งสองติดกันอย่างสนิท ส่วนสลิป(Alignment Sleeve) เป็นช่องทำให้เฟอร์รูล(Ferrule) ทั้งสองข้างเข้ามาชนกันพอดี นอกจากนี้หัวเชื่อมต่อยังต้องมีคุณสมบัติอื่นๆอีก เช่น แข็งแรง ทนทาน เกิดการสูญเสียต่ำและมีราคาที่เหมาะสม



รูปที่ 3.19 แสดงการวางตัวของใยแก้วนำแสงของหัวเชื่อมต่อ

### 3.3 การออกแบบและการสร้างระบบ

หลังจากศึกษาหลักการและทฤษฎีต่างๆ ที่เกี่ยวข้อง ทำการออกแบบและก่อสร้างระบบขึ้นมา ในงานวิจัย เราจะแบ่งระบบการออกแบบสองส่วนคือ ส่วนแรกเป็นระบบทางแสง และส่วนที่สองเป็นวงจรรีเลกทรอนิกส์ ส่วนแรกจะเป็นวิธีการเชื่อมต่อใยแก้วโดยใช้เครื่องเชื่อมจะต้องใช้ทักษะในการทำ ต้องมีการทดลองเพื่อให้ได้รอยต่อที่มีคุณภาพดีคือมีการสูญเสียน้อยที่สุด บางส่วนต้องเชื่อมต่อโดยใช้คอนเน็คเตอร์ ในส่วนที่เป็นวงจรรีเลกทรอนิกส์จะเป็นวงจรขับเคลื่อนเลเซอร์ จะเป็นตัวควบคุมการทำงานของเลเซอร์ การเลือกอุปกรณ์ที่เหมาะสม ในการวัดสัญญาณ เช่นออสซิลอสโคป เครื่องวัดกำลังแสง การใช้อุปกรณ์ตรวจจับสัญญาณแสง แนวคิดในการออกแบบคือเราต้องการป้อนด้วยแสงเลเซอร์เข้าไปในใยแก้วนำแสงเออร์เบียมโคป โดยใช้เลเซอร์ที่มีความยาวคลื่น 980 นาโนเมตร และป้อนสัญญาณแสงความยาวคลื่น 1550 นาโนเมตรเข้าไปยังใยแก้วนำแสงเออร์เบียมโคปเนื่องจากเราต้องการที่จะป้อนแสงสองความยาวคลื่นเข้าไปในเส้นใยแก้วนำแสงเส้นเดียวกันดังนั้นเราต้องใช้อุปกรณ์ที่ใช้ในการรวมแสงจากสองแหล่งคือใช้คู่ควบใยแก้วนำแสง ในการเชื่อมต่อจะมีแสงบางส่วนสะท้อนกลับมาที่ยังแหล่งกำเนิดสัญญาณแสงเราต้องมีการใส่ไอโวลเตอร์เข้าไปตรงจุดนั้นเพื่อให้แสงวิ่งไปในทิศทางเดียว ซึ่งจะติดตั้งสองจุดคือที่พอร์ทของคู่ควบที่ป้อนสัญญาณแสงความยาวคลื่น 1550 นาโนเมตร และปลายใยแก้วนำแสงที่ตำแหน่งของสัญญาณแสงเอาต์พุต ระบบการทดลองจะมีส่วนประกอบดังรูปที่ 3.20



รูปที่ 3.20 แสดงไดอะแกรมของระบบการขยายสัญญาณแสงโดยใช้ใยแก้วนำแสงเออร์เบียมโคป

จากรูปที่ 3.20 ตัวขับเคลื่อนเลเซอร์(LD Driver) จะทำหน้าที่ควบคุมการทำงานของเลเซอร์ไดโอด เราสามารถที่จะควบคุมกำลังแสงของเลเซอร์โดยการควบคุมกระแสที่ป้อนให้กับเลเซอร์ไดโอด

โอดที่ตัวขับเลเซอร์ ในระบบเราใช้เลเซอร์สองตัว คือตัวแรกเป็นเลเซอร์ที่ใช้เพื่อปั๊ม(Pump Laser) 980 นาโนเมตร และเลเซอร์เพื่อป้อนสัญญาณแสง (Optical Signal) ความยาวคลื่น 1550 นาโนเมตร สัญญาณแสงจะผ่านไปยังไอโซเลเตอร์(Isolator) คู่ควบ 2x1 (Coupler) ทำหน้าที่รวมแสงทั้งสอง ความยาวคลื่นเข้าไปที่ใยแก้วนำแสงเออร์เบียมโดป(Erbium-doped Fiber) แล้วก็ผ่านไอโซเลเตอร์ทางด้านเอาต์พุต ผ่านโมโนโครมาเตอร์(Monocromator) ไปตกกระทบที่โฟโตดีเทคเตอร์(Detector) แล้วก็แสดงผลโดยมิเตอร์วัดกำลังแสง(Power Meter) หรือออสซิลโลสโคป (Oscilloscope)

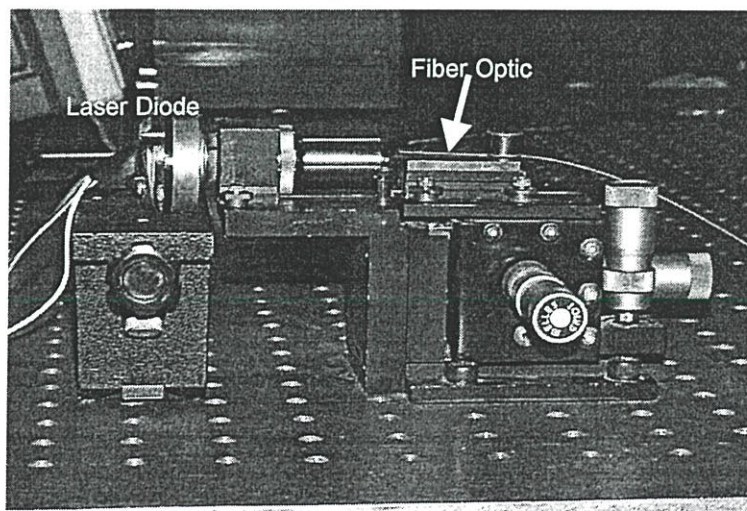
### 3.3.1 การเตรียมเส้นใยแก้วนำแสงเออร์เบียมโดป

ในงานวิจัยนี้เรามีใยแก้วนำแสงยาว 10 เมตร เนื่องจากใยแก้วนำแสงเออร์เบียมโดปเป็นใยแก้วนำแสงที่มีขนาดเส้นผ่านศูนย์กลางของแกนเล็กกว่าใยแก้วนำแสงแบบโหมดเคียวปกติ ดังนั้น การเชื่อมต่อเพื่อให้ได้รอยต่อที่ดี คือมีการสูญเสียที่เกิดจากรอยต่อต่ำที่สุดนั้น จึงต้องมีการเตรียมใยแก้วเออร์เบียมโดปเป็นพิเศษเพื่อให้สูญเสียเส้นใยแก้วให้น้อยที่สุด การปอกและการตัดต้องใช้ความระมัดระวังเป็นพิเศษผู้ปฏิบัติต้องฝึกเชื่อมต่อให้ชำนาญ การตัดให้ได้รอยตัดที่ดีต้องตั้งใบมีดให้พอเหมาะ แล้วก็ต้องมีการทำความสะอาดทั้งก่อนตัดและหลังตัด หลังจากเชื่อมต่อเสร็จก็ต้องมีการตรวจสอบเชื่อมต่อจากกล้องโดยสังเกตว่ารอยเชื่อมต่อที่ดีต้องเรียบ ไม่มีฟองอากาศตรงรอยเชื่อมต่อ

### 3.3.2 วิธีการในการติดตั้งระบบ

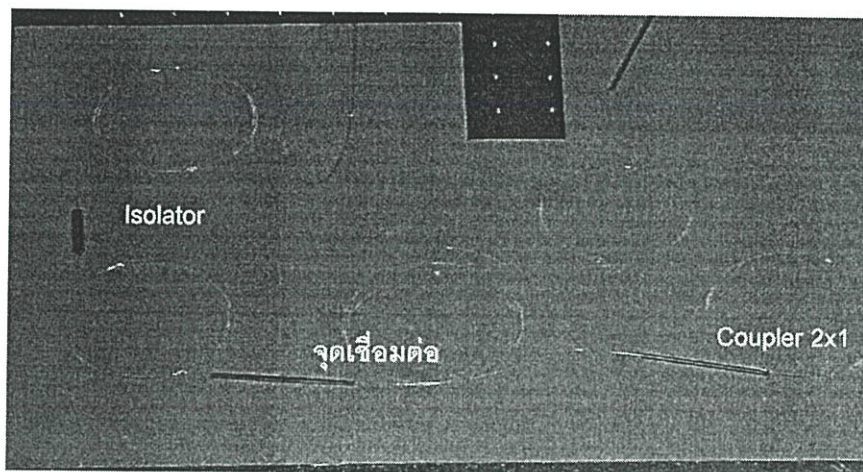
ซึ่งมีขั้นตอนดังนี้

- 1) ทำติดตั้งเลเซอร์ความยาวคลื่น 1550 นาโนเมตรเพื่อสามารภที่จะป้อนสัญญาณแสงเข้าไปในใยแก้วนำแสง โดยทำการติดตั้งบนชุดไมโครบล็อกซึ่งจะมีชุดเลนส์รวมแสง และสามารถที่จะปรับตำแหน่งอย่างละเอียดได้ทั้งสามแกน เพื่อให้แสงเข้าไปในใยแก้วนำแสง ซึ่งจะต้องปรับให้ได้กำลังสูงสุด สามารถแสดงการติดตั้งได้ดังรูปที่ 3.21



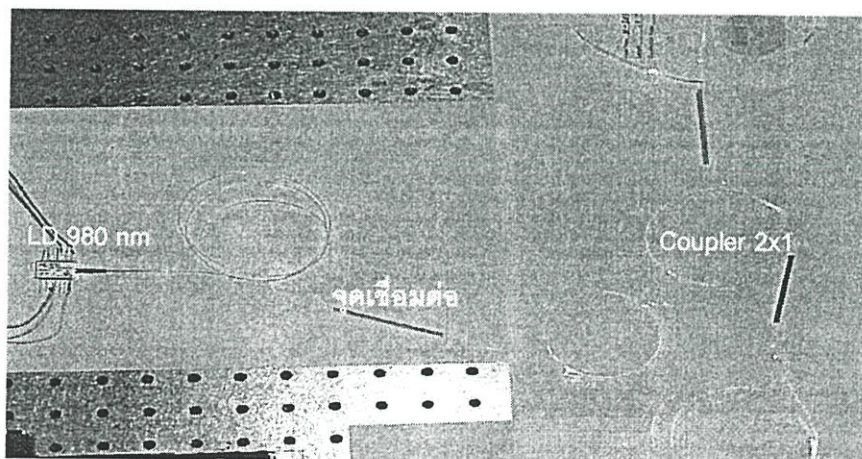
รูปที่ 3.21 แสดงการติดตั้งเลเซอร์ 1550 nm บนชุดไมโครบล็อก

- 2) ทำการเชื่อมต่อไอโซเลเตอร์เข้ากับคู่ควบใยแก้วนำแสงโดยการเชื่อมต่อแบบหลอมรวม แล้วก็ทำการตรวจสอบรอยต่อโดยการดูจากกล้องและการป้อนสัญญาณแสงเพื่อทดสอบ หลังจากเชื่อมต่อเสร็จสามารถแสดงได้ดังรูปที่ 3.22



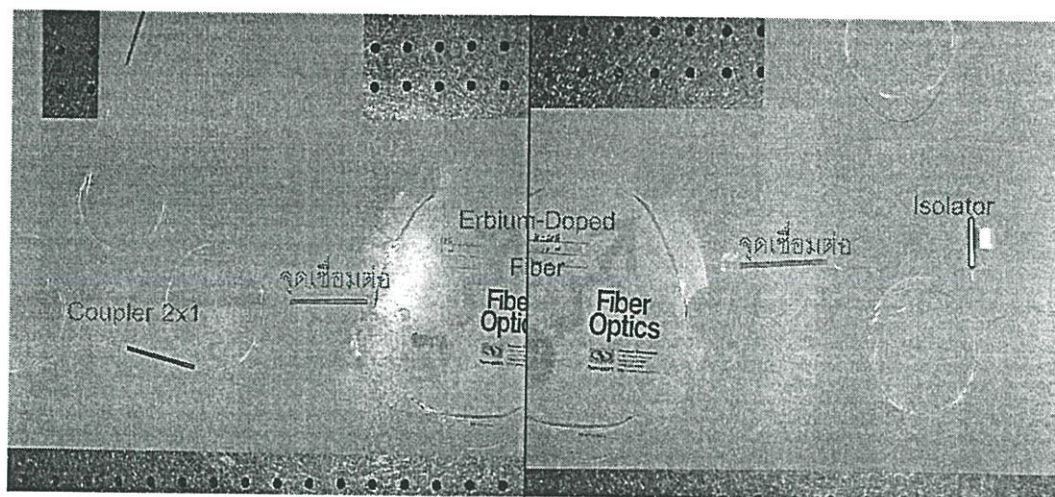
รูปที่ 3.22 แสดงการเชื่อมต่อระหว่างไอโซเลเตอร์กับคู่ควบใยแก้วนำแสง

- 3) เชื่อมต่อเลเซอร์ที่มีความยาวคลื่น 980 นาโนเมตร เข้ากับคู่ควบใยแก้วนำแสงโดยการเชื่อมต่อแบบหลอมรวม แล้วก็ทำการตรวจสอบรอยต่อโดยการดูจากกล้องและการขยับกระแสน้ำให้กับเลเซอร์แล้ววัดกำลังแสงที่ผ่านไปคู่ควบใยแก้วนำแสงทำการแก้ไขจนกว่าจะได้รอยเชื่อมต่อที่ดี หลังจากเชื่อมต่อเสร็จสามารถแสดงได้ดังรูปที่ 3.23



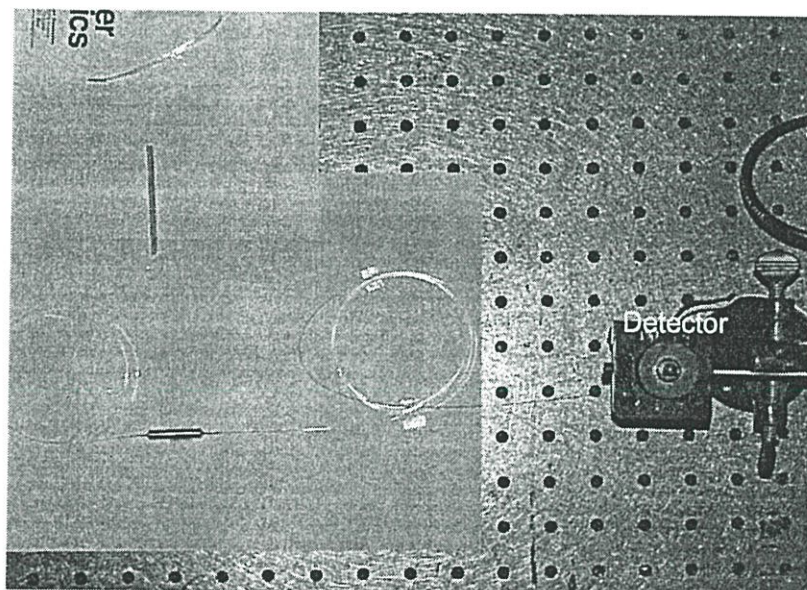
รูปที่ 3.23 แสดงการเชื่อมต่อเลเซอร์ความยาวคลื่น 980 นาโนเมตรกับคู่ควบใยแก้วนำแสง

- 4) นำใยแก้วนำแสงเออร์เบียมโดปมาเชื่อมต่อกับคู่ควบและอีกปลายเชื่อมต่อกับไอโซเลเตอร์ โดยการทำเชื่อมต่อแบบหลอมรวมทำการตรวจสอบและแก้ไขให้ได้รอยเชื่อมต่อที่มีคุณภาพดี สามารถแสดงได้ดังรูปที่ 2.24



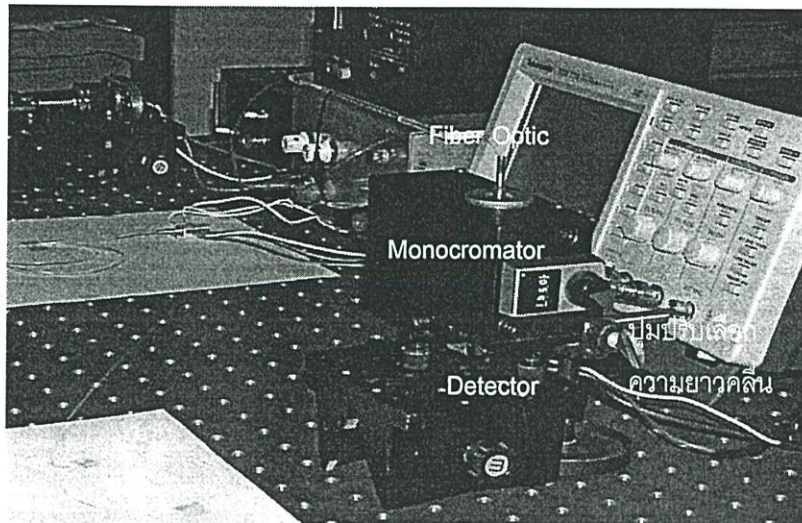
รูปที่ 2.24 แสดงการเชื่อมต่อระหว่างคูควกับ EDF และ ระหว่าง EDF กับ ไอโซเลเตอร์

- 5) ทำการติดตั้งโฟโตดีเทคเตอร์เพื่อวัดกำลังแสงทางด้านเอาต์พุตซึ่งสามารถแสดงได้ดังรูปที่ 3.25



รูปที่ 3.25 แสดงการติดตั้งโฟโตดีเทคเตอร์

- 6) เมื่อจะทำการวัดกำลังสัญญาณแสงโดยเทียบกับความยาวคลื่นจะต้องมีการติดตั้งโมโนโครมาเตอร์เพื่อเป็นตัวกรองความยาวคลื่นที่ต้องการ ซึ่งจะสามารถปรับเลือกความยาวคลื่นที่ตัวโมโนโครมาเตอร์สามารถแสดงการติดตั้งดังรูปที่ 3.26



รูปที่ 2.26 แสดงการติดตั้งโมโนโครมาเตอร์

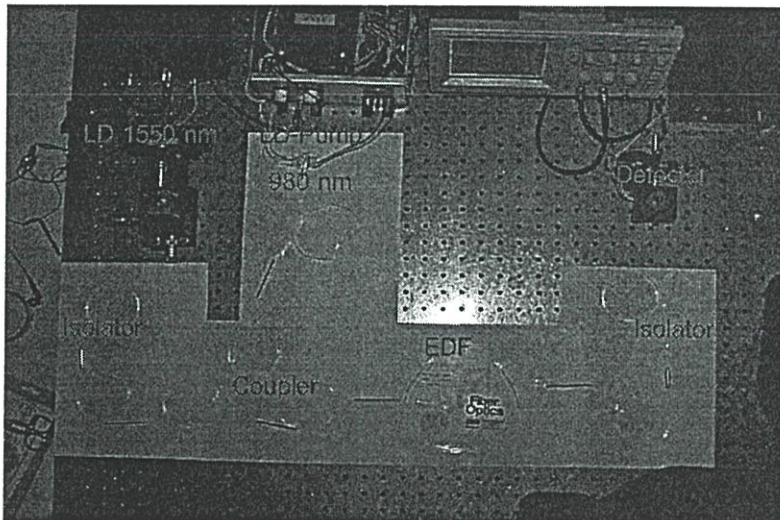
## บทที่ 4

### ผลการดำเนินงานวิจัยและวิเคราะห์ผล

ในบทนี้จะกล่าวถึงผลการดำเนินงานวิจัย การวิเคราะห์ผล ของระบบขยายสัญญาณแสง โดยใช้ใยแก้วนำแสงเออร์เบียมโดป และผลของค่าคุณลักษณะของระบบการขยายสัญญาณแสง การนำไปประยุกต์ในการขยายสัญญาณแสงที่มีการมอดูเลต ซึ่งจะกล่าวตามลำดับดังนี้

#### 4.1 ระบบการขยายสัญญาณแสงโดยใช้ใยแก้วนำแสงเออร์เบียมโดป

จากการศึกษาและออกแบบเราได้สร้างระบบขยายสัญญาณแสงโดยใช้ใยแก้วนำแสงเออร์เบียมโดป ซึ่งสามารถแสดงได้ดังรูปที่ 4.1



รูปที่ 4.1 แสดงระบบขยายสัญญาณแสงโดยใช้ใยแก้วนำแสงเออร์เบียมโดป

ในการขยายสัญญาณแสงเราจะใช้หลักการทำให้เกิดเลเซอร์ขึ้นในใยแก้วนำแสงซึ่งใยแก้วที่ทำให้เกิดเลเซอร์ได้ต้องเป็นใยแก้วแบบพิเศษคือจะมีการโดปธาตุเออร์เบียมในใยแก้วโดยเราต้องการขยายสัญญาณแสงที่ความยาวคลื่น 1550 นาโนเมตร จากหลักการเกิดเลเซอร์คือต้องมีการทำให้อิเล็กตรอนเกิดสภาวะประชากรผกผันแล้วก็กระตุ้นให้อิเล็กตรอนเปลี่ยนระดับพลังงานมาอยู่ที่สถานะพื้น ก็จะมีการปลดปล่อยแสงเลเซอร์ออกมา ซึ่งระบบที่สร้างขึ้นมาก็จะมีการปั๊มโดยใช้เลเซอร์ที่ความยาวคลื่น 980 นาโนเมตร ทำให้เกิดประชากรผกผันในใยแก้วนำแสงเออร์เบียมโดป เมื่อมีสัญญาณแสงความยาวคลื่น 1550 นาโนเมตร ผ่านเข้ามาในระบบก็จะเป็นการกระตุ้นทำให้เกิดเลเซอร์ที่ความยาวคลื่นเดียวกัน ผลที่ได้ก็จะทำให้แสงที่ความยาวคลื่น 1550 นาโนเมตรมีกำลังมากขึ้น ก็จะเป็นการขยายสัญญาณแสงตามที่ต้องการ ซึ่งนำไปใช้ในระบบการสื่อสารโดยใช้ใยแก้วนำแสง โดยจะเป็นตัวทวนสัญญาณเพื่อให้สามารถส่งสัญญาณไปได้ไกลๆ

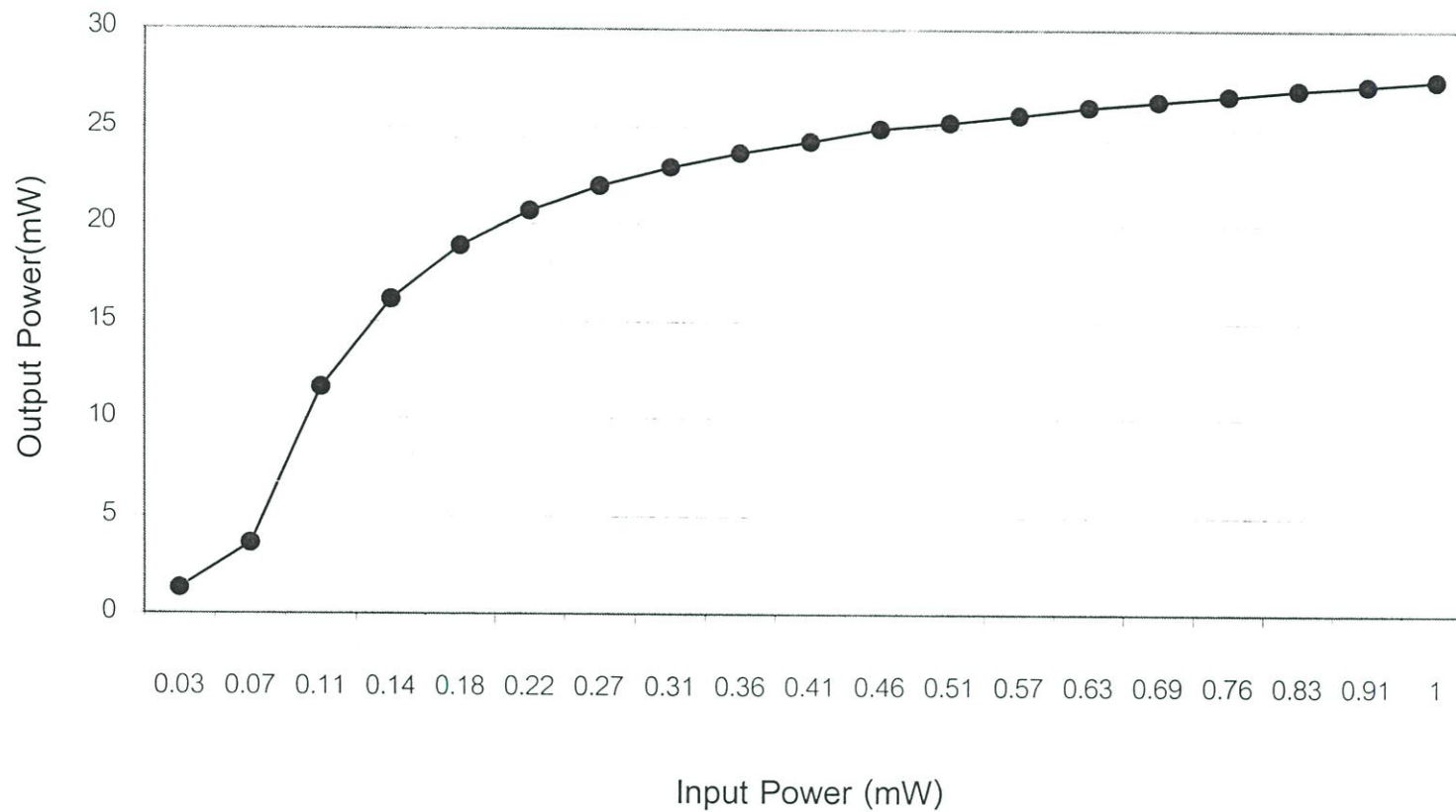
## 4.2 ผลการวัดและการคำนวณค่าคุณลักษณะของระบบการขยายสัญญาณแสง

### 4.2.1 ผลการวัดกำลังของสัญญาณแสงเอาต์พุตเทียบกับกำลังของสัญญาณแสงอินพุต

ทำการทดลองโดยการป้อนด้วยเลเซอร์ความยาวคลื่น 980 นาโนเมตร ที่กำลัง 100 mW แล้วป้อนสัญญาณแสงอินพุตที่มีความยาวคลื่น 1550 นาโนเมตร ทำการบันทึกค่ากำลังแสงอินพุตและกำลังแสงเอาต์พุตจากมิเตอร์วัดกำลัง ทำการทดลองเช่นเดิมแต่ปรับกำลังแสงอินพุตไปเรื่อยๆ ทำการทดลองซ้ำ 3 ครั้ง ได้ผลดังตารางที่ 4.1

ตารางที่ 4.1 แสดงกำลังของสัญญาณแสงเอาต์พุตเทียบกับกำลังของสัญญาณแสงอินพุต

Input Power (mW)	Output Power (mW)			
	ครั้งที่ 1	ครั้งที่ 2	ครั้งที่ 3	เฉลี่ย
0.034	1.33	1.29	1.31	1.31
0.069	3.61	3.65	3.62	3.63
0.105	11.62	11.59	11.63	11.61
0.143	16.13	16.15	16.12	16.13
0.182	18.91	18.88	18.87	18.87
0.223	20.65	20.69	20.67	20.67
0.265	21.96	21.97	21.98	21.97
0.309	22.91	22.94	22.93	22.93
0.356	23.69	23.71	23.65	23.68
0.405	24.32	24.27	24.29	24.29
0.456	24.92	24.95	24.94	24.94
0.509	25.31	25.28	25.25	25.28
0.567	25.68	25.65	25.66	25.66
0.627	26.08	26.11	26.04	26.08
0.691	26.35	26.41	26.34	26.37
0.759	26.64	26.67	26.66	26.66
0.834	26.98	26.95	26.94	26.97
0.913	27.21	27.19	27.23	27.21
1.000	27.49	27.45	27.51	27.48



รูปที่ 4.2 แสดงกราฟกำลังของสัญญาณแสงเอาต์พุตเทียบกับกำลังของสัญญาณอินพุต

จากผลการทดลองที่ได้จะเห็นว่าเมื่อกำลังของสัญญาณแสงอินพุตมีค่ามากขึ้นก็จะได้กำลังแสงเอาต์พุตมากขึ้นด้วย จากรูปที่ 4.2 ในช่วงแรกกราฟที่ได้จะมีความชันมากซึ่งจะเป็นการบอกว่ากำลังอินพุตที่มีค่าน้อยๆในช่วงแรกจะทำให้อัตราการเพิ่มของกำลังแสงเอาต์พุตมีค่ามาก เนื่องจากระบบยังไม่เกิดการอิ่มตัว และที่กำลังแสงอินพุตมีค่ามากกราฟจะมีความชันน้อยก็จะบอกถึงอัตราการเพิ่มของแสงเอาต์พุตมีค่าน้อยตามไปด้วย เนื่องจากระบบเข้าใกล้จุดอิ่มตัว การเกิดการอิ่มตัวจะขึ้นอยู่กับจำนวนประชากรผกผันที่เกิดขึ้น ซึ่งมีจำนวนคงที่เนื่องจากการบีบด้วยกำลังคงที่ สิ่งที่เกิดขึ้นในระบบ คือ ระบบจะถูกทำให้อยู่ในสภาวะประชากรผกผันโดยการป้อนเลเซอร์ปัม (980 nm) เข้าไป เมื่อมีแสงที่มีความยาวคลื่น 1550 นาโนเมตร ที่กำลังค่าต่างๆจะเป็นตัวกระตุ้นให้เกิดเลเซอร์ขึ้น เมื่อมีกำลังมากก็จะเกิดการกระตุ้นให้ได้เลเซอร์มากขึ้นตามไปด้วย ซึ่งจะสอดคล้องกับหลักการของการขยายสัญญาณ

#### 4.1.2 ผลของอัตราขยายสัญญาณ(Gain) เทียบกับกำลังของสัญญาณแสงอินพุต

จากผลการทดลองของค่าระหว่างกำลังของสัญญาณแสงเอาต์พุตเทียบกับกำลังของสัญญาณอินพุต นำผลที่ได้ไปคำนวณอัตราขยายสัญญาณได้จากสูตรดังสมการที่ 4.1 อัตราขยายสัญญาณเป็นค่าที่บอกถึงคุณภาพของระบบที่ใช้ในการขยายสัญญาณ

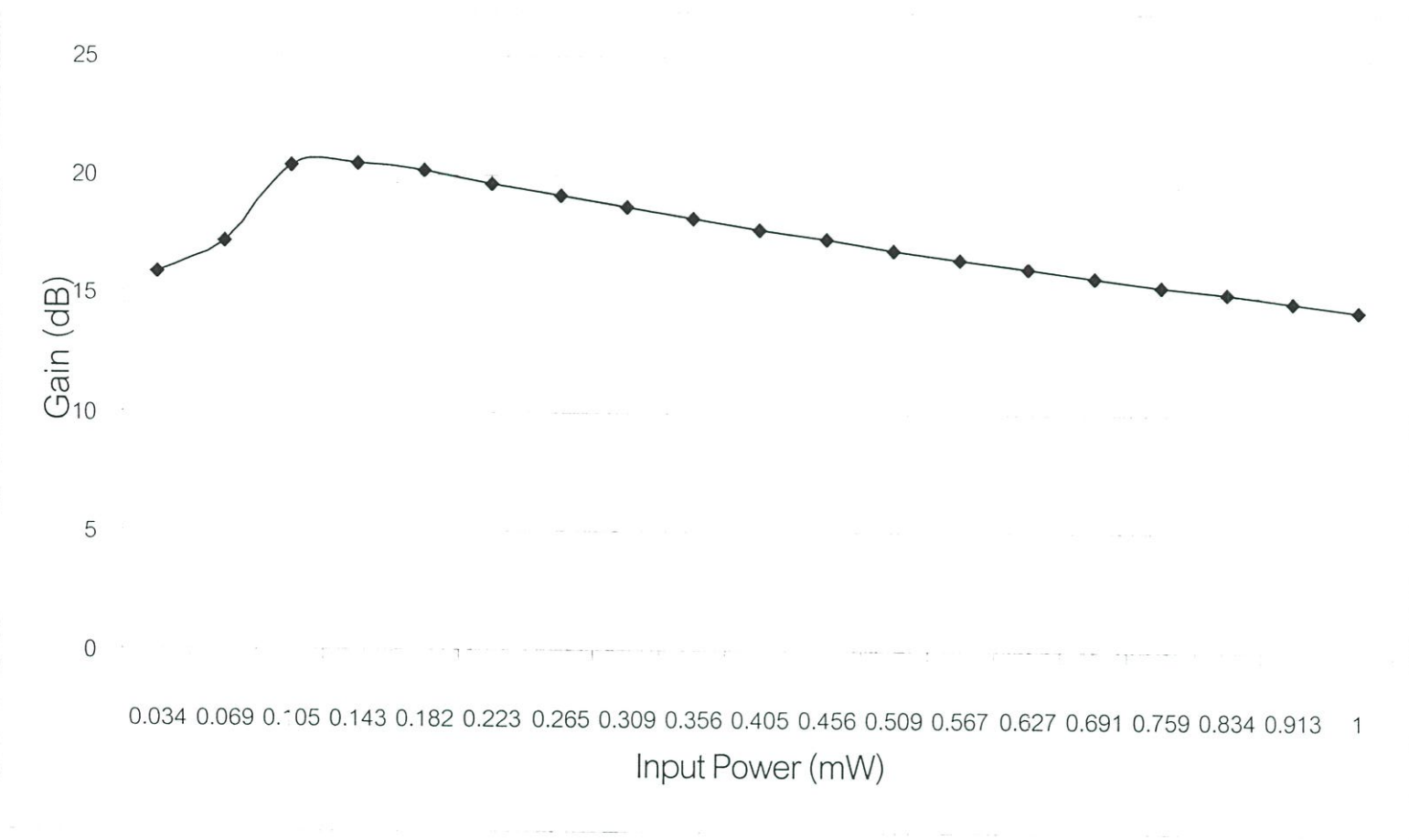
$$Gain (dB) = 10 \log_{10} \frac{P_{signal-out}}{P_{signal-in}} \quad (4.1)$$

ได้ผลดังตารางที่ 4.2 และรูปที่ 4.3 จากผลการที่ได้พบว่าอัตราขยายในช่วงแรกจะมีความชันมาก เมื่อไปถึงค่าสูงสุดจะเป็นจุดกลับของกราฟ แล้วจากนั้นจะมีความชันเป็นลบ สาเหตุเนื่องมาจากช่วงแรกกำลังแสงอินพุตมีค่าต่ำ ซึ่งในระบบมีจำนวนประชากรผกผันมาก เมื่อเทียบกับการกระตุ้นด้วยแสงอินพุต เมื่อกำลังแสงเพิ่มขึ้นจึงทำให้มีอัตราขยายเพิ่มขึ้นจนไปถึงจุดสูงสุดอยู่ที่ 20.52 dB ซึ่งที่จุดนี้จะเป็นจุดที่มีประสิทธิภาพสูงสุด คือ ที่กำลังแสงอินพุต 0.143 mW จากนั้นเมื่อป้อนแสงอินพุตมากขึ้นอัตราขยายจะค่อยๆลดลง ซึ่งเกิดจากการอิ่มตัวของระบบ ซึ่งมีสาเหตุมาจากการที่เราป้อนเลเซอร์ที่ใช้ปัมด้วยกำลังคงที่ ก็จะทำให้ระบบมีจำนวนอิเล็กตรอนที่อยู่ในระดับพลังงานสูงมีจำนวนคงที่ หรือกล่าวได้ว่ามีอัตราการเกิดประชากรผกผันมีค่าคงที่

ตารางที่ 4.2 แสดงอัตราขยายสัญญาณ(Gain) เทียบกับกำลังของสัญญาณแสงอินพุต

Input Power (mW)	Gain (dB)
0.034	15.86
0.069	17.21
0.105	20.44
0.143	20.52
0.182	20.16
0.223	19.67
0.265	19.19
0.309	18.71
0.356	18.23
0.405	17.78
0.456	17.38
0.509	16.96
0.567	16.56
0.627	16.19
0.691	15.81
0.759	15.46
0.834	15.09
0.913	14.74
1.000	14.39

จากกราฟที่โค้งขึ้นแล้วลดลงเรื่อยๆพบว่าเมื่อกำลังแสงอินพุตเพิ่มขึ้นถึงจุดหนึ่งจะได้ค่าอัตราขยายสูงสุดและแล้วจากนั้นก็อัตราขยายค่อยๆลดลงเนื่องมาจากเกิดการอิ่มตัวของระบบดังที่ได้กล่าวมาแล้วข้างต้น



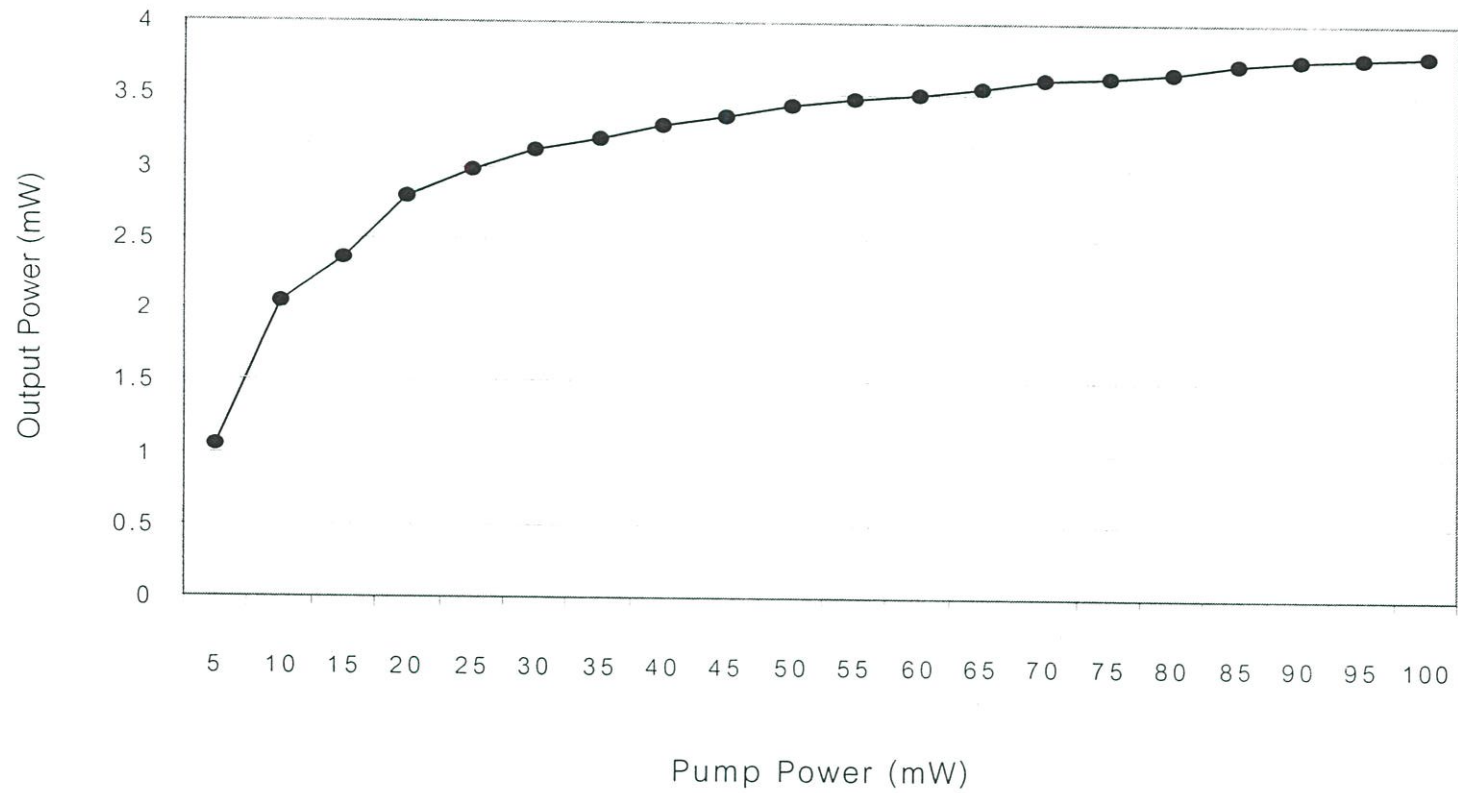
รูปที่ 4.3 แสดงกราฟอัตราขยายสัญญาณ(Gain) เทียบกับกำลังของสัญญาณแสงอินพุต

#### 4.2.3 ผลการวัดกำลังของสัญญาณแสงเอาต์พุตเทียบกับกำลังของเลเซอร์ปั๊ม

ทำการทดลองโดยการป้อนสัญญาณแสงอินพุตที่มีความยาวคลื่น 1550 นาโนเมตร ที่กำลัง 0.05 mW ปั๊มด้วยเลเซอร์ความยาวคลื่น 980 นาโนเมตร บันทึกกำลังแสงของเลเซอร์ปั๊มและกำลังแสงเอาต์พุตจากมิเตอร์วัดกำลัง ทำการทดลองเช่นเดิมแต่ปรับกำลังแสงของเลเซอร์ปั๊มไปเรื่อยๆ ได้ผลดังตารางที่ 4.3

ตารางที่ 4.3 แสดงกำลังของสัญญาณแสงเอาต์พุตเทียบกับกำลังของเลเซอร์ปั๊ม

Pump Power (mW)	Output Power (mW)			
	ครั้งที่ 1	ครั้งที่ 2	ครั้งที่ 3	เฉลี่ย
5	1.04	1.08	1.03	1.05
10	2.06	2.01	2.05	2.04
15	2.37	2.33	2.38	2.36
20	2.79	2.78	2.81	2.79
25	2.98	2.96	2.99	2.98
30	3.09	3.14	3.11	3.11
35	3.19	3.21	3.18	3.19
40	3.28	3.31	3.29	3.29
45	3.36	3.34	3.35	3.35
50	3.41	3.44	3.42	3.42
55	3.47	3.45	3.48	3.47
60	3.49	3.51	3.53	3.51
65	3.55	3.56	3.54	3.55
70	3.61	3.59	3.62	3.61
75	3.63	3.64	3.62	3.63
80	3.64	3.69	3.66	3.66
85	3.72	3.72	3.71	3.72
90	3.75	3.76	3.75	3.75
95	3.78	3.78	3.76	3.77
100	3.79	3.81	3.78	3.79



รูปที่ 4.4 แสดงกราฟกำลังของสัญญาณแสงเอาต์พุตเทียบกับกำลังของเลเซอร์ปั๊ม

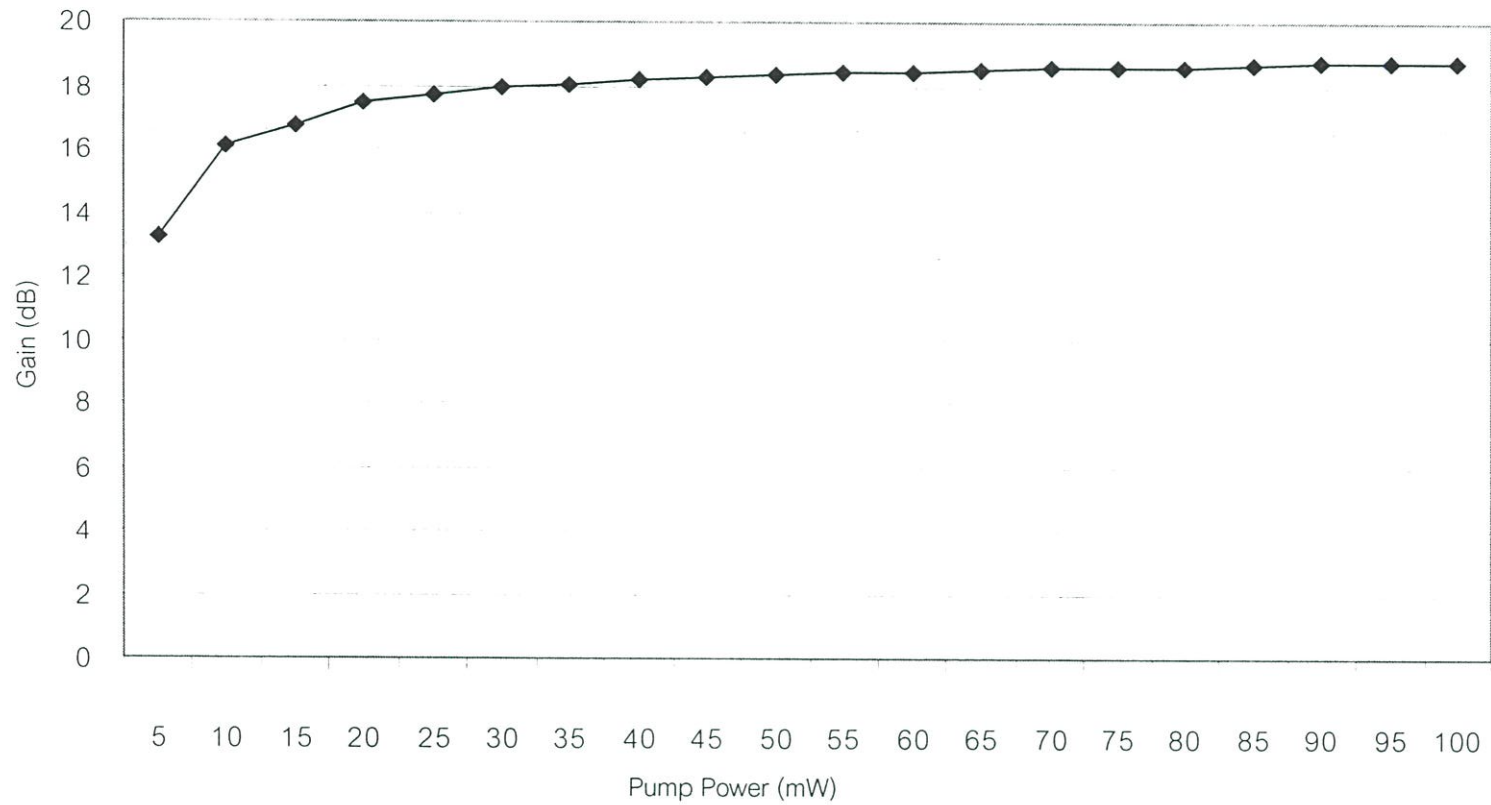
จากรูปที่ 4.4 ผลที่ได้เราพบว่าเมื่อเราป้อนเลเซอร์ปัมด้วยกำลังที่มากขึ้นจะได้กำลังของสัญญาณแสงเอาต์พุตมีค่ามากขึ้น ถึงแม้จะป้อนสัญญาณแสงอินพุตด้วยกำลังคงที่ สาเหตุนี้เองมาจากการเพิ่มกำลังของเลเซอร์ปัมจะเป็นการทำให้จำนวนอิเล็กตรอนไปอยู่ในระดับพลังงานที่สูง มีจำนวนมากขึ้น นั่นคือมีจำนวนประชากรผกผันมากขึ้นนั่นเอง เมื่อระบบถูกกระตุ้นด้วยสัญญาณแสงก็จะทำให้เกิดเลเซอร์มากขึ้น ผลที่ได้คือกำลังของสัญญาณแสงเอาต์พุตมีค่ามากขึ้นตามไปด้วย

#### 4.2.4 ผลของอัตราขยายสัญญาณ(Gain) เทียบกับกำลังของเลเซอร์ปัม

จากผลการทดลองของค่าระหว่างกำลังของสัญญาณแสงเอาต์พุตเทียบกับกำลังของเลเซอร์ที่ใช้ปัมนำผลที่ได้ไปคำนวณอัตราขยายสัญญาณ จากสมการที่ 4.1 เมื่อมีกำลังแสงอินพุต 0.05 mW ได้ผลดังตารางที่ 4.4

ตารางที่ 4.4 แสดงอัตราขยายสัญญาณ(Gain) เทียบกับกำลังของเลเซอร์ปัม

Pump Power (mW)	Gain (dB)
5	13.22
10	16.11
15	16.74
20	17.47
25	17.75
30	17.94
35	18.05
40	18.18
45	18.26
50	18.35
55	18.41
60	18.46
65	18.51
70	18.59
75	18.61
80	18.65
85	18.72
90	18.75
95	18.77
100	18.79



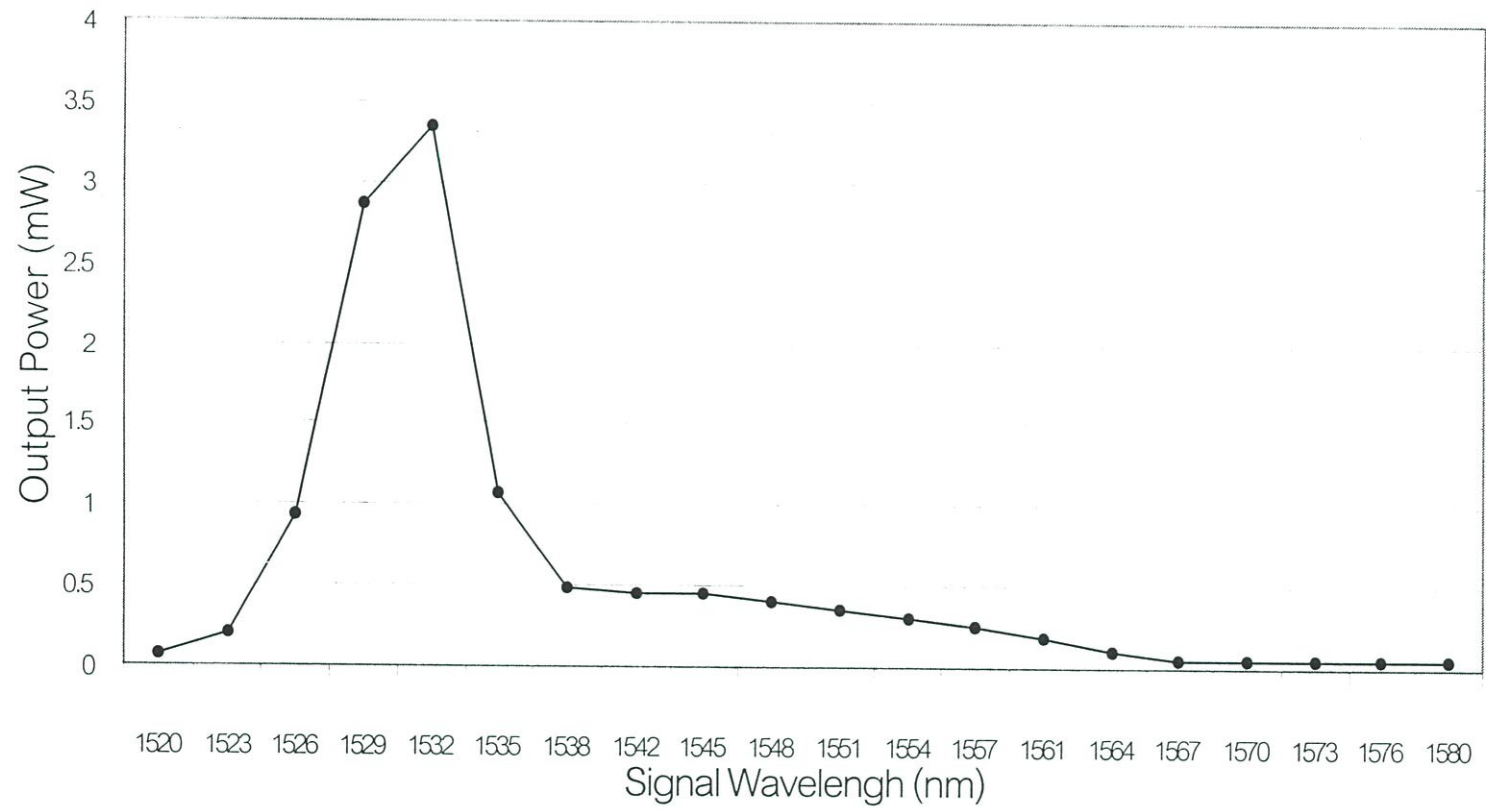
รูปที่ 4.5 แสดงกราฟระหว่างอัตราขยายสัญญาณ(Gain) เทียบกับกำลังของเลเซอร์ปั๊ม

จากรูปที่ 4.5 จะได้ว่าอัตราขยายจะมีค่ามากขึ้นแต่เมื่อกำลังของเลเซอร์ป้อนมีค่ามากก็จะทำให้อัตราขยายมีแนวโน้มคงที่สาเหตุเนื่องมาจากระบบเกิดการอิ่มตัวเนื่องมาจากการป้อนสัญญาณแสงด้วยกำลังคงที่ และความยาวของใยแก้วนำแสงเออร์เบียมโดปมีค่าคงที่ซึ่งก็จะทำให้อิเล็กตรอนในระบบมีจำนวนคงที่ด้วย

#### 4.2.5 ผลการวัดกำลังของสัญญาณแสงเอาต์พุตเทียบกับความยาวคลื่น

ตารางที่ 4.5 แสดงกำลังของสัญญาณแสงเอาต์พุตเทียบกับความยาวคลื่น

Signal Wavelength (nm)	Output Power (mW)			
	ครั้งที่ 1	ครั้งที่ 2	ครั้งที่ 3	เฉลี่ย
1520	0.063	0.066	0.062	0.064
1523	0.203	0.205	0.201	0.203
1526	0.938	0.935	0.937	0.937
1529	2.868	2.869	2.866	2.868
1532	3.348	3.345	3.346	3.346
1535	1.078	1.079	1.077	1.078
1538	0.486	0.484	0.486	0.485
1542	0.444	0.444	0.443	0.444
1545	0.453	0.454	0.456	0.454
1548	0.407	0.406	0.406	0.406
1551	0.357	0.355	0.356	0.356
1554	0.308	0.307	0.305	0.307
1557	0.254	0.251	0.253	0.252
1561	0.177	0.178	0.175	0.177
1564	0.103	0.104	0.103	0.103
1567	0.055	0.058	0.054	0.056
1570	0.054	0.055	0.053	0.054
1573	0.051	0.054	0.053	0.053
1576	0.049	0.053	0.052	0.051
1580	0.051	0.049	0.052	0.051



รูปที่ 4.6 แสดงกราฟระหว่างกำลังของสัญญาณแสงเออร์븀ที่เทียบกับความยาวคลื่น

ทำการทดลองโดยการป้อนสัญญาณแสงอินพุตที่ความยาวคลื่น 1550 นาโนเมตรที่กำลัง 0.05 mW ป้อนด้วยเลเซอร์ความยาวคลื่น 980 นาโนเมตร ที่กำลัง 100 mW ติดตั้งโมโนโครมาเตอร์ซึ่งจะเป็นตัวกรองความยาวคลื่นสามารถปรับเลือกความยาวคลื่นได้ บันทึกความยาวคลื่นและกำลังแสงเอาต์พุตจากมิเตอร์วัดกำลัง ทดลองเช่นเดิมแต่เปลี่ยนความยาวคลื่นไปเรื่อยๆ ทำการทดลองซ้ำ 3 ครั้งได้ผลดังตารางที่ 4.5

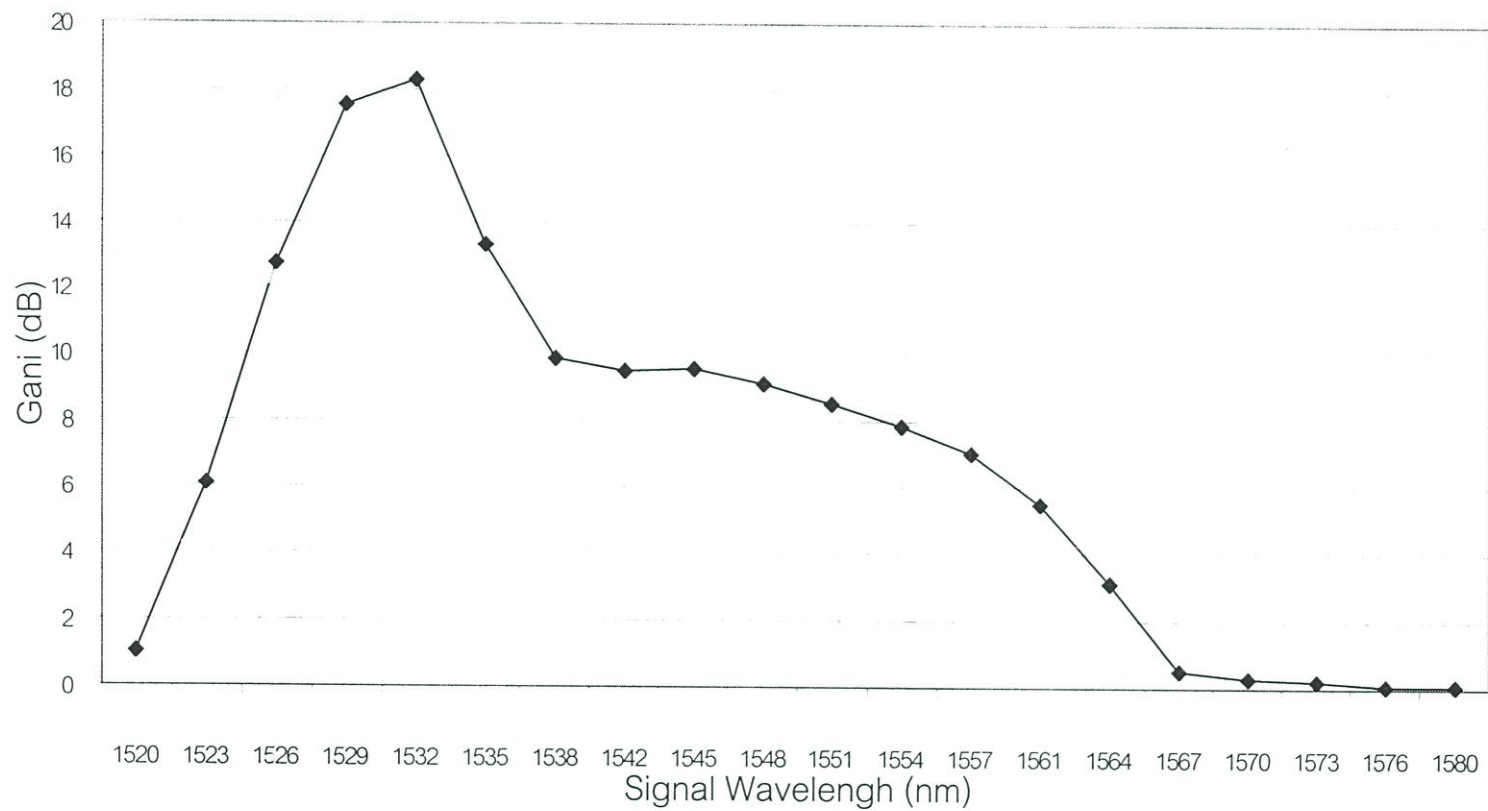
จากรูปที่ 4.6 พบว่าที่ความยาวคลื่นช่วง 1520 – 1532 นาโนเมตร กำลังของแสงจะมีแนวโน้มเพิ่มขึ้นจนถึงจุดสูงสุดที่ความยาวคลื่นประมาณ 1532 นาโนเมตร ซึ่งแสดงว่าความยาวคลื่นในช่วงนี้ถูกปลดปล่อยได้ดีเมื่อมีการกระตุ้นด้วยสัญญาณแสงอินพุต และที่ช่วงความยาวคลื่น 1540 - 1560 นาโนเมตร จะมีอัตราการเปลี่ยนแปลงน้อย คือจะมีแนวโน้มคงที่ และมีกำลังแสงต่ำกว่าช่วงแรก ซึ่งเป็นช่วงความยาวคลื่นที่เราสนใจในการสื่อสารด้วยแสงจะใช้ความยาวคลื่น 1550 นาโนเมตร ระบบนี้สามารถตอบสนองที่ความยาวคลื่นนี้ได้

#### 4.2.6 ผลของอัตราขยายสัญญาณ(Gain) เทียบกับความยาวคลื่น

จากผลการทดลองของค่าระหว่างกำลังของสัญญาณแสงเอาต์พุตเทียบความยาวคลื่นนำผลที่ได้ไปคำนวณหาอัตราขยายสัญญาณได้จากสมการที่ 4.1 เมื่อมีกำลังแสงอินพุต 0.05 mW ได้ผลดังตารางที่ 4.6 จะได้ว่าอัตราขยายในแต่ละความยาวคลื่นจะมีค่าไม่เท่ากับที่ส่วนที่ช่วงความยาวคลื่น 1540 -1560 นาโนเมตร จะมีแนวโน้มคงที่ได้กล่าวมาแล้วในหัวข้อข้างบนที่ จะเป็นผลตอบสนองต่อความยาวคลื่นแสงของระบบขยายสัญญาณแสงที่ได้สร้างขึ้นมา สามารถแสดงดังรูปที่ 4.7

ตารางที่ 4.6 แสดงอัตราขยายสัญญาณ(Gain) เทียบกับความยาวคลื่น

Signal Wavelength (nm)	Gain (dB)	Signal Wavelength (nm)	Gain (dB)
1520	1.07	1551	8.52
1523	6.09	1554	7.88
1526	12.73	1557	7.02
1529	17.59	1561	5.49
1532	18.26	1564	3.14
1535	13.34	1567	0.49
1538	9.87	1570	0.33
1542	9.48	1573	0.25
1545	9.58	1576	0.09
1548	9.1	1580	0.09



รูปที่ 4.7 แสดงกราฟระหว่างอัตราขยายสัญญาณ(Gain) เทียบกับความยาวคลื่น

#### 4.2.7 การคำนวณค่าประสิทธิภาพในการแปลงกำลัง

##### (Power Conversion Efficiency, PCE)

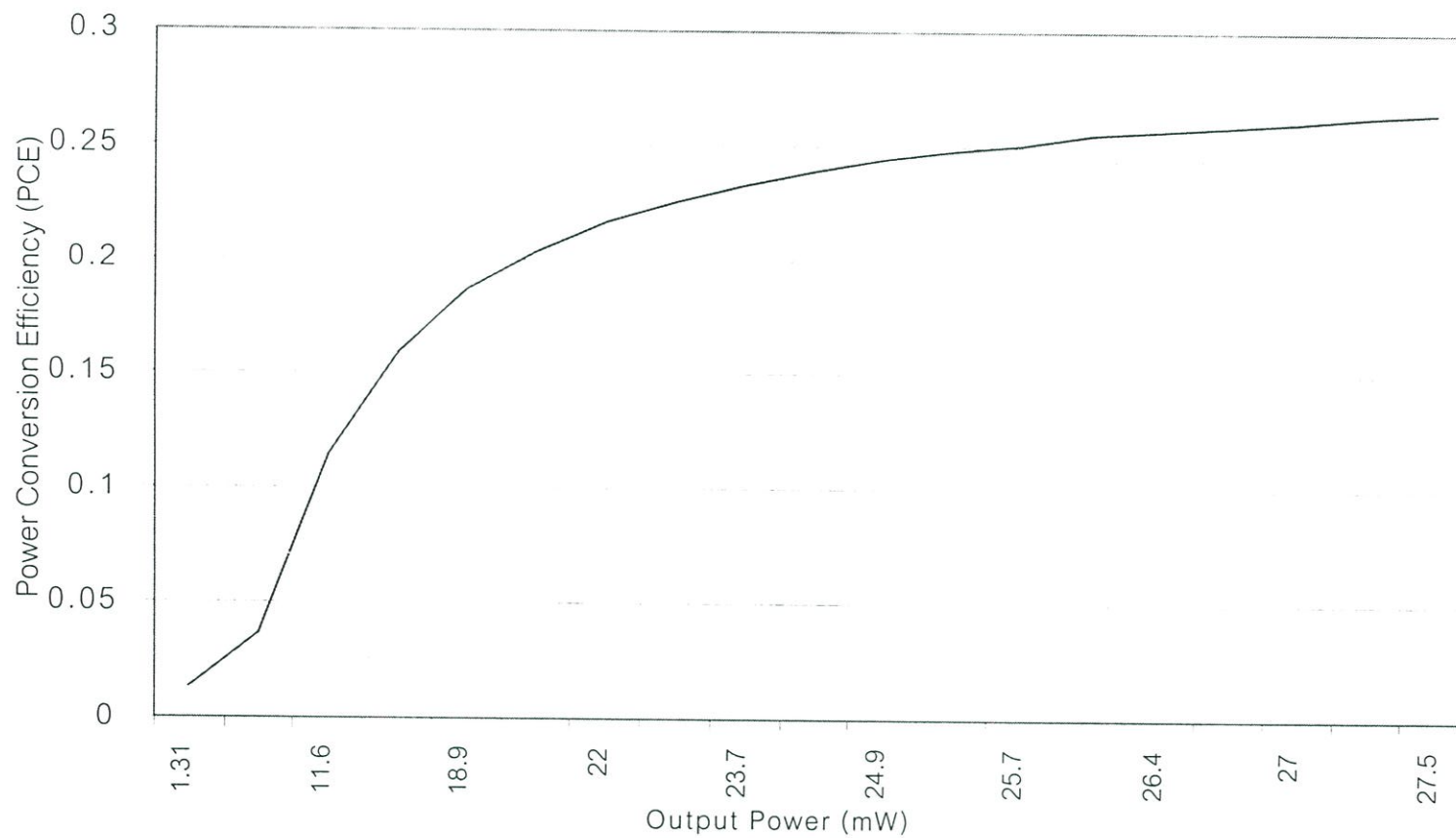
PCE เป็นค่าที่บอกถึงประสิทธิภาพในการแปลงกำลังแสงที่ป้อนให้กับระบบ ซึ่งจะแสดงถึงคุณภาพของระบบขยายสัญญาณสามารถคำนวณจากสมการที่ 4.2

$$PCE = \frac{(P_{signal-out} - P_{signal-in})}{P_{pump}} \quad (4.2)$$

ผลการคำนวณแสดงได้ดังตารางที่ 4.7

ตารางที่ 4.7 แสดงค่าประสิทธิภาพในการแปลงกำลัง (PCE)

Input Power (mW)	Output Power (mW)	PCE	PCE(%)
0.034	1.31	0.013	1.3
0.069	3.63	0.037	3.7
0.105	11.61	0.115	11.5
0.143	16.13	0.159	15.9
0.182	18.87	0.187	18.7
0.223	20.67	0.204	20.4
0.265	21.97	0.217	21.7
0.309	22.93	0.226	22.6
0.356	23.68	0.233	23.3
0.405	24.29	0.239	23.9
0.456	24.94	0.245	24.5
0.509	25.28	0.248	24.8
0.567	25.66	0.251	25.1
0.627	26.08	0.255	25.5
0.691	26.37	0.257	25.7
0.759	26.66	0.259	25.9
0.834	26.97	0.261	26.1
0.913	27.21	0.263	26.3
1.000	27.48	0.265	26.5



รูปที่ 4.8 แสดงกราฟระหว่างค่า PCE และกำลังแสงเอาต์พุต

จากรูปที่ 4.8 จะเห็นว่ากราฟที่ได้มีแนวโน้มสูงเป็นเส้นโค้งขึ้นเมื่อกำลังมากขึ้น ที่กำลังแสงต่ำจะมีความชันสูง แสดงว่าอัตราการเปลี่ยนแปลงในช่วงนี้จะมีค่ามากกว่าช่วงที่มีกำลังแสงอินพุตสูง คือระบบในช่วงแรกยังสามารถตอบสนองต่อการขยายสัญญาณได้ดี ส่วนช่วงที่มีกำลังแสงอินพุตสูงจะมีอัตราการเปลี่ยนแปลงน้อยลง เนื่องมาจากเกิดการอิ่มตัวของระบบขยายสัญญาณ คืออัตราการเปลี่ยนระดับพลังงานมาสู่สถานะพื้นนั้นเริ่มจะคงที่ ซึ่งระบบมีจำนวนอิเล็กตรอนจำกัด ค่าประสิทธิภาพสูงสุดของระบบอยู่ที่ 29.4 % เป็นการบอกถึงปริมาณกำลังที่ให้กับระบบเป็น 100 ส่วน แล้วได้กำลังเอาต์พุต 29.4 ส่วน

#### 4.2.8 การคำนวณค่าประสิทธิภาพในการแปลงทางควอนตัม

##### (Quantum Conversion Efficiency, QCE)

เป็นค่าที่บอกถึงประสิทธิภาพกำลังที่เกี่ยวข้องกับความยาวคลื่นของแสงที่ไปอนให้กับระบบ ซึ่งระบบจะมีการป้อนความยาวคลื่นที่ 980 นาโนเมตร เป็นของแสงเลเซอร์ปั๊ม และ 1550 นาโนเมตรเป็นของสัญญาณแสงที่ต้องการขยาย ซึ่งจะเป็นค่าประสิทธิภาพทางควอนตัม สามารถที่จะคำนวณได้จากสมการที่ 4.3

$$QCE = PCEX \left( \frac{\lambda_{signal}}{\lambda_{pump}} \right) \quad (4.3)$$

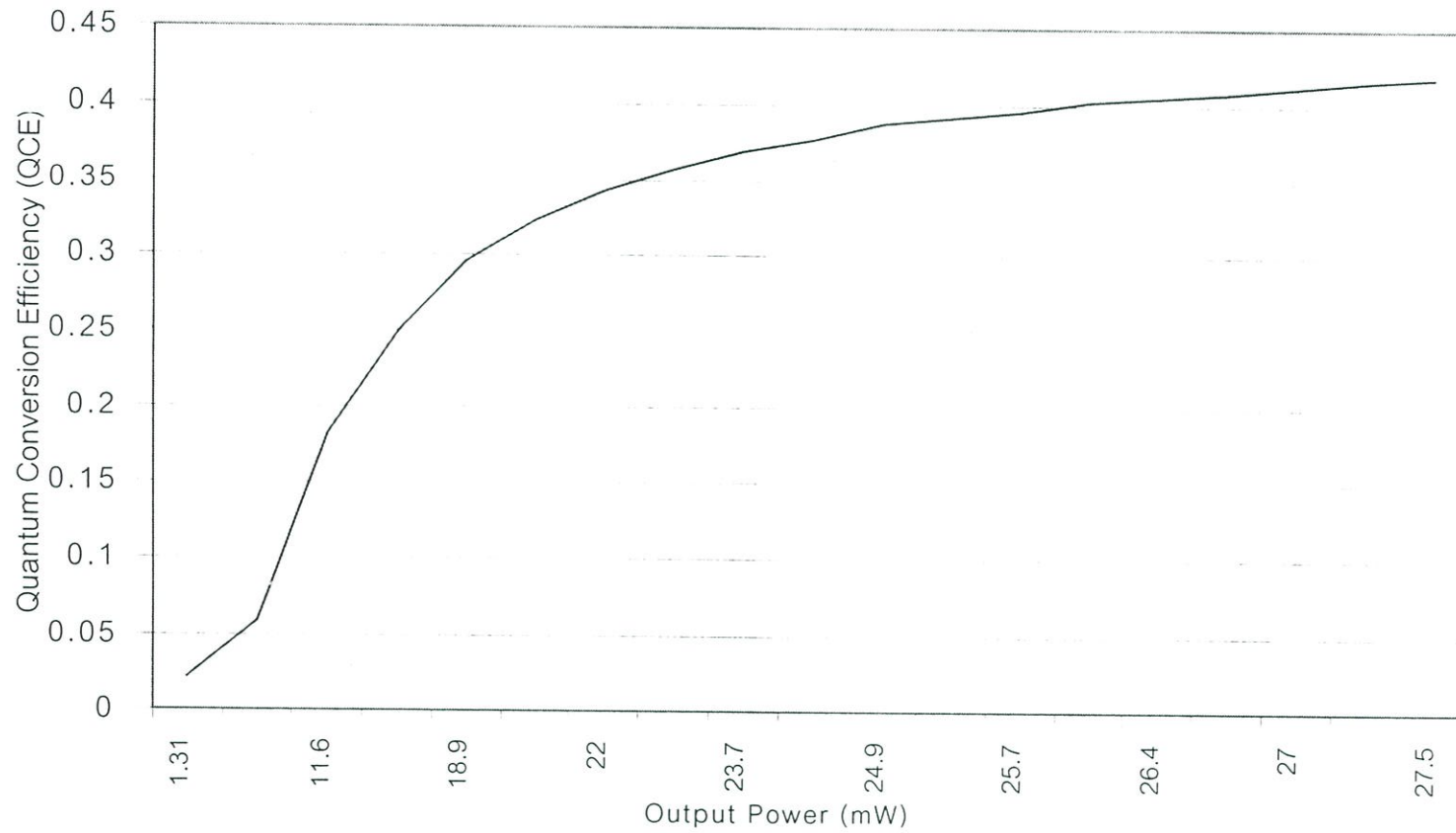
$$\text{เมื่อ } \lambda_{signal} = 1550 \text{ nm}$$

$$\lambda_{pump} = 980 \text{ nm}$$

ได้ผลดังตารางที่ 4.8

ตารางที่ 4.8 ค่าประสิทธิภาพในการแปลงทางควอนตัม (QCE)

Output Power (mW)	QCE	Output Power (mW)	QCE
1.31	0.021	24.94	0.388
3.63	0.059	25.28	0.392
11.61	0.182	25.66	0.397
16.13	0.251	26.08	0.403
18.87	0.296	26.37	0.406
20.67	0.323	26.66	0.409
21.97	0.343	26.97	0.413
22.93	0.357	27.21	0.416
23.68	0.369	27.48	0.419
24.29	0.378	-	-

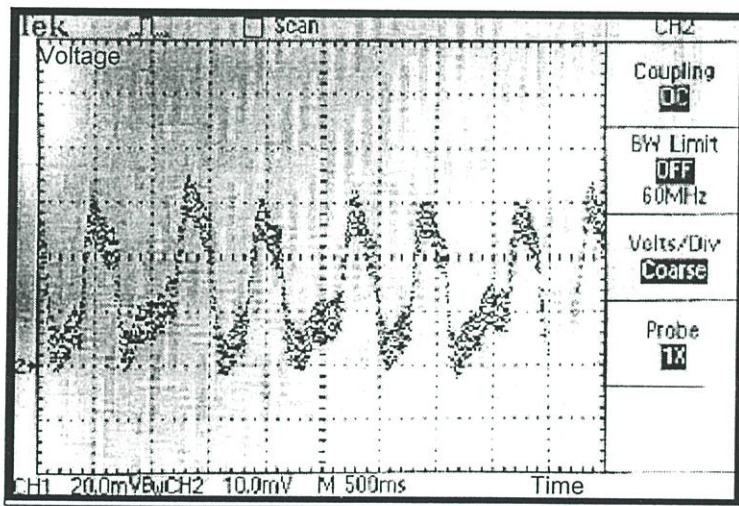


รูปที่ 4.9 แสดงกราฟระหว่างค่าประสิทธิภาพการแปลงทางควอนตัมกับกำลังของสัญญาณแสงอินพุต

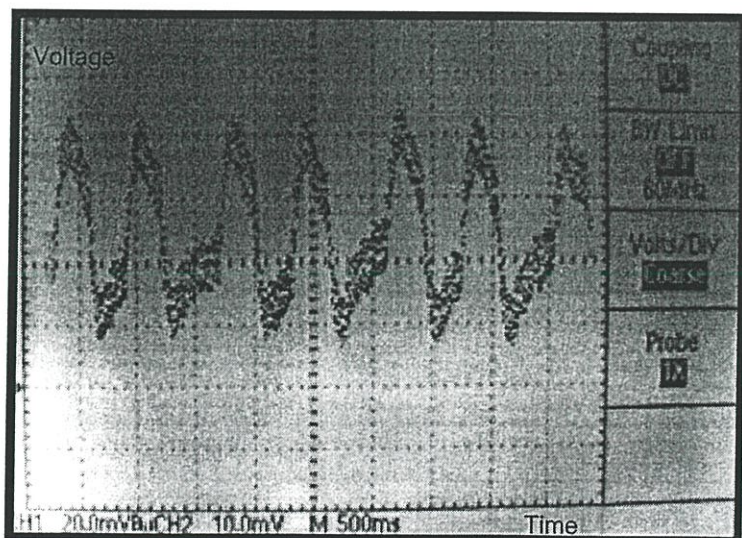
จากรูปที่ 4.9 จะเห็นว่าค่าประสิทธิภาพการแปลงทางควอนตัมมีแนวโน้มสูงขึ้นเมื่อกำลังแสงเอาต์พุตมากขึ้น คล้ายกับค่าประสิทธิภาพการแปลงกำลัง ค่า QCE ของระบบจะมีค่าสูงที่สุด 46.6 %

#### 4.2.9 ผลการขยายสัญญาณแสงที่มีการมอดูเลต

ทำการทดลองโดยการป้อนสัญญาณแสงที่เป็นพัลส์ แสดงลักษณะสัญญาณดังรูปที่ 4.10 เป็นรูปที่ได้จากการวัดโดยออสซิลโลสโคป ในแนวแกนอนจะเป็นค่าเวลาซึ่งจะมีค่า 500 ms ต่อช่องและในแนวแกนตั้งจะเป็นค่าแรงดันมีค่า 10 mV ต่อช่อง วัดจากสัญญาณแสงอินพุต ผลของสัญญาณแสงเอาต์พุตแสดงดังรูปที่ 4.11 จะมีขนาดของสัญญาณมากขึ้นเนื่องจากการขยายสัญญาณแสงที่ป้อนเข้าไปทำให้มีกำลังแสงมากขึ้น และสัญญาณที่ได้ยังมีความถี่คงเดิม จะพบว่าเส้นของสัญญาณจะมีสัญญาณรบกวนที่เกิดจากโฟโตดีเท็คเตอร์



รูปที่ 4.10 แสดงสัญญาณแสงอินพุตที่มีการมอดูเลต



รูปที่ 4.11 แสดงสัญญาณแสงเอาต์พุตที่มีการมอดูเลต

## บทที่ 5

# สรุปผลการดำเนินงานวิจัยและข้อเสนอแนะ

### 5.1 สรุปผลการดำเนินงานวิจัย

การขยายสัญญาณแสงคือ การทำให้แสงมีกำลังเพิ่มขึ้น ในการสื่อสารโดยใช้ใยแก้วนำแสง นั้นจะใช้เลเซอร์ไดโอดเป็นอุปกรณ์ ที่จะส่งสัญญาณแสงไปในใยแก้วนำแสง ดังนั้นวิธีการที่จะขยายสัญญาณแสง ก็จะต้องทำให้เกิดแสงเลเซอร์ขึ้นในใยแก้วนำแสงขึ้นอีก เพื่อจะทำให้มีกำลังแสงมากขึ้น หลักการสำคัญ คือ การกระตุ้นให้เกิดเลเซอร์ขึ้นก็จะมีกระบวนการเหมือนกับการกำเนิดเลเซอร์ ต้องมีการปั๊มด้วยเลเซอร์ให้เกิดประชากรผกผันในระบบแล้วกระตุ้นให้เกิดเลเซอร์ด้วยสัญญาณแสง ใยแก้วนำแสงเออร์เบียมโคปเป็นอุปกรณ์สำคัญที่เป็นตัวกลางทำให้เกิดเลเซอร์ ระบบการขยายสัญญาณแสงที่ใช้ในระบบการสื่อสารจะใช้ที่ความยาวคลื่น 1550 นาโนเมตร สาเหตุที่เลือกใช้ธาตุเออร์เบียมเพื่อมาโคปในใยแก้วนำแสงเนื่องจากแถบพลังงานของเออร์เบียมตรงกับพลังงานที่ความยาวคลื่น 1550 นาโนเมตร ซึ่งจะมีการขยายอยู่สองรูปแบบคือ แบบสองระดับพลังงานจะปั๊มด้วยเลเซอร์ที่ความยาวคลื่น 1480 นาโนเมตร และแบบสามระดับพลังงานจะปั๊มด้วยเลเซอร์ที่ความยาวคลื่น 980 นาโนเมตร การเลือกใช้เลเซอร์เพื่อปั๊มให้กับระบบก็ต้องให้มีพลังงานมากกว่าความยาวคลื่น 1550 นาโนเมตร ซึ่งจะต้องเหมาะสมกับแถบพลังงานของเออร์เบียมด้วย

ระบบการขยายสัญญาณแสงโดยใช้ใยแก้วนำแสงเออร์เบียมโคปที่สร้างขึ้นมานั้นจะใช้ใยแก้วนำแสงเออร์เบียมโคปยาว 10 เมตร ใช้เลเซอร์ความยาวคลื่น 1550 นาโนเมตร เป็นตัวป้อนสัญญาณแสง และใช้ปั๊มด้วยเลเซอร์ความยาวคลื่น 980 นาโนเมตร จะเป็นการขยายแบบสามระดับพลังงานผลที่ได้ ระบบจะมีอัตราขยาย 20 dB จากผลการศึกษาพบว่าการปั๊มด้วยเลเซอร์ที่กำลังมากขึ้นจะได้อัตราขยายสูงขึ้น และระบบมีการตอบสนองกับสัญญาณแสงได้ดีทั้งที่เป็นสัญญาณแบบต่อเนื่องและสัญญาณที่ได้มีการมอดูเลต

อัตราขยายของระบบจะขึ้นอยู่กับความยาวของใยแก้วนำแสงเออร์เบียมโคปและกำลังของเลเซอร์ปั๊ม ทั้งสองอย่างนี้จะต้องเหมาะสมจะทำให้ได้อัตราขยายสูงสุด ใยแก้วนำแสงเออร์เบียมโคปที่ยาวต้องใช้กำลังแสงเลเซอร์มากเพื่อจะทำให้เพียงพอที่จะทำให้เกิดประชากรผกผันได้อย่างทั่วถึงตลอดความยาวของใยแก้วนำแสงเออร์เบียมโคป แต่ถ้ากำลังของเลเซอร์ปั๊มน้อยไปก็จะทำให้การเกิดประชากรผกผันไม่ทั่วถึงตลอดความยาวของใยแก้วนำแสงเออร์เบียมโคป ซึ่งจะทำให้เกิดการลดทอนในระบบทำให้ได้อัตราขยายต่ำกว่าที่ควรจะได้ และอีกอย่างหนึ่งที่มีผลต่ออัตราขยายของระบบ คือการเชื่อมต่อที่มีคุณภาพเกิดการสูญเสียของกำลังแสงน้อยที่สุด ในระบบจะมีการเชื่อมต่อระหว่างอุปกรณ์แต่ละตัว ซึ่งต้องใช้ทักษะและความชำนาญในการที่จะเชื่อมต่อให้ได้คุณภาพดี

การอ้อมตัวของกรขยายสัญญาณ สาเหตุแรกเนื่องมาจากการมีจำนวนประชากรผกผันที่จำกัด ซึ่งเกิดจากการที่มีใยแก้วนำแสงเออร์เบียมโดปความยาวจำกัด และกำลังของเลเซอร์ปั๊มมีค่าคงที่ ดังนั้นการเพิ่มกำลังของสัญญาณแสงอินพุตมากขึ้นจะไม่ทำให้ได้อัตราขยายเพิ่มขึ้น และสาเหตุที่สองการกระตุ้นทำให้อิเล็กตรอนกลับมาที่สถานะพื้นมีอัตราคงที่ เกิดจากการป้อนกำลังของสัญญาณแสงอินพุตด้วยกำลังคงที่ ดังนั้นการเพิ่มกำลังของเลเซอร์ปั๊มมากขึ้นจะไม่ทำให้ได้อัตราขยายเพิ่มขึ้น

ความยาวคลื่นของสัญญาณแสงเอาต์พุตนั้นจะพบว่าที่ความยาวคลื่นประมาณ 1532 นาโนเมตรจะมีกำลังและอัตราขยายสูงที่สุด และในช่วงความยาวคลื่น 1540-1560 นาโนเมตร จะมีแวนโง้มคงที่ ซึ่งตรงกับความยาวคลื่นที่ต้องการขยายในระบบสื่อสารทางแสงซึ่งจะมีความยาวคลื่นตรงกลางอยู่ที่ 1550 นาโนเมตร และจากการดำเนินงานวิจัยเราได้ทดลองขยายสัญญาณที่ได้มีการมอดคูเลตพบว่าระบบสามารถที่จะขยายสัญญาณได้ตามปกติไม่เกิดความผิดเพี้ยนของสัญญาณ

## 5.2 ข้อเสนอแนะ

- ในระบบการขยายสัญญาณนี้จะเป็นเลเซอร์ในย่านอินฟราเรดซึ่งไม่สามารถมองเห็นได้จะมีความยากในการที่จะติดตั้งระบบ ต้องทำด้วยความระมัดระวัง และตรวจสอบระบบในแต่ละส่วนเพื่อให้ได้การส่งผ่านกำลังให้ได้มากที่สุด
- เนื่องจากเลเซอร์ที่ใช้ในการปั๊มให้กับระบบมีกำลังสูง ต้องใช้งานด้วยความระมัดระวัง เพราะอาจเกิดอันตรายกับผู้ทดลองได้ และพบว่าเมื่อเลเซอร์กำลังทำงานสามารถที่จะเกิดการไหม้ที่ปลายใยแก้วได้เมื่อเกิดการเสียดสีสามารถเห็นประกายไฟและทำให้ปลายใยแก้วแตกหักได้
- การเชื่อมต่อต้องใช้ทักษะในการทำเป็นพิเศษ ต้องมีการทำความสะอาดปลายของใยแก้วทุกขั้นตอน การตัดต้องให้ได้รอยตัดที่เรียบ และการจัดแนวของปลายใยแก้วให้สัมผัสกันให้พอดีเพื่อที่จะเกิดการหลอมรวมอย่างเหมาะสม
- การติดตั้งเลเซอร์และโฟโตนิกส์เทคเตอร์นั้นต้องมีการจับยึดให้แน่นเพื่อให้ระบบมีคงที่ตลอดการทดลอง
- การใช้โมโนโครมาเตอร์ต้องจัดแนวของลำแสงให้ตรงกับโฟโตนิกส์เทคเตอร์เพื่อที่จะให้ได้กำลังแสงสูงสุด เนื่องจากเป็นแสงที่เราไม่สามารถมองเห็นได้เราจะต้องปรับจนกว่าจะได้กำลังสูงสุดโดยจะแสดงผลที่มิเตอร์วัดกำลัง

### 5.3 แนวทางในการวิจัยและพัฒนา

การขยายสัญญาณแสงด้วยระบบเชิงแสงนั้นมีความจำเป็นอย่างยิ่งในการสื่อสาร การหารูปแบบของระบบเพื่อให้ได้อัตราขยายที่สูงขึ้น โยแก้วนำแสงเออร์เบียมโคปนอกจากในการทำเป็นระบบการขยายสัญญาณแสงแล้ว ยังสามารถที่จะทำเป็นแหล่งกำเนิดแสงเลเซอร์ซึ่งเป็นโยแก้วนำแสงเลเซอร์(Fiber Laser) และนำไปทำเป็นระบบการตรวจจับโดยใช้โยแก้วนำแสง (Fiber sensor) เช่นการนำไปเป็นตัวตรวจวัดอุณหภูมิ โดยใช้หลักการฟลูออเรสเซน (Fluorescent) คือการให้ระบบเกิดการแผ่แสงขึ้นเอง ซึ่งอุณหภูมิจะมีผลต่อเวลาในการแผ่คลื่นแสง ซึ่งต้องมีการปั๊มด้วยเลเซอร์เข้าไปในโยแก้วนำแสงเออร์เบียมโคป การจับเวลาจะเริ่มเมื่อมีการปั๊มโดยจะควบคุมการปั๊มด้วยพัลส์ เวลาที่ได้จะมีความสัมพันธ์กับอุณหภูมิ จึงทำให้สามารถที่จะประยุกต์เป็นตัวตรวจวัดอุณหภูมิได้

## เอกสารอ้างอิง

- [1] T.Mukai, Y. Yamamoto, and T. Kimura, "Optical amplification by semiconductor laser" ,  
Semiconductor and Semimetals, Vol.22, Part E, PP.265-319, 1989.
- [2] A. J. Stentz, "Progress on Raman Amplifiers" , Optical Fiber Communication Conference,  
Vol.6 , PP.343, 1997.
- [3] J. Aspell and N. Bergano, "Erbium-doped Fiber Amplifiers for Future under sea  
Transmission", SPIE 1373, PP.188-196, 1990.
- [4] D. A. Smith, M.W. Maeda, J. J. Johnson, J. S. Patel, M. A. Saifi, and A. von Lehman,  
"Acoustically tuned erbium-doped fiber ring laser," *Opt.Lett.*, vol. 15, pp. 387–389, 1991.
- [5] Evgeny V. Vanin, Ulf Persson, "Spectral Functional Forms for Gain and Noise  
Characterization of Erbium-Doped Fiber Amplifiers", JOURNAL OF LIGHTWAVE  
TECHNOLOGY, VOL. 20. NO. 2,2002.
- [6] P.C.Becker, N.A.Olsson and J.R.Simpson, " Erbium-Doped Fiber Amplifier Fundamentals  
and Technology " , ACADEMIC PRESS, USA.1999.
- [7] P.W.France, " Optical Fiber Lasers & Amplifiers " , Blackie CRC Prees, Inc, USA and  
Cannada.1991.
- [8] Tony Ambrosini, " Erbium-Doped Fiber Amplifiers", Optical Fiber Communications,  
April 21, 2000.
- [9] รศ.ดร.ปรีชา อุพาพิน, " เครื่องขยายใยแก้วนำแสง " , สมาคมส่งเสริมเทคโนโลยี (ไทย-ญี่ปุ่น),  
พิมพ์ครั้งที่ 2, กรุงเทพฯ.2543.
- [10] รศ.ดร.ปรีชา อุพาพิน, " วิศวกรรมใยแก้วนำแสง " , สมาคมส่งเสริมเทคโนโลยี (ไทย-ญี่ปุ่น),  
กรุงเทพฯ.2544.
- [11] Qinghe Mao, Jingsong Wang, Xiaohan Sun, Mingde Zhang, " A Theoretical Analysis of  
Amplification Characteristics of Bi-direction Erbium-Doped Fiber" in Optical  
communications 159(1999), Full length Article, PP.149-157.
- [12] Shoichi Sudo, "Optical Fiber Amplifiers: Materials, Devices and Applications. 1997.
- [13] I. Yamashita, K. Shimoura, S. Seikai, and T. Fukuoka, "Er doped fiber amplifier operating  
at wavelengths of 1.55 and 1.60  $\mu$ m," *Electron. Lett.*, Vol. 32, 1996,
- [14] M. A. Mahdi, F. R. M. Adikan, P. Poopalan, S. Selvakennedy, and H. Ahmad, "High-gain  
bidirectional Er-doped fiber amplifier for conventional and longwavelength bands," *IEEE  
Photon. Technol. Lett.*, Vol. 12, 2000, pp. 1468–1470.

ภาคผนวก

## ภาคผนวก ก. ไยแก้วนำแสงเออร์เบียมโดป

# Erbium-Doped Fiber

### Ordering Information

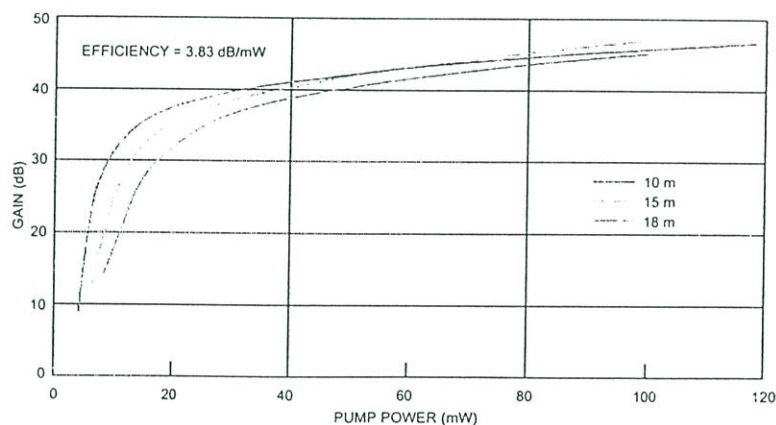
For ordering information, please see page 266.

Newport's **Erbium-Doped Fiber** provides the basic building block to fiber optic amplifiers used in broadband optical networks and CATV applications in the 1550 nm fiber optic transmission window. Having an erbium dopant concentration of 220 ppm, and

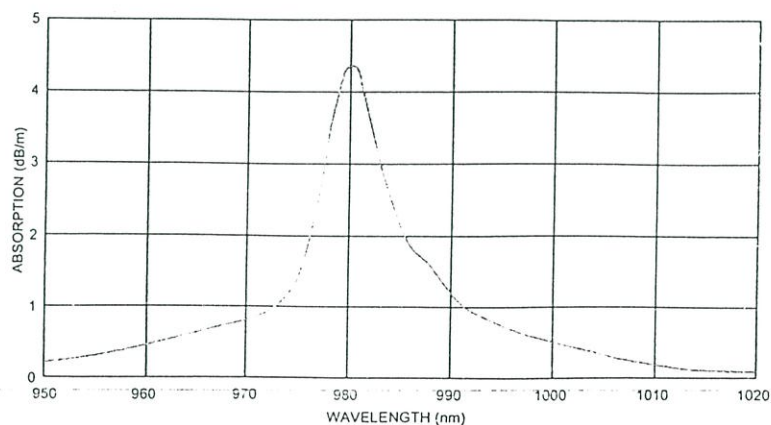
co-doped with alumina, this fiber can deliver gain-efficiencies in excess of 3.5 dB/mW, when pumped with a 980 nm laser diode. Small signal gains of greater than 20 dB have been achieved with only 12 m of this fiber, over a gain bandwidth of greater than 30 nm.

### Specifications

Model	F-EDF
Operating Wavelength	980/1550 nm
Index Profile	Step
NA	0.21
Mode Field Diameter @ 1310 nm	3.5 $\mu\text{m}$
Cladding Diameter	125/245 $\mu\text{m}$
Efficiency w/980 nm Pump	3.83 dB/mW
Absorption @ 1535/978 nm	5.5/5.2 dB/m
Cut-off Wavelength	880 nm
Background Loss	3.1 dB/km



Typical amplifier gain vs 980 nm pump power. Note that amplifier gain performance is affected by input signal wavelength, bandwidth and saturation level.



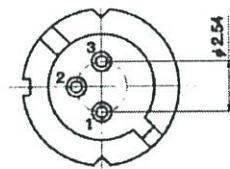
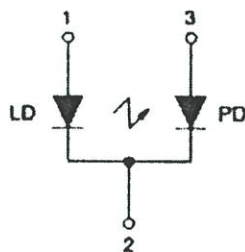
## ภาคผนวก ข. Laser Diode Driver

**LASER DIODE DRIVER "CCC"**Common laserdiode **C**athode and photodiode **C**athode

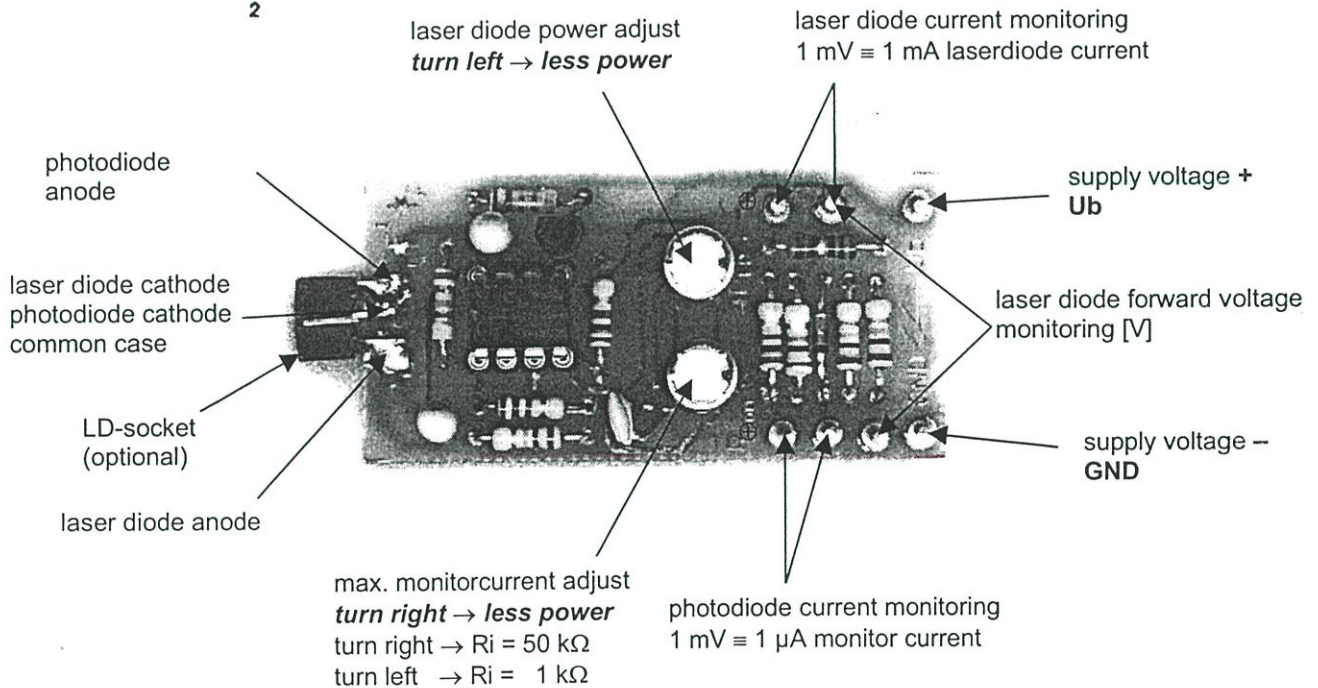
## TECHNICAL DATA:

- dimension: 26 x 53 mm<sup>2</sup>
- supply voltage: min. 2.7 VDC ( $U_{FLD} + 1.0$  VDC) up to 6.0 VDC
- max. laser diode current: typ. 120 mA
- adjustable monitorcurrent: 7.2  $\mu$ A ... 360  $\mu$ A
- laser diode power adjustable from 0 bis max.
- laser diode power independent from supply voltage
- low noise

## LASERDIODE PINNING:



- 1) laser diode anode
- 2) laser diode cathode and photodiode cathode = case
- 3) photodiode anode

**ROITHNER LASERTECHNIK**

A-1040 VIENNA, SCHOENBRUNNER STRASSE 7, AUSTRIA

TEL: +43 -1- 586 52 43-0 FAX: +43 -1- 586 52 43-44

office@roithner-laser.com www.roithner-laser.com

ภาคผนวก ค. Optical Power Sensor

TEST PERFORMANCE SHEETS  
FOR  
OPTICAL POWER SENSOR  
MA9723A  
Serial No. M. ๖๘๒๔๑

The test sheets were made after the careful inspection of your instrument. The specification items other than following descriptions were also examined and found to be perfect.

ANRITSU CORPORATION  
Inspection Dept.  
Measuring Instruments Div.

Date	MAR. 1. 1995
Temperature	24 °C
Relative humidity	23 %
Tested by	<i>E. Yamagishi</i>
Inspected by	<i>N. Yamagishi</i>

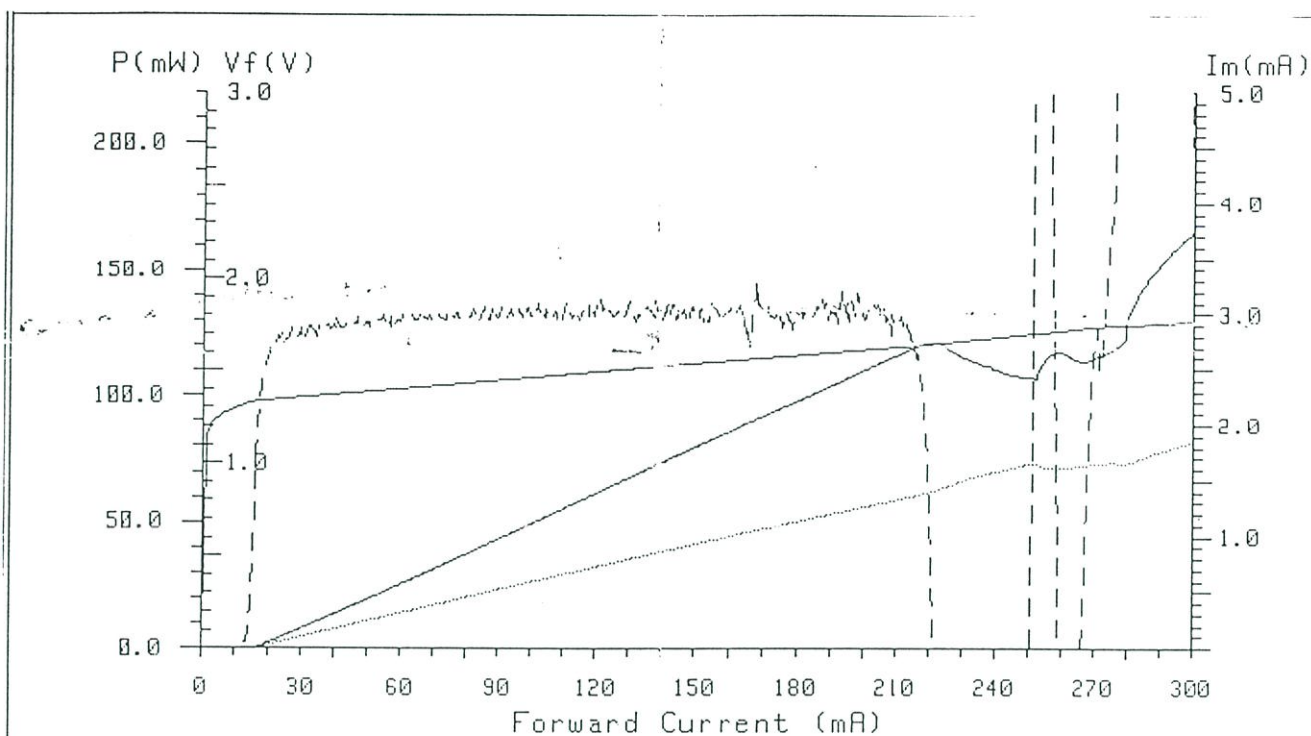
## OPTICAL POWER SENSOR

MA9723A M 38241

No.	INSPECTION ITEM	SPECIFICATIONS	MEASURED VALUE	REMARKS
1.	Visual Inspection			
1.1	Construction		<u>good</u>	
1.2	Appearance		<u>good</u>	
1.3	Mechanical Operation		<u>good</u>	
2.	Electrical & Optical Performances			
2.1	Wavelength	0.75 to 1.8 $\mu\text{m}$	<u>good</u>	
2.2	Element used	Ge diode	<u>good</u>	
2.3	Active area dia.	$\phi 1\text{mm}$	<u>good</u>	
2.4	Input type	<u>FC</u> Connector adaptor	<u>good</u>	
2.5	Level range	-60 to +3dBm (CW) -65 to +0dBm (MOD)	<u>good</u>	at 1.3 $\mu\text{m}$
3.	Overall characteristics			
3.1	Measurement accuracy	$\pm 5\%$ at -10dBm, 0.85, 1.3, 1.55 $\mu\text{m}$ $\otimes$	<u>+0.1 %</u> <u>0.0 %</u> <u>-0.1 %</u>	0.85 $\mu\text{m}$ 1.3 $\mu\text{m}$ 1.55 $\mu\text{m}$
3.2	Temperature range	Use; 0 to 50°C	<u>good</u>	

$\otimes$  Ambient temperature, rated range of use : 0 to 40°C

## ภาคผนวก ง. Laser 980 nm



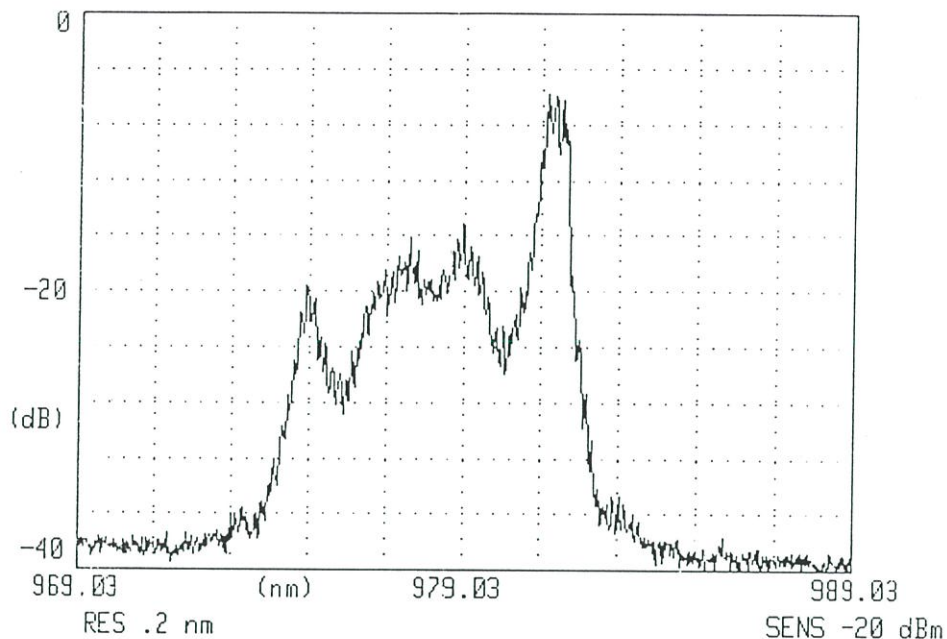
Device Ser No.: P47200.1  
 Chip Ser No. : 4600D-I1126  
 Date : 10 Jul 99 05:38:24

Software Name : 980\_new\_017  
 Tester ID : ACOLLINS  
 Node no. : 38

Case temperature 25 Deg C unless stated

Monitor dark current	(nA)	1.20	
Threshold current	(mA)	16.49	
Laser forward current @ 150mW facet power	(mA)	189.8	
Fibre power @ 150 mW facet power	(mW)	103.7	
Monitor photodiode current @ 150 mW facet Po	(mA)	1.20	
Monitor Photodiode Responsivity	(uA/mW)	11.60	
Forward Voltage @ 150 mW facet power	(V)	1.60	
Laser Current for 60 mW & 70 mW Fibre Power	(mA)	118.2	134.7
Laser Current for 80 mW & 90 mW Fibre Power	(mA)	151.2	167.7
Laser Current for 100 mW & 110 mW Fibre Power	(mA)	184.2	200.6
Laser Current for 120 mW & 130 mW Fibre Power	(mA)	217.6	280.1
Laser Current for 140 mW & 150 mW Fibre Power	(mA)	283.1	288.6
Linear Power & Current (-20 - 75 Deg C)	(mW) (mA)	118.5	218.6
Rated Power & Current (210 mA limit)	(mW) (mA)	113.7	210.0
Rated Power & Current (250 mA limit)	(mW) (mA)	118.5	218.6
Rated Power & Current (300 mA limit)	(mW) (mA)	118.5	218.6
Rated monitor current (250 mA limit)	(mA)	1.35	
TEC Current @ If=286 mA; 75 Deg C Case	(A)	.94	
TEC Voltage @ If=286 mA; 75 Deg C Case	(V)	2.21	
Thermistor Resistance @ 25 Deg C	(kOhms)	9.90	
Monitor Current (250 mA rating) 25 Deg C	(mA)	1.39	
Fibre Power (250 mA rating) 25 Deg C	(mW)	120.5	
Fibre Power (250 mA rating) -20 Deg C	(mW)	121.8	
Fibre Power (250 mA rating) 75 Deg C	(mW)	118.5	

FINAL TEST

Tester ID:  
ACOLLINSDate: 10 Jul 99  
Time: 05:19:02

Case temperature : 25°C  
 Submount temperature : 10 kOhm  
 Laser current : 189.77 mA  
 RMS Centre wavelength : 981.1 nm  
 RMS width @ -13 dB : 1.37 nm

Software : 980\_new\_017

Test head : PACKAGE  
 Device type : LC91#-20  
 Device Serial no.: P47200.1  
 Chip Serial No. : 4600D-I1126  
 Node no. : 38

ภาคผนวก จ. Photo Detector

# Detector Calibration Report



Newport Corporation  
 1791 Deere Avenue, Irvine, CA 92606  
 Telephone: 949-863-3144  
 Facsimile: 949-253-1800

Detector Model Number: **818-SL**  
 Detector Serial Number: **9190**  
 Attenuator Serial Number: **9190**  
 Operator: **Mary Ann S.**  
 Calibration Traceable to NIST Number: **844/260986-99**  
 Calibration Date: **10-FEB-2000**  
 Calibration Temperature: **23.0 ± 0.5 °C**

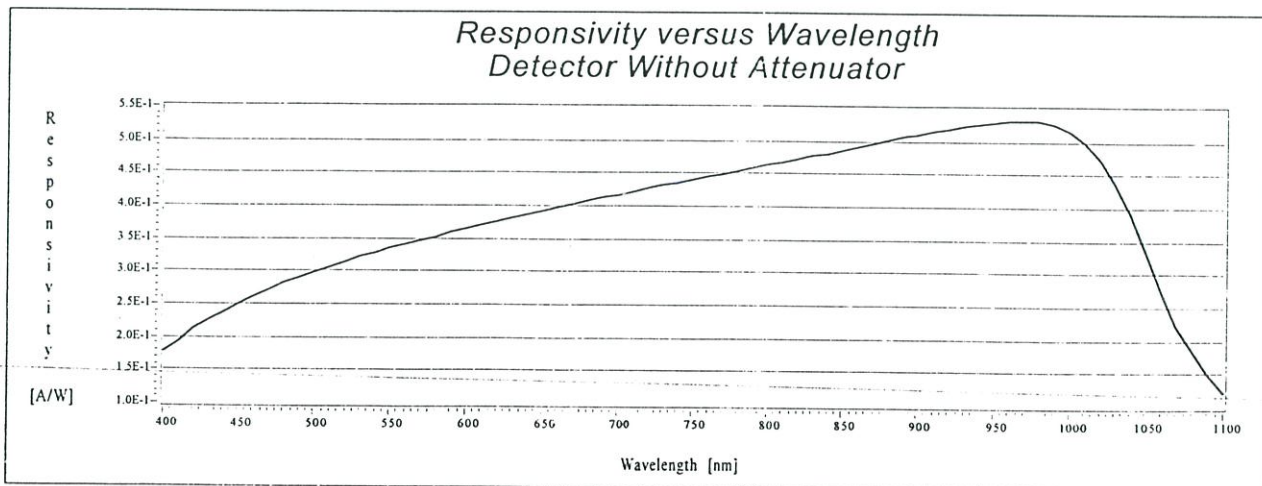
Newport		
SN	9190	
CALIBRATED BY <i>MM</i>		
DATE	10	FEB 00
DUE	10	MAY 01
	DD	MMM YY

Please remove & apply calibration sticker to the instrument as required.

Complies with ANSI/NCSL Z540-1-1994

Table 1. Responsivity [A/W]: Detector Without Attenuator

Lambda	0	10	20	30	40	50	60	70	80	90
400	1.7680E-1	1.9334E-1	2.1182E-1	2.2463E-1	2.3698E-1	2.4950E-1	2.6068E-1	2.7122E-1	2.8084E-1	2.8981E-1
500	2.9825E-1	3.0640E-1	3.1403E-1	3.2100E-1	3.2794E-1	3.3452E-1	3.4077E-1	3.4695E-1	3.5278E-1	3.5857E-1
600	3.6410E-1	3.7011E-1	3.7511E-1	3.8043E-1	3.8543E-1	3.9154E-1	3.9671E-1	4.0211E-1	4.0768E-1	4.1255E-1
700	4.1714E-1	4.2189E-1	4.2646E-1	4.3121E-1	4.3571E-1	4.4017E-1	4.4501E-1	4.4942E-1	4.5415E-1	4.5873E-1
800	4.6324E-1	4.6771E-1	4.7245E-1	4.7692E-1	4.8156E-1	4.8629E-1	4.9106E-1	4.9584E-1	5.0283E-1	5.0590E-1
900	5.1039E-1	5.1592E-1	5.1793E-1	5.2256E-1	5.2595E-1	5.2785E-1	5.3140E-1	5.3150E-1	5.3075E-1	5.2574E-1
1000	5.1620E-1	4.9984E-1	4.7298E-1	4.3812E-1	3.9066E-1	3.3511E-1	2.7403E-1	2.2344E-1	1.8477E-1	1.5158E-1
1100	1.2172E-1									





Newport Corporation  
1791 Deere Avenue, Irvine, CA 92606  
Telephone: 949-863-3144  
Facsimile: 949-253-1800

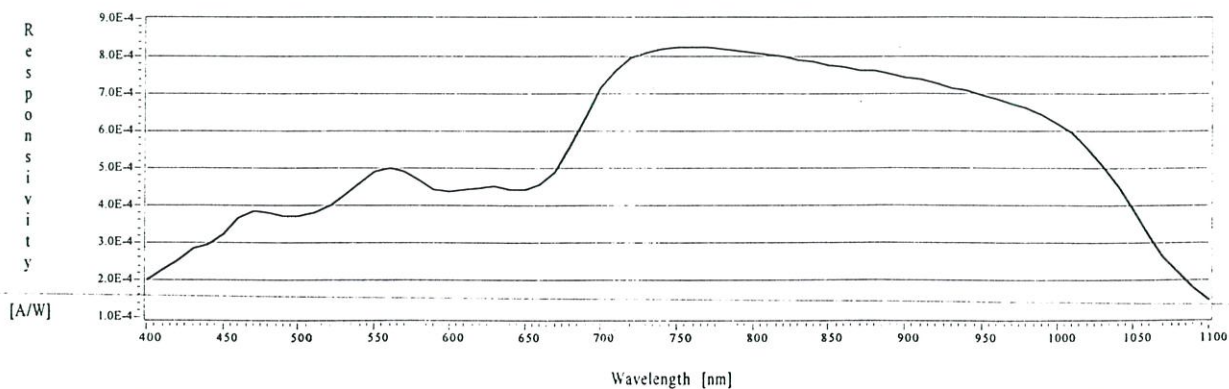
# Detector Calibration Report

Detector Model Number: **818-SL**  
Detector Serial Number: **9190**  
Attenuator Serial Number: **9190**

Table 2. Responsivity [A/W]: *Detector With Attenuator*

Lambda	0	10	20	30	40	50	60	70	80	90
400	1.9820E-4	2.3026E-4	2.5138E-4	2.8491E-4	2.9425E-4	3.2149E-4	3.6782E-4	3.8558E-4	3.7987E-4	3.7289E-4
500	3.7353E-4	3.8117E-4	3.9957E-4	4.2832E-4	4.6399E-4	4.8998E-4	4.9824E-4	4.8819E-4	4.6487E-4	4.4264E-4
600	4.3743E-4	4.4317E-4	4.4941E-4	4.5095E-4	4.4480E-4	4.4347E-4	4.5628E-4	4.9080E-4	5.5476E-4	6.3984E-4
700	7.1510E-4	7.6426E-4	7.9360E-4	8.1087E-4	8.1964E-4	8.2350E-4	8.2420E-4	8.2241E-4	8.1958E-4	8.1483E-4
800	8.0917E-4	8.0342E-4	7.9782E-4	7.9186E-4	7.8493E-4	7.7768E-4	7.7076E-4	7.6384E-4	7.6022E-4	7.5089E-4
900	7.4256E-4	7.3734E-4	7.2730E-4	7.1666E-4	7.0752E-4	6.9512E-4	6.8614E-4	6.7294E-4	6.5987E-4	6.4288E-4
1000	6.2124E-4	5.9326E-4	5.5475E-4	5.0935E-4	4.5223E-4	3.8824E-4	3.1902E-4	2.6197E-4	2.1770E-4	1.7972E-4
1100	1.4529E-4									

*Responsivity versus Wavelength  
Detector With Attenuator*





Newport Corporation  
 1791 Deere Avenue, Irvine, CA 92606  
 Telephone: 949-863-3144  
 Facsimile: 949-253-1800

# Detector Calibration Report

Detector Model Number: **818-SL**  
 Detector Serial Number: **9190**  
 Attenuator Serial Number: **9190**

**Table 3. Calibration Factors: Detector Without Attenuator**

Lambda	0	10	20	30	40	50	60	70	80	90
400	5.656E+0	5.172E+0	4.721E+0	4.452E+0	4.220E+0	4.008E+0	3.836E+0	3.687E+0	3.561E+0	3.451E+0
500	3.353E+0	3.264E+0	3.184E+0	3.115E+0	3.049E+0	2.989E+0	2.935E+0	2.882E+0	2.835E+0	2.789E+0
600	2.746E+0	2.702E+0	2.666E+0	2.629E+0	2.594E+0	2.554E+0	2.521E+0	2.487E+0	2.453E+0	2.424E+0
700	2.397E+0	2.370E+0	2.345E+0	2.319E+0	2.295E+0	2.272E+0	2.247E+0	2.225E+0	2.202E+0	2.180E+0
800	2.159E+0	2.138E+0	2.117E+0	2.097E+0	2.077E+0	2.056E+0	2.036E+0	2.017E+0	1.989E+0	1.977E+0
900	1.959E+0	1.938E+0	1.931E+0	1.914E+0	1.901E+0	1.894E+0	1.882E+0	1.881E+0	1.884E+0	1.902E+0
1000	1.937E+0	2.001E+0	2.114E+0	2.282E+0	2.560E+0	2.984E+0	3.649E+0	4.475E+0	5.412E+0	6.597E+0
1100	8.215E+0									

**Table 4. Calibration Factors: Detector With Attenuator**

Lambda	0	10	20	30	40	50	60	70	80	90
400	5.045E+3	4.343E+3	3.978E+3	3.510E+3	3.398E+3	3.111E+3	2.719E+3	2.593E+3	2.633E+3	2.682E+3
500	2.677E+3	2.623E+3	2.503E+3	2.335E+3	2.155E+3	2.041E+3	2.007E+3	2.048E+3	2.151E+3	2.259E+3
600	2.286E+3	2.256E+3	2.225E+3	2.218E+3	2.248E+3	2.255E+3	2.192E+3	2.038E+3	1.803E+3	1.563E+3
700	1.398E+3	1.308E+3	1.260E+3	1.233E+3	1.220E+3	1.214E+3	1.213E+3	1.216E+3	1.220E+3	1.227E+3
800	1.236E+3	1.245E+3	1.253E+3	1.263E+3	1.274E+3	1.286E+3	1.297E+3	1.309E+3	1.315E+3	1.332E+3
900	1.347E+3	1.356E+3	1.375E+3	1.395E+3	1.413E+3	1.439E+3	1.457E+3	1.486E+3	1.515E+3	1.556E+3
1000	1.610E+3	1.686E+3	1.803E+3	1.963E+3	2.211E+3	2.576E+3	3.135E+3	3.817E+3	4.593E+3	5.564E+3
1100	6.883E+3									

Wavelength Range	Accuracy Over the Range WITHOUT the Attenuator	Accuracy Over the Range WITH the Attenuator
400 - 1100	± 2 %	± 2 %

## ประวัติผู้เขียน

นายวันชัย ชันนาม เกิดเมื่อ วันที่ 25 ธันวาคม พ.ศ. 2519 จ. มหาสารคาม สำเร็จการศึกษา วิทยาศาสตร์บัณฑิต สาขาฟิสิกส์คอมพิวเตอร์และอิเล็กทรอนิกส์ จากมหาวิทยาลัยนเรศวร จังหวัดพิษณุโลก ปีการศึกษา 2541 ปี พ.ศ. 2542 รับราชการในตำแหน่งอาจารย์ ที่ ภาควิชาฟิสิกส์ คณะวิทยาศาสตร์ มหาวิทยาลัยนเรศวร จ.พิษณุโลก จนถึงปัจจุบัน และในปี พ.ศ. 2543 ได้ลาศึกษาต่อในระดับปริญญาโท สาขาฟิสิกส์ประยุกต์ คณะวิทยาศาสตร์ สถาบันเทคโนโลยีพระจอมเกล้าเจ้าคุณทหารลาดกระบัง